

**ΥΠΟΥΡΓΕΙΟ ΠΕΡΙΒΑΛΛΟΝΤΟΣ ΚΑΙ ΕΝΕΡΓΕΙΑΣ
ΓΕΝ. Δ/ΝΣΗ ΠΕΡΙΒΑΛΛΟΝΤΙΚΗΣ ΠΟΛΙΤΙΚΗΣ
Δ/ΝΣΗ ΚΛΙΜΑΤΙΚΗΣ ΑΛΛΑΓΗΣ & ΠΟΙΟΤΗΤΑΣ ΑΤΜΟΣΦΑΙΡΑΣ
ΤΜΗΜΑ ΠΟΙΟΤΗΤΑΣ ΤΗΣ ΑΤΜΟΣΦΑΙΡΑΣ**

**ΕΤΗΣΙΑ ΕΚΘΕΣΗ ΑΤΜΟΣΦΑΙΡΙΚΗΣ ΡΥΠΑΝΣΗΣ
2015**

ΣΕΠΤΕΜΒΡΙΟΣ 2016

ΠΕΡΙΕΧΟΜΕΝΑ

ΕΙΣΑΓΩΓΗ	4
1. ΔΙΚΤΥΟ ΣΤΑΘΜΩΝ ΜΕΤΡΗΣΗΣ ΑΤΜΟΣΦΑΙΡΙΚΗΣ ΡΥΠΑΝΣΗΣ, ΠΟΥ ΤΗΝ ΕΥΘΥΝΗ ΛΕΙΤΟΥΡΓΙΑΣ ΤΟΥ ΕΧΕΙ ΤΟ ΥΠΕΝ.....	6
1.1 Σταθμοί μέτρησης.....	6
1.2 Μετρούμενοι ρύποι.....	8
1.3 Βαθμονόμηση αυτομάτων αναλυτών στους σταθμούς.....	8
2. ΧΡΟΝΙΚΕΣ ΔΙΑΚΥΜΑΝΣΕΙΣ ΤΩΝ ΤΙΜΩΝ ΣΥΓΚΕΝΤΡΩΣΕΩΝ ΤΩΝ ΜΕΤΡΟΥΜΕΝΩΝ ΡΥΠΩΝ	11
2.1 Διαχρονική μεταβολή των συγκεντρώσεων των ρύπων	11
2.2 Μηνιαία μεταβολή των συγκεντρώσεων των ρύπων	19
2.3 Ημερήσια μεταβολή των συγκεντρώσεων των ρύπων.....	23
2.4 Ωριαία μεταβολή των συγκεντρώσεων των ρύπων.....	24
3. ΕΠΙΔΡΑΣΗ ΜΕΤΕΩΡΟΛΟΓΙΚΩΝ ΠΑΡΑΜΕΤΡΩΝ ΣΤΗ ΡΥΠΑΝΣΗ.....	27
4. ΝΟΜΟΘΕΣΙΑ ΣΧΕΤΙΚΑ ΜΕ ΤΗΝ ΠΟΙΟΤΗΤΑ ΑΤΜΟΣΦΑΙΡΑΣ.....	33
4.1 Αντιμετώπιση επεισοδίων ατμοσφαιρικής ρύπανσης	33
5. ΣΥΓΚΡΙΣΗ ΤΙΜΩΝ ΑΤΜΟΣΦΑΙΡΙΚΗΣ ΡΥΠΑΝΣΗΣ ΜΕ ΟΡΙΑ	36
5.1 Σωματίδια ($A\sigma_{10}$).....	36
5.2 Σωματίδια ($A\sigma_{2,5}$)	37
5.3 Διοξείδιο του θείου.....	37
5.4 Διοξείδιο του αζώτου.....	37
5.5 Όζον.....	38
5.6 Μονοξείδιο του άνθρακα.....	39
5.7 Βαρέα μέταλλα	39
Mόλυβδος (Pb), Αρσενικό (As), Κάδμιο (Cd), Νικέλιο (Ni).....	39
5.8 Βενζόλιο.....	40
5.9 Βενζο(α)πυρένιο	40
6. ΑΞΙΟΛΟΓΗΣΗ ΤΗΣ ΑΤΜΟΣΦΑΙΡΙΚΗΣ ΡΥΠΑΝΣΗΣ ΤΗΣ ΑΘΗΝΑΣ	40
ΠΑΡΑΡΤΗΜΑ I	41
ΚΥΡΙΟΙ ΑΤΜΟΣΦΑΙΡΙΚΟΙ ΡΥΠΟΙ: ΠΕΡΙΓΡΑΦΗ, ΠΗΓΕΣ, ΕΠΙΔΡΑΣΕΙΣ.....	41
ΠΑΡΑΡΤΗΜΑ II	47
ΔΙΑΧΡΟΝΙΚΗ ΜΕΤΑΒΟΛΗ ΜΕΣΩΝ ΕΤΗΣΙΩΝ ΤΙΜΩΝ ΑΤΜΟΣΦΑΙΡΙΚΗΣ ΡΥΠΑΝΣΗΣ	47
ΠΑΡΑΡΤΗΜΑ III	55
ΜΕΣΕΣ ΜΗΝΙΑΙΕΣ ΤΙΜΕΣ ΑΤΜΟΣΦΑΙΡΙΚΗΣ ΡΥΠΑΝΣΗΣ ΓΙΑ ΤΟ ΕΤΟΣ 2015	55
ΠΑΡΑΡΤΗΜΑ IV.....	58
ΟΡΙΑ ΠΟΙΟΤΗΤΑΣ ΑΤΜΟΣΦΑΙΡΑΣ	58

ΠΑΡΑΡΤΗΜΑ V.....	61
ΣΥΝΟΠΤΙΚΑ ΣΤΑΤΙΣΤΙΚΑ ΣΤΟΙΧΕΙΑ ΑΤΜΟΣΦΑΙΡΙΚΗΣ ΡΥΠΑΝΣΗΣ ΓΙΑ ΤΟ ΕΤΟΣ 2015	61
ΠΑΡΑΡΤΗΜΑ VI.....	65
ΣΤΟΙΧΕΙΑ ΣΤΑΘΜΟΥ ΟΙΝΟΦΥΤΩΝ	65
ΠΑΡΑΡΤΗΜΑ VII.....	66
ΠΡΟΓΡΑΜΜΑ ΔΙΑΣΥΝΟΡΙΑΚΗΣ ΜΕΤΑΦΟΡΑΣ ΡΥΠΑΝΣΗΣ	66
(ΣΤΟΙΧΕΙΑ ΣΤΑΘΜΟΥ ΑΛΙΑΡΤΟΥ)	66
ΠΑΡΑΡΤΗΜΑ VIII.....	68
Σταθμοί μέτρησης ατμοσφαιρικής ρύπανσης του ΕΔΠΑΡ που την ευθύνη λειτουργία τους έχουν οι Περιφέρειες.....	68
ΠΑΡΑΡΤΗΜΑ IX.....	80
ΧΑΡΤΟΓΡΑΦΙΚΗ ΑΠΕΙΚΟΝΙΣΗ ΠΟΙΟΤΗΤΑΣ ΤΟΥ ΑΕΡΑ	
LIST OF CAPTIONS.....	95
SUMMARY	97

ΕΙΣΑΓΩΓΗ

Σύμφωνα με την εθνική και κοινοτική νομοθεσία αποτελεί υποχρέωση της χώρας η λειτουργία δικτύου σταθμών μέτρησης της ατμοσφαιρικής ρύπανσης.

Για το σκοπό αυτό και με πόρους του Β' ΚΠΣ, στο πλαίσιο του Επιχειρησιακού προγράμματος «ΠΕΡΙΒΑΛΛΟΝ», το ΥΠΕΝ ως ΥΠΕΧΩΔΕ αναβάθμισε σταθμούς του λεκανοπεδίου των Αθηνών και άλλων πόλεων, που ήδη λειτουργούσαν, και παράλληλα εγκατέστησε νέους σταθμούς σε μεγάλες πόλεις, δημιουργώντας το Εθνικό Δίκτυο Παρακολούθησης της Ατμοσφαιρικής Ρύπανσης (ΕΔΠΑΡ). Το ΕΔΠΑΡ ξεκίνησε να λειτουργεί από το 2000.

Το 2015, με πόρους του ΕΣΠΑ 2007-2013 στο πλαίσιο του ΕΠΠΕΡΑΑ αναβάθμιστηκαν οι σταθμοί του ΕΔΠΑΡ που λειτουργεί το ΥΠΕΝ με νέους αναλυτές μέτρησης ατμοσφαιρικής ρύπανσης, πιστοποιημένους σύμφωνα με τα ευρωπαϊκά πρότυπα και αυξήθηκαν οι θέσεις μέτρησης αιωρούμενων σωματιδίων (ΑΣ₁₀ και ΑΣ_{2.5}) και βενζολίου.

Το Τμήμα Ποιότητας Ατμόσφαιρας, που ανήκει στη Δ/νση Κλιματικής Αλλαγής και Ποιότητας Ατμόσφαιρας (ΚΑΠΑ) του ΥΠΕΝ είναι υπεύθυνο για τη λειτουργία του δικτύου μέτρησης ατμοσφαιρικής ρύπανσης της περιοχής Αττικής.

Την ευθύνη της λειτουργίας των υπόλοιπων σταθμών του ΕΔΠΑΡ είχαν οι υπηρεσίες των πρώην Περιφερειών, σύμφωνα με το Ν. 2647/1998 (ΦΕΚ 237/Α). Ειδικότερα για τους σταθμούς που είναι εγκατεστημένοι στο Βόλο και τη Λάρισα τη λειτουργία τους είχαν αναλάβει οι αντίστοιχες Νομαρχιακές Αυτοδιοικήσεις, μέχρι το 2010. Με την εφαρμογή του Προγράμματος Καλλικράτης με το Ν. 3852/2010 (ΦΕΚ 87/Α) και της ΚΥΑ ΗΠ 14122/549/Ε.103/2011 (ΦΕΚ 488/Β) οι αρμοδιότητες που αφορούν στην εγκατάσταση και τη λειτουργία σταθμών παρακολούθησης της ποιότητας της ατμόσφαιρας μεταβιβάστηκαν από τις Αποκεντρωμένες Διοικήσεις στις Περιφέρειες της χώρας.

Στην παρούσα έκθεση περιέχεται η ανάλυση των στοιχείων μετρήσεων από τους σταθμούς του ΕΔΠΑΡ, που την ευθύνη λειτουργίας τους έχει το ΥΠΕΝ, για το 2015, καθώς και η διαχρονική εξέλιξη από το 1984.

Επίσης, στο ΠΑΡΑΡΤΗΜΑ VIII περιέχονται στοιχεία από τους σταθμούς μέτρησης του ΕΔΠΑΡ, που την ευθύνη λειτουργίας τους έχουν οι υπηρεσίες των Περιφερειών ενώ στο ΠΑΡΑΡΤΗΜΑ IX παρουσιάζονται μετρήσεις σε όλη τη χώρα για το 2015 καθώς και αποτελέσματα μοντέλου στο πλαίσιο χαρτογραφικής απεικόνισης της ποιότητας της ατμόσφαιρας στον Ελλαδικό χώρο.

Η έκθεση είναι διαθέσιμη σε ηλεκτρονική μορφή στην ιστοσελίδα του ΥΠΕΝ, <http://www.ypeka.gr>.

Τα αναλυτικά στοιχεία των μετρήσεων ατμοσφαιρικής ρύπανσης για το 2015 είναι διαθέσιμα στην ιστοσελίδα του Υπουργείου <http://www.ypeka.gr>. Στις ιστοσελίδες αυτές είναι επίσης διαθέσιμα τα αναλυτικά στοιχεία των προηγούμενων ετών από το 1984.

Σύνταξη και επιμέλεια έκθεσης:
Ειρήνη Τσιλιμπάρη
Αναστάσιος Αδαμόπουλος

Ποιοτικός έλεγχος και τελική επεξεργασία των στοιχείων μετρήσεων:
Ειρήνη Τσιλιμπάρη
Αναστάσιος Αδαμόπουλος
Στεφανία Κακάβα

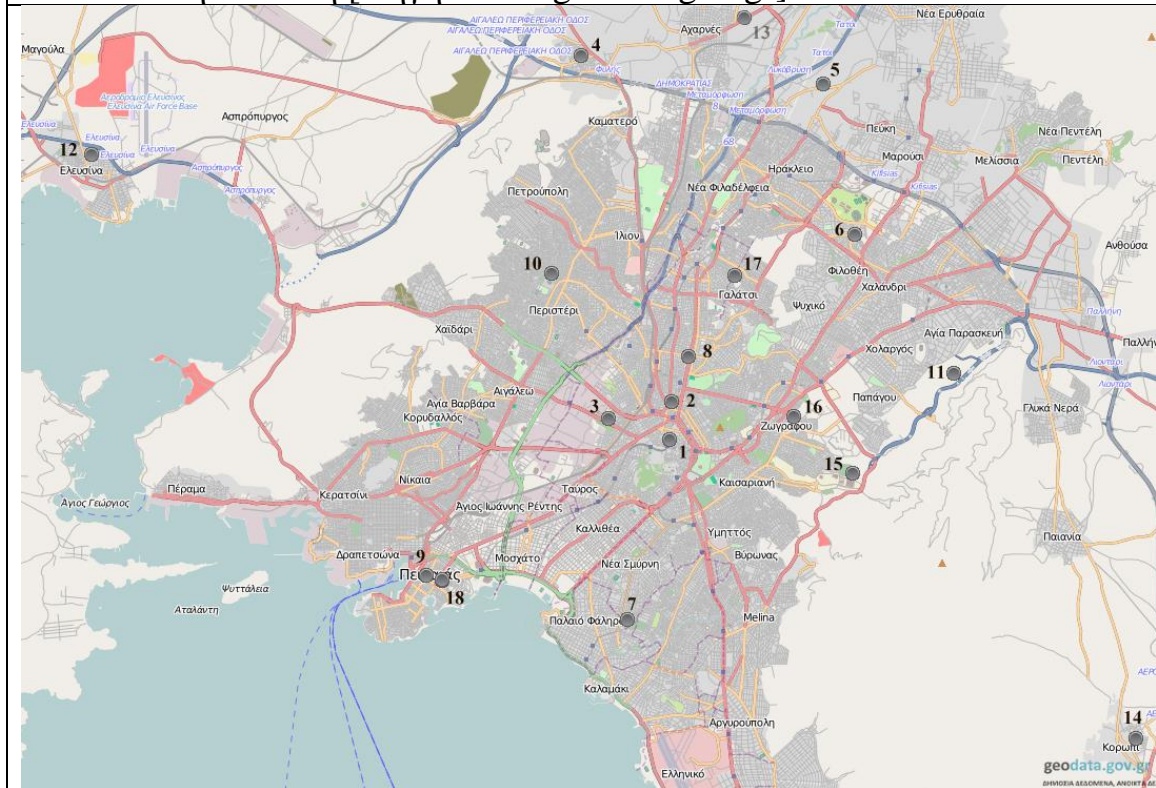
Τεχνική υποστήριξη του δικτύου μετρήσεων (όπου την ευθύνη λειτουργίας του έχει το ΥΠΕΝ):
Διονύσιος Κωνσταντινίδης
Κων/νος Χαλάς
Γιώργος Μπακαλούδης

1. Δίκτυο σταθμών μέτρησης ατμοσφαιρικής ρύπανσης, που την ευθύνη λειτουργίας του έχει το ΥΠΕΝ

1.1 Σταθμοί μέτρησης

Το 2015, η Δ/νση ΚΑΠΑ (Τμήμα Ποιότητας Ατμόσφαιρας), λειτούργησε δεκατέσσερις σταθμούς μέτρησης ατμοσφαιρικής ρύπανσης στην περιοχή Αττικής (βλ. χάρτης 1.1), καθώς και ένα σταθμό στην Αλίαρτο Βοιωτίας για τις ανάγκες του Προγράμματος Διασυνοριακής Μεταφοράς της Ρύπανσης (ΕΜΕΡ).

Χάρτης 1.1 Χάρτης σταθμών μέτρησης ατμοσφαιρικής ρύπανσης του ΕΔΠΑΡ στην Αττική [Πηγή: www.geodata.gov.gr]



Στον Πίνακα 1.1 εμφανίζονται οι θέσεις των σταθμών αυτών, ο χαρακτηρισμός τους και οι ρύποι που μετρούνται ανά σταθμό.

Πίνακας 1.1. Χαρακτηριστικά σταθμών μέτρησης ατμοσφαιρικής ρύπανσης του ΕΔΠΑΡ, που την ευθύνη λειτουργίας τους έχει το ΥΠΕΝ

Σταθμός				Χαρακτηρισμός	Μετρούμενοι ρύποι							
Θέση					SO ₂	NOx	CO	O ₃	AΣ ₁₀	AΣ _{2,5}	C ₆ H ₆	
Όνομα	Γεωγρ. μήκος	Γεωγρ. πλάτος	Υψόμετρο (a.m.s.l.)									
Αθηνάς [1]	23° 43' 36'',63	37° 58' 41'',53	100	Αστικός-Κυκλοφορίας	v	v	v	v				
Αριστοτέλους [2]	23° 43' 39'',46	37° 59' 16'',90	95	Αστικός-Κυκλοφορίας	v	v			v	v		
Γεωπονική [3]	23° 42' 24'',44	37° 59' 01'',05	40	Περιαστικός-Βιομηχανικός		v	v	v				
Λιόσια [4]	23° 41' 52'',23	38° 04' 36'',53	165	Περιαστικός-Υποβάθρου		v		v	v			
Λυκόβρυση* [5]	23° 47' 19'',71	38° 04' 04'',35	234	Περιαστικός		v		v	v	v		
Μαρούσι [6]	23° 47' 14'',49	38° 01' 51'',02	170	Αστικός-Κυκλοφορίας		v	v	v	v			
Νέα Σμύρνη [7]	23° 42' 46'',83	37° 55' 55'',18	50	Αστικός-Υποβάθρου		v	v	v	v		v	
Πλατησίων [8]	23° 43' 58'',97	37° 59' 58'',05	105	Αστικός-Κυκλοφορίας	v	v	v	v			v	
Πειραιάς I** [9]	23° 38' 42'',81	37° 56' 40'',75	4	Αστικός-Κυκλοφορίας	v	v	v	v	v	v	v	
Περιστέρι [10]	23° 41' 18'',08	38° 01' 14'',91	80	Αστικός-Υποβάθρου		v		v	v			
Αγ. Παρασκευή [11]	23° 49' 09'',90	37° 59' 42'',39	290	Περιαστικός-Υποβάθρου		v		v	v	v		
Ελευσίνα [12]	23° 32' 18'',41	38° 03' 04'',86	20	Περιαστικός-Βιομηχανικός	v	v		v	v	v	v	
Θρακομακεδόνες [13]	23° 45' 29'',46	38° 08' 36'',68	550	Περιαστικός-Υποβάθρου		v		v	v	v	v	
Κορωπί [14]	23° 52' 44'',48	37° 54' 04'',70	140	Περιαστικός-Υποβάθρου	v	v		v	v			
Οινόφυτα	23° 38' 20'',09	38° 18' 22'',39	100	Περιαστικός-Βιομηχανικός	v	v		v	v			
Αλίαρτος	23° 06' 36'',96	38° 22' 30'',89	110	Υποβάθρου	v	v		v	v			
Παλαιότεροι σταθμοί												
Ζωγράφου [15]	23° 47' 12'',22	37° 58' 10'',57	245	Περιαστικός-Υποβάθρου		v		v	v			
Γουδή [16]	23° 46' 02'',75	37° 59' 02'',92	155	Αστικός-Κυκλοφορίας		v			v	v		
Γαλάται [17]	23° 44' 53'',54	38° 01' 13'',03	154	Περιαστικός-Υποβάθρου	v	v		v				
Πειραιάς II [18]	23° 39' 09'',67	37° 56' 31'',09	25	Αστικός-Υποβάθρου	v	v		v				

*Από τον Απρίλιο του 2011 ο σταθμός λειτουργεί σε νέα θέση ** Από το Σεπτέμβριο του 2012 ο σταθμός λειτουργεί σε νέα θέση

1.2 Μετρούμενοι ρύποι

Οι μετρούμενοι ρύποι καθώς και οι μέθοδοι που χρησιμοποιούνται φαίνονται στον Πίνακα 1.2. Η μέτρηση των ρύπων γίνεται σε συνεχή βάση καθ' όλη τη διάρκεια του 24ώρου. Ο χρόνος απόκρισης των αυτομάτων αναλυτών είναι της τάξης του ενός λεπτού, δηλαδή ο κάθε αναλυτής δίνει μια τιμή περίπου κάθε λεπτό. Με ένα μικροεπεξεργαστή, που βρίσκεται σε κάθε αυτόματο σταθμό και που είναι συνδεδεμένος με τους αυτόματους αναλυτές, υπολογίζονται κάθε ώρα οι μέσες ωριαίες τιμές ρύπανσης. Οι τιμές αυτές μεταβιβάζονται στον κεντρικό υπολογιστή της Υπηρεσίας, μέσω τηλεφωνικής γραμμής και με αυτό τον τρόπο είναι δυνατή η συνεχής παρακολούθηση των επιπέδων ατμοσφαιρικής ρύπανσης της περιοχής.

Πίνακας 1.2. Μετρούμενοι ρύποι και μέθοδοι μέτρησης.

Ρύπος	Μέθοδος μέτρησης
Μονοξείδιο του άνθρακα (CO)	Απορρόφηση στο υπέρυθρο (NDIR)
Οξείδια του αζώτου (NO, NO ₂)	Χημειοφωταύγεια
Όζον (O ₃)	Απορρόφηση στο υπεριώδες
Διοξείδιο του θείου (SO ₂)	Φθορισμομετρία
Αιωρούμενα σωματίδια (ΑΣ ₁₀ ¹ –ΑΣ _{2,5} ²)	Απορρόφηση β ακτινοβολίας
Βενζόλιο (C ₆ H ₆)	Αέρια χρωματογραφία (GC)
Βαρέα μέταλλα	Ατομική απορρόφηση

1.3 Βαθμονόμηση αυτομάτων αναλυτών στους σταθμούς

Οι αναλυτές των αερίων ελέγχονται σύμφωνα με τα αντίστοιχα ευρωπαϊκά τεχνικά πρότυπα ΕΝ ή και ISO ως προς τη γραμμικότητα, την ολίσθηση μηδενός και κλίμακας και την επαναληψιμότητα.

Η βαθμονόμηση περιλαμβάνει τον έλεγχο της καλής λειτουργίας των οργάνων και τη ρύθμισή τους. Η βαθμονόμηση βασίζεται στη διαβίβαση μέσω του οργάνου αερίου, με γνωστή συγκέντρωση του αντίστοιχου ρύπου. Η παρασκευή αυτή του πρότυπου αερίου, γίνεται με διάταξη δυναμικής αραίωσης, που συνδέεται αφενός με μία πηγή "καθαρού" αέρα και αφετέρου με φιάλη που περιέχει μίγμα του εν λόγω αερίου με άζωτο σε γνωστή πρότυπη συγκέντρωση. Ο "καθαρός αέρας", δηλαδή αέρας απαλλαγμένος από τους κύριους ρύπους, παράγεται διαβιβάζοντας αέρα μέσα από ειδικά φίλτρα συγκράτησης των ρύπων. Μεταβάλλοντας την παροχή του "καθαρού" αέρα και του αερίου της φιάλης είναι δυνατή η επίτευξη μιγμάτων αερίων που περιέχουν τον αντίστοιχο ρύπο σε γνωστές συγκεντρώσεις.

Η βαθμονόμηση των αναλυτών όζοντος πραγματοποιείται με μεταφερόμενο πρότυπο Β' βαθμίδας στους σταθμούς με τη μέθοδο της σύγκρισης.

¹ ΑΣ₁₀: Αιωρούμενα σωματίδια με ισοδύναμη αεροδυναμική διάμετρο έως 10μμ(PM₁₀)

² ΑΣ_{2,5}: Αιωρούμενα σωματίδια με ισοδύναμη αεροδυναμική διάμετρο έως 2,5μμ(PM_{2,5})

Η βαθμονόμηση των αναλυτών αιωρούμενων σωματιδίων βασίζεται στην απορρόφηση της β-ακτινοβολίας από πρότυπο δείγμα γνωστής συγκέντρωσης.

Οι διαδικασίες της βαθμονόμησης γίνονται σε τακτά χρονικά διαστήματα, όπως αυτά αναφέρονται στα ισχύοντα τεχνικά πρότυπα, ή μετά τη συντήρηση ή επισκευή ενός αναλυτή.

1.4 Εργαστήριο Ποιότητας Ατμόσφαιρας

Πρόκειται για εργαστήριο αναφοράς για διακριβώσεις και μετρήσεις ατμοσφαιρικής ρύπανσης που καλύπτει με τον πρότυπο εξοπλισμό του τις απαιτήσεις σε διακριβώσεις, βαθμονομήσεις Α' βαθμίδας και ελέγχους το Εθνικό Δίκτυο Παρακολούθησης Ατμοσφαιρικής Ρύπανσης (ΕΔΠΑΡ). Είναι διαπιστευμένο εργαστήριο διακριβώσεων και δοκιμών (αρ. πιστοπ. 960) κατά ΕΛΟΤ EN ISO 17025 από τον εθνικό φορέα διαπίστευσης, το ΕΣΥΔ.



Δοκιμές/Διακριβώσεις
Αρ. Πιστ. 960

Τα πεδίο διαπίστευσης αφορά τις εξής διακριβώσεις:

- Προσδιορισμός της σύστασης αερίων μιγμάτων (CO, NO, SO₂) σε φιάλες αερίων με τη μέθοδο της στατικής αραίωσης (ΕΛΟΤ EN ISO 6143 και ΕΛΟΤ EN ISO 6144)
- Ροή αερίου (ΕΛΟΤ EN ISO 6145-1)

Τα πεδίο διαπίστευσης αφορά τις εξής δοκιμές:

- Βαθμονόμηση αναλυτών όζοντος και μεταφρερόμενων προτύπων με τη φωτομετρική μέθοδο αναφοράς (ISO 13964)
- Δειγματοληψία και προσδιορισμός των κλασμάτων PM₁₀ και PM_{2,5} των αιωρουμένων σωματιδίων (ΕΛΟΤ EN 12341)

1.4.1 Προσδιορισμός της σύστασης αερίων μιγμάτων (CO, NO, SO₂) σε φιάλες αερίων με τη μέθοδο της στατικής αραίωσης

Για τη βαθμονόμηση των αναλυτών SO₂, NO_x και CO στους σταθμούς μέτρησης, απαιτείται παρασκευή πρότυπου αερίου. Αυτή επιτυγχάνεται με διάταξη δυναμικής αραίωσης, που συνδέεται αφενός με μία πηγή "καθαρού" αέρα και αφετέρου με φιάλη που περιέχει μίγμα του εν λόγω αερίου με άζωτο σε γνωστή πρότυπη συγκέντρωση.

Η συγκέντρωση της φιάλης, όμως, πρέπει να επαναπροσδιορίζεται. Για το λόγο αυτό, οι φιάλες όλων των σταθμών μέτρησης συλλέγονται στο εργαστήριο κάθε εξάμηνο. Η διαδικασία προσδιορισμού της συγκέντρωσης του αερίου περιλαμβάνει παραγωγή μίγματος SO₂, NO ή CO (ανάλογα με το αέριο της υπό διακρίβωση φιάλης) σε καθαρό αέρα στη μονάδα στατικής αραίωσης του εργαστηρίου με τη μέθοδο στατικής αραίωσης κατά τα πρότυπα ΕΛΟΤ EN ISO 6143 και ΕΛΟΤ EN ISO 6144. Για τον έλεγχο του μηδενός στον αναλυτή του αερίου, διαβιβάζεται καθαρός αέρας από το θάλαμο της

μονάδας στατικής αραίωσης ο οποίος έχει πληρωθεί από τη μονάδα καθαρού αέρα. Στη συνέχεια, σε ατμοσφαιρικές συνθήκες πίεσης και θερμοκρασίας, πραγματοποιείται έγχυση του προτύπου αερίου συγκεκριμένου όγκου με βαθμονομημένη σύριγγα στο θάλαμο γνωστού όγκου της μονάδας στατικής αραίωσης, πληρωμένου με καθαρό αέρα. Μεταβάλλοντας την πίεση του αερίου μίγματος εντός του θαλάμου δημιουργείται η συγκέντρωση SPAN στο 90% της κλίμακας του αναλυτή και το αέριο μίγμα διαβιβάζεται στον αναλυτή για τη βαθμονόμησή του. Η επαλήθευση της βαθμονόμησης πραγματοποιείται με τρεις επαναλήψεις.

Ο προσδιορισμός της σύστασης του αερίου μίγματος της φιάλης πραγματοποιείται με τον βαθμονομημένο αναλυτή αερίου με μέθοδο δυναμικής αραίωσης. Για τη δυναμική αραίωση χρησιμοποιείται βαθμονομητής δυο ροομέτρων τα οποία έχουν διακριβωθεί με τα πρότυπα ροόμετρα του εργαστηρίου. Η επαλήθευση της διακρίβωσης πραγματοποιείται με τρεις επαναλήψεις.

Το 2015 εκδόθηκαν 67 πιστοποιητικά για προσδιορισμό σύστασης αερίου σε φιάλες αερίων που χρησιμοποιούνται σε σταθμούς του ΕΔΠΑΡ.

1.4.2 Διακρίβωση ροομέτρων αερίου

Τα βαθμονομητικά των σταθμών συλλέγονται ετησίως στο Εργαστήριο Ποιότητας Ατμόσφαιρας με σκοπό τη διακρίβωση των δυο ροομέτρων που διαθέτουν.

Τα υπό διακρίβωση ροόμετρα παραμένουν στο χώρο της διακρίβωσης για εξισορρόπηση της θερμοκρασίας τους για τουλάχιστον 24 ώρες. Η διαδικασία περιλαμβάνει διαβίβαση καθαρού αέρα, ο οποίος παράγεται από μονάδα καθαρού αέρα, στο πρότυπο ροόμετρο αναφοράς του εργαστηρίου και στο ροόμετρο του βαθμονομητή (ΕΛΟΤ ΕΝ ISO 6145-1 και ΕΛΟΤ ΕΝ ISO 6145-7). Η διακρίβωση της ροής πραγματοποιείται με σύγκριση των τιμών των πρότυπων εργαστηριακών ροομέτρων με τα υπό διακρίβωση ροόμετρα του βαθμονομητή. Οι ενδείξεις των πρότυπων ροομέτρων καθώς και των ροομέτρων υπό διακρίβωση ανάγονται σε κανονικές συνθήκες πίεσης και θερμοκρασίας (1013,25hPa και 0°C). Η διακρίβωση περιλαμβάνει έλεγχο των ροομέτρων σε όλο το εύρος λειτουργίας τους. Η επαλήθευση της διακρίβωσης πραγματοποιείται με δέκα επαναλήψεις για κάθε τιμή ροής.

Το 2015 εκδόθηκαν 28 πιστοποιητικά για διακρίβωση ροής βαθμονομητικών συστημάτων που χρησιμοποιούνται σε σταθμούς του ΕΔΠΑΡ.

1.4.3 Βαθμονόμηση αναλυτών όζοντος και μεταφερόμενων προτύπων με τη φωτομετρική μέθοδο αναφοράς

Το μεταφερόμενο πρότυπο όζοντος με το οποίο πραγματοποιείται η βαθμονόμηση αναλυτών όζοντος στους σταθμούς, βαθμονομείται στο εργαστήριο με πρότυπο φωτόμετρο όζοντος (βαθμονόμηση Α' βαθμίδας-primary UV calibration) με τη φωτομετρική μέθοδο αναφοράς (ISO 13964). Το πρότυπο αυτό φωτόμετρο μετρά το κλάσμα της υπεριώδους ακτινοβολίας, εκπεμπόμενης από λάμπα Hg, το οποίο απορροφήθηκε από το όζον σε οπτική διαδρομή 3 μέτρων. Η βαθμονόμηση πραγματοποιείται σε όλο το εύρος έντασης της λάμπας και η επαλήθευση της σύγκρισης πραγματοποιείται με τρεις επαναλήψεις για κάθε μια συγκέντρωση που παράγει η γεννήτρια όζοντος.

Το 2015 εκδόθηκαν 2 πιστοποιητικά για βαθμονόμηση αναλυτή και μεταφερόμενου προτύπου όζοντος.

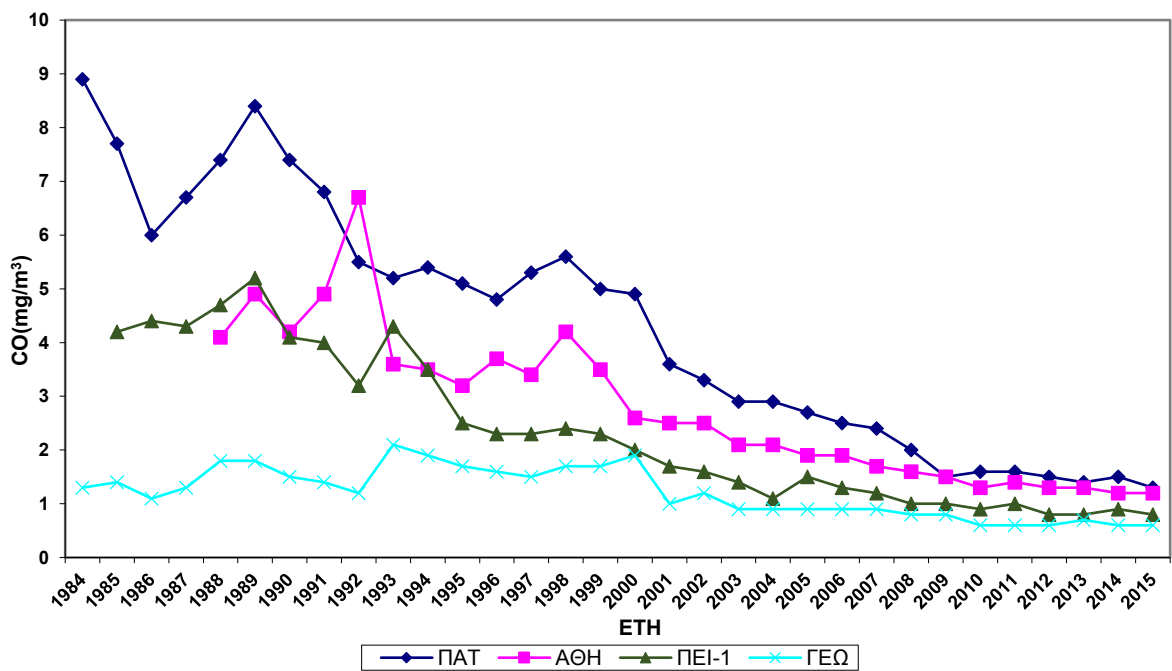
2. Χρονικές διακυμάνσεις των τιμών συγκεντρώσεων των μετρούμενων ρύπων

2.1 Διαχρονική μεταβολή των συγκεντρώσεων των ρύπων

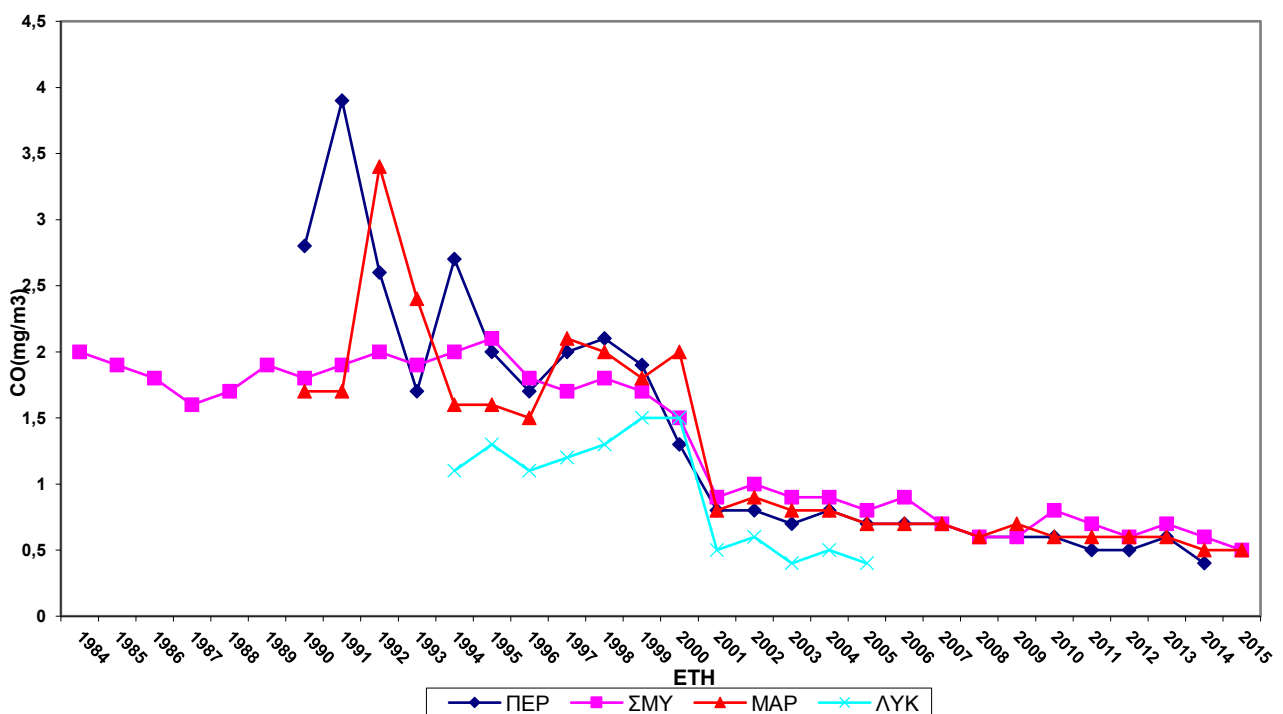
Στο Παράρτημα II, δίνονται οι αναλυτικοί Πίνακες, με τις διαχρονικές μεταβολές των μέσων ετησίων τιμών, των συγκεντρώσεων όλων των μετρούμενων ρύπων, ανά σταθμό μέτρησης, ενώ οι αντίστοιχες γραφικές παραστάσεις, δίνονται στα επόμενα Σχήματα. Η διαχρονική εξέλιξη των τιμών δείχνει ότι, παρόλο που υπάρχουν στις διάφορες θέσεις, αυξομειώσεις των μέσων ετήσιων τιμών ρύπανσης από χρόνο σε χρόνο, υπάρχει τάση πτωτική ή τάση σταθεροποίησης, ανάλογα με το ρύπο. Η εξέλιξη αυτή μπορεί να αποδοθεί, κυρίως στην τεχνολογική αναβάθμιση του στόλου των I.X. αυτοκινήτων και των Μέσων Μαζικής Μεταφοράς, στην εφαρμογή του μέτρου της κάρτας ελέγχου καυσαερίων (ΚΕΚ), στα μέτρα ελέγχου εκπομπής ρύπων από διάφορες πηγές, στη χρήση καυσίμων με καλύτερες τεχνικές προδιαγραφές, στη λειτουργία των μέσων σταθερής τροχιάς, στη διευκόλυνση της κυκλοφορίας των Μέσων Μαζικής Μεταφοράς, στη διείσδυση του φυσικού αερίου στον οικιακό, βιομηχανικό και τριτογενή τομέα, στην ολοκλήρωση των μεγάλων κυκλοφοριακών έργων κ.λ.π.

Ειδικά για κάθε ρύπο παρατηρούμε τα εξής:

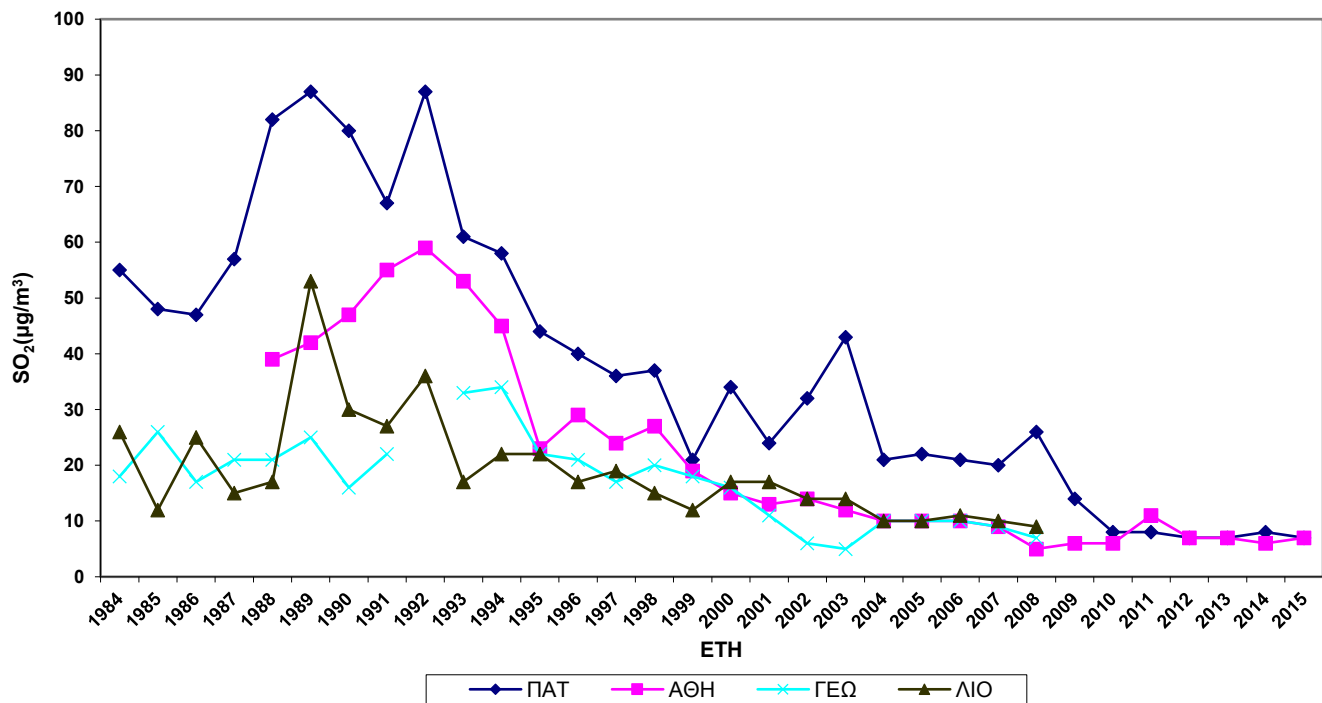
- I. Για το μονοξείδιο του άνθρακα (Σχήματα 2.1α & β), παρουσιάζεται γενικά τάση μείωσης των τιμών.
- II. Για το διοξείδιο του θείου (Σχήματα 2.2α & β), υπάρχει σημαντική τάση μείωσης των τιμών που συνδέεται με τις μειώσεις της περιεκτικότητας του θείου τόσο στο πετρέλαιο κίνησης και θέρμανσης όσο και στην αμόλυβδη βενζίνη.
- III. Για το βενζόλιο (Σχήμα 2.3), μέχρι το 2014 παρατηρείται τάση μείωσης των συγκεντρώσεων σε σχέση με τα προηγούμενα χρόνια, ενώ για το 2015 παρατηρήθηκε αύξηση της τιμής συγκέντρωσης.
- IV. Για το μονοξείδιο του αζώτου (Σχήματα 2.4α & β), υπάρχει τάση μικρής μείωσης των τιμών.
- V. Για το διοξείδιο του αζώτου (Σχήματα 2.5α & β), υπάρχει τάση μείωσης των τιμών τα τελευταία χρόνια, στις περισσότερες θέσεις μέτρησης.
- VI. Για το όζον (Σχήματα 2.6α & β) υπάρχει γενικώς μια τάση σταθεροποίησης των τιμών με έντονη διακύμανση από έτος σε έτος σε κάποιους σταθμούς, λόγω της φύσης του ρύπου.
- VII. Για τα αιωρούμενα σωματίδια (ΑΣ₁₀) (Σχήματα 2.7α & β), γενικά παρατηρείται μικρή μείωση στις τιμές ρύπανσης από το ρύπο αυτό.
- VIII. Για τα αιωρούμενα σωματίδια (ΑΣ_{2,5}) (Σχήμα 2.8) παρατηρείται μικρή τάση μείωσης των τιμών ή σταθεροποίηση.



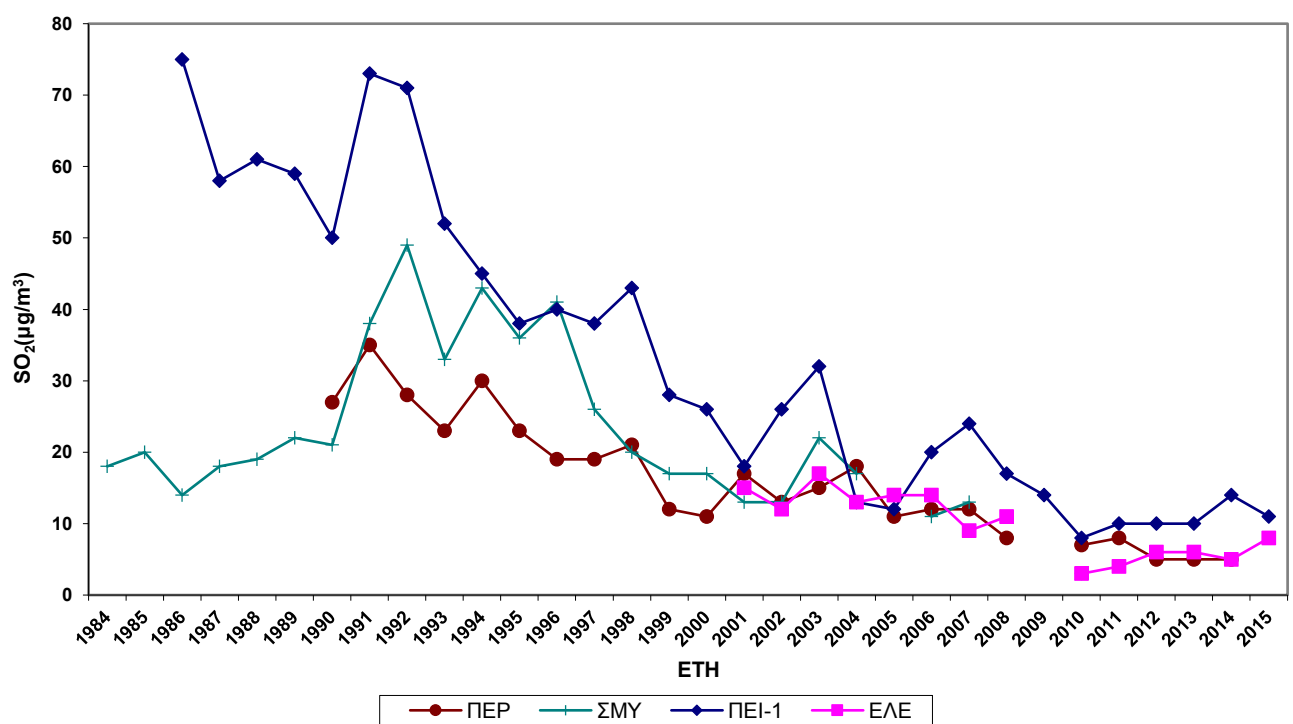
Σχήμα 2.1.α Διαχρονική μεταβολή μέσων ετησίων τιμών CO, σε mg/m³.



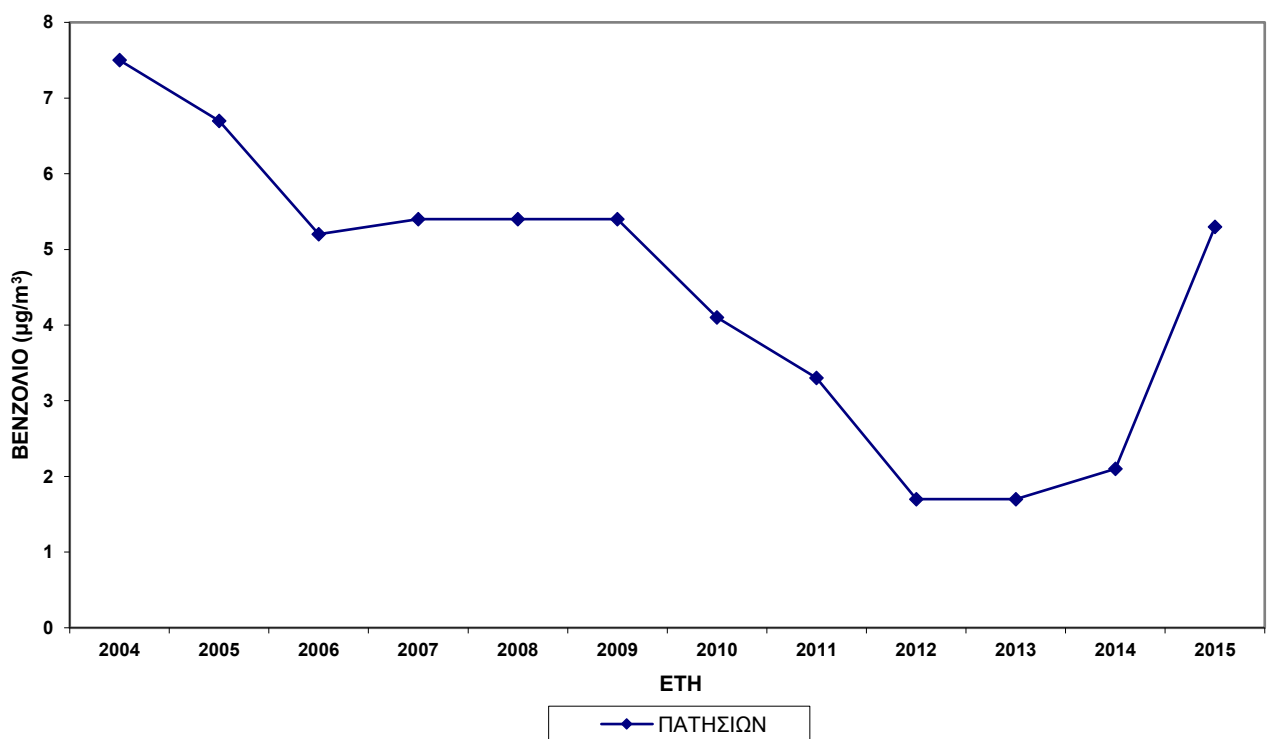
Σχήμα 2.1.β Διαχρονική μεταβολή μέσων ετησίων τιμών CO, σε mg/m³.



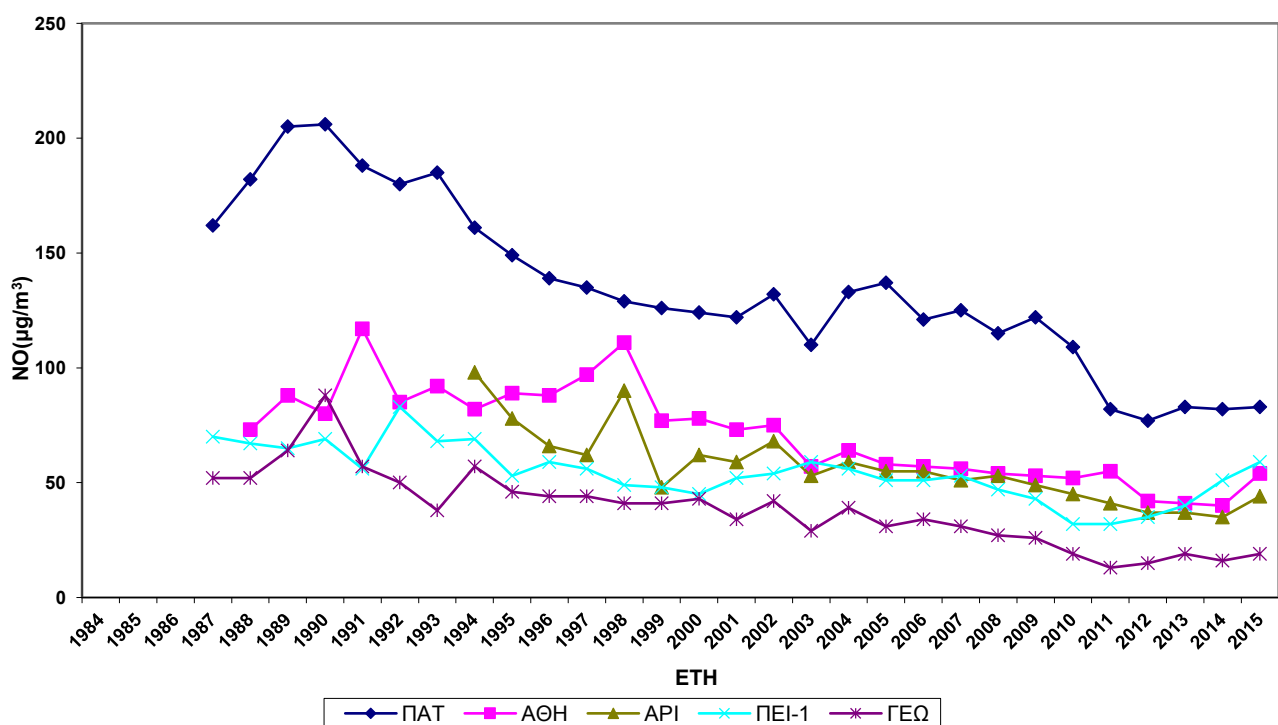
Σχήμα 2.2.α Διαχρονική μεταβολή μέσων ετήσιων τιμών SO₂, σε μg/m³.



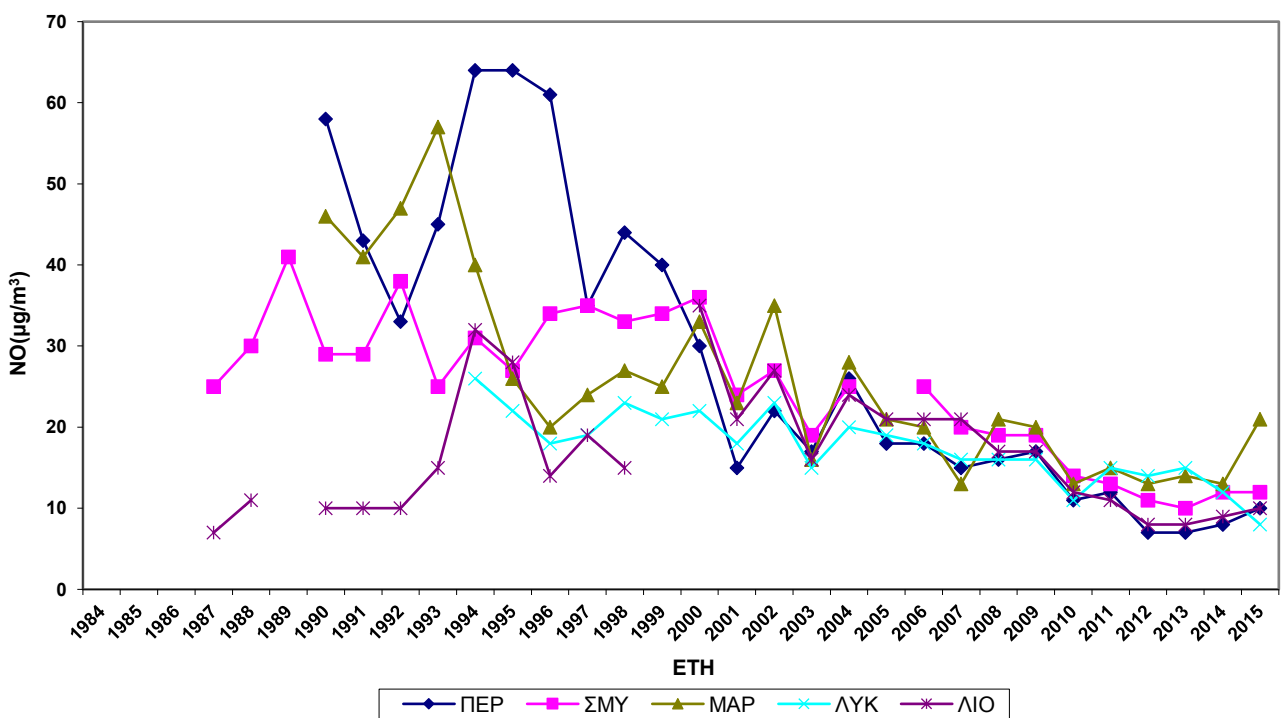
Σχήμα 2.2.β Διαχρονική μεταβολή μέσων ετήσιων τιμών SO₂, σε μg/m³.



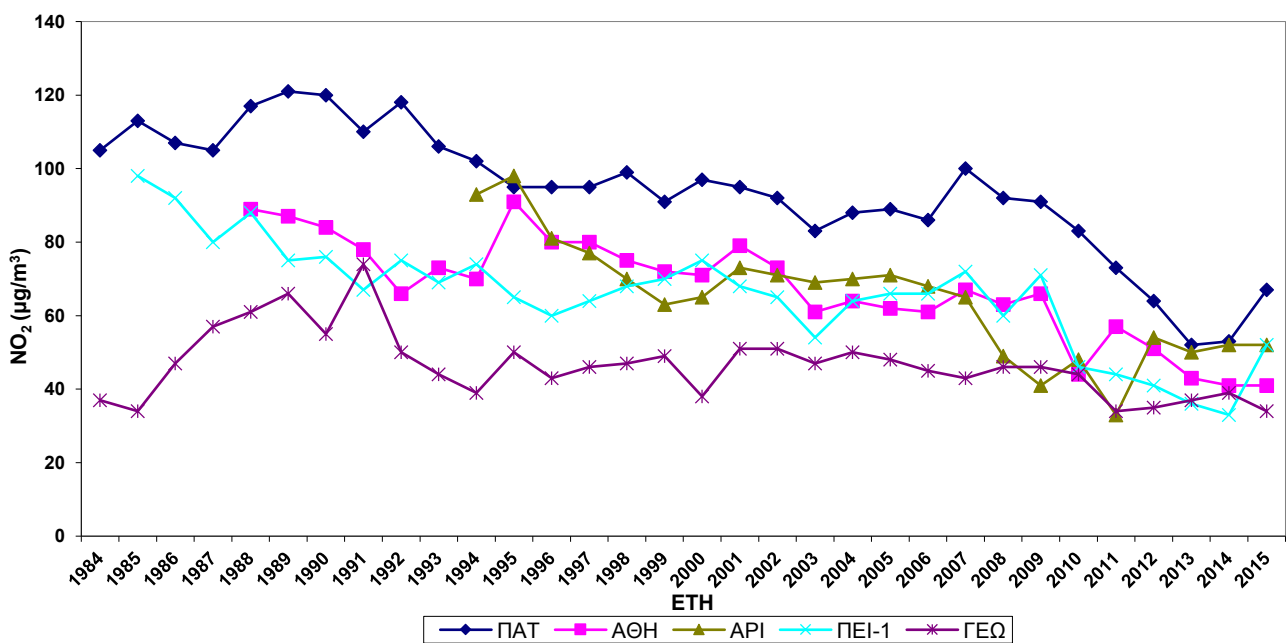
Σχήμα 2.3 Διαχρονική μεταβολή μέσων ετήσιων τιμών βενζολίου, σε $\mu\text{g}/\text{m}^3$.



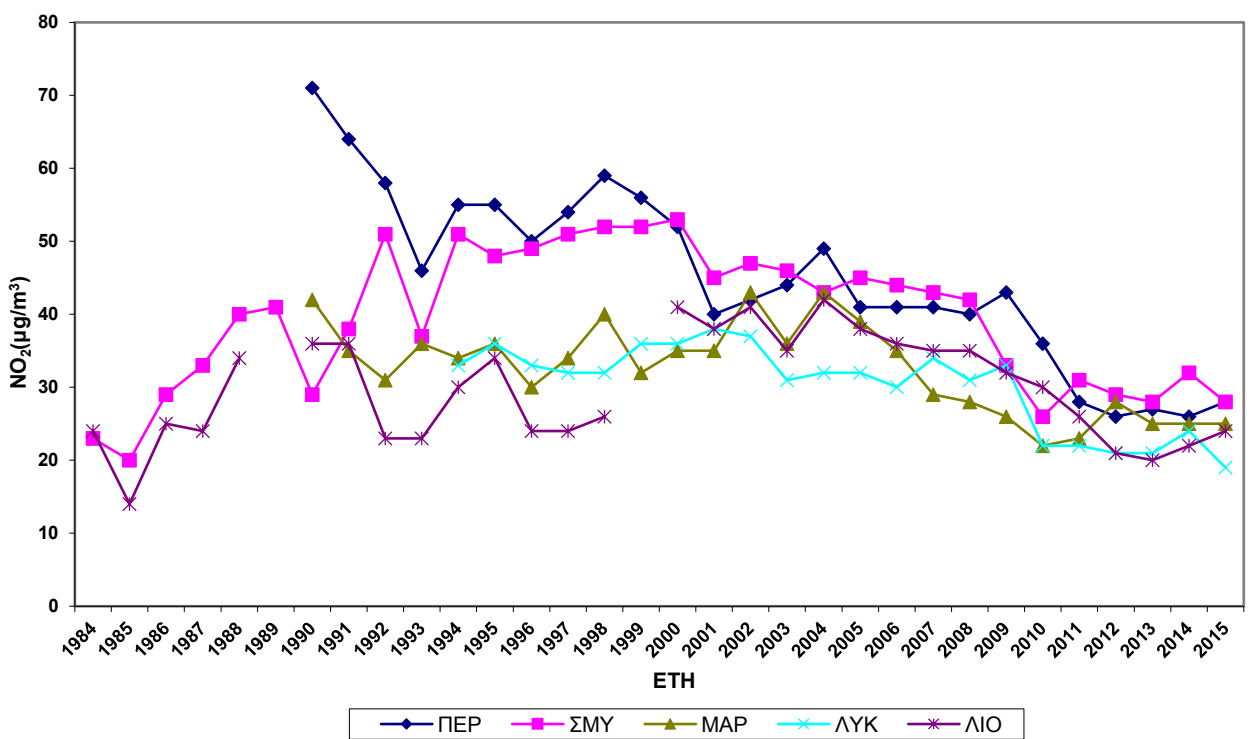
Σχήμα 2.4.α Διαχρονική μεταβολή μέσων ετήσιων τιμών NO , σε $\mu\text{g}/\text{m}^3$.



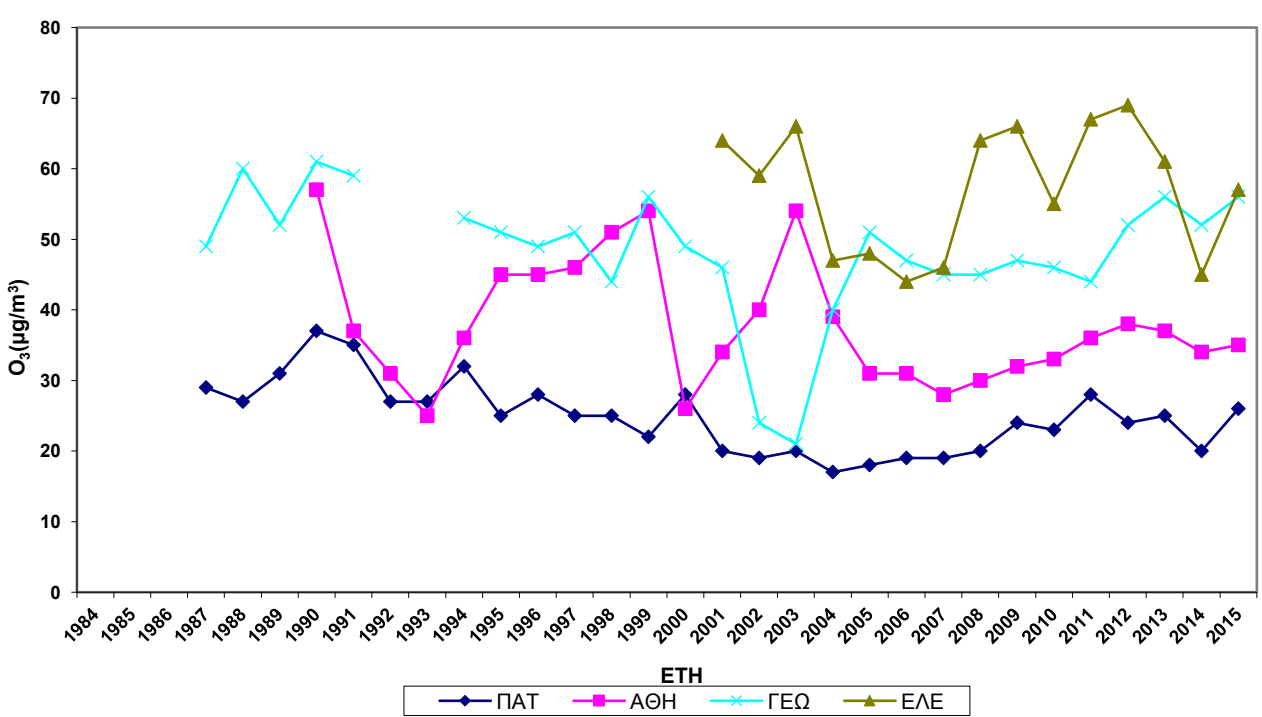
Σχήμα 2.4.β Διαχρονική μεταβολή μέσων ετήσιων τιμών NO , σε $\mu\text{g}/\text{m}^3$.



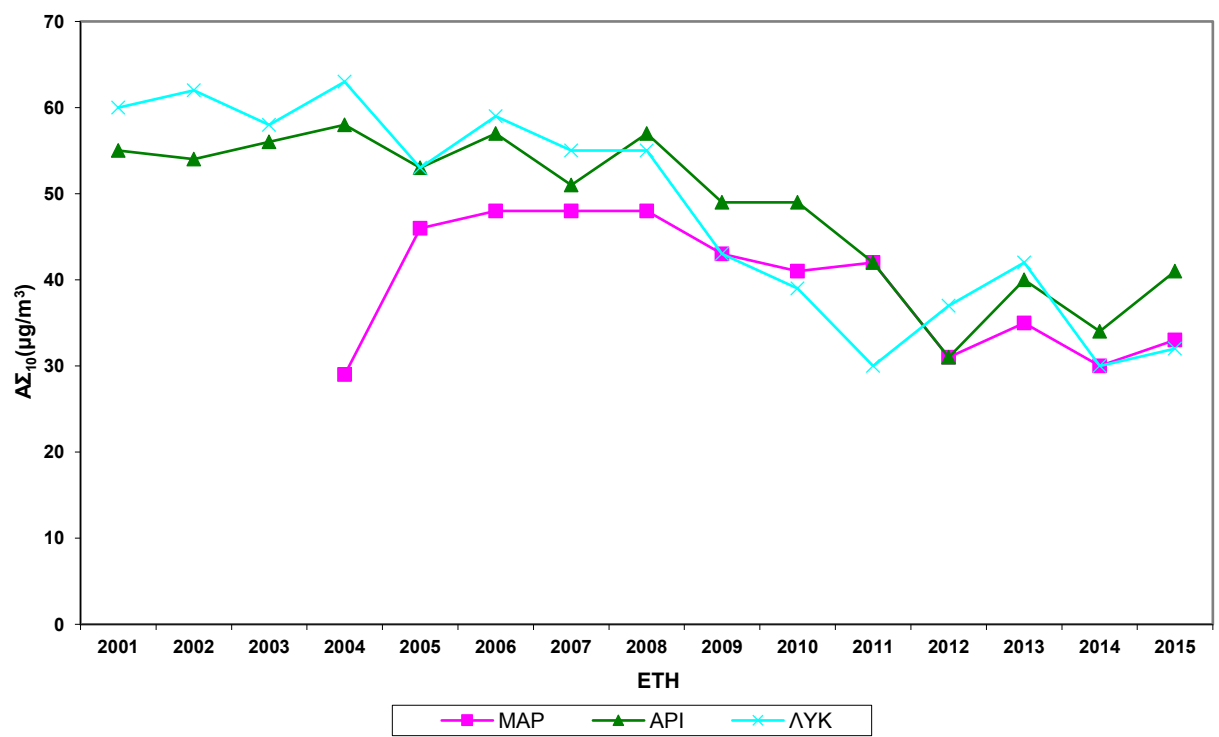
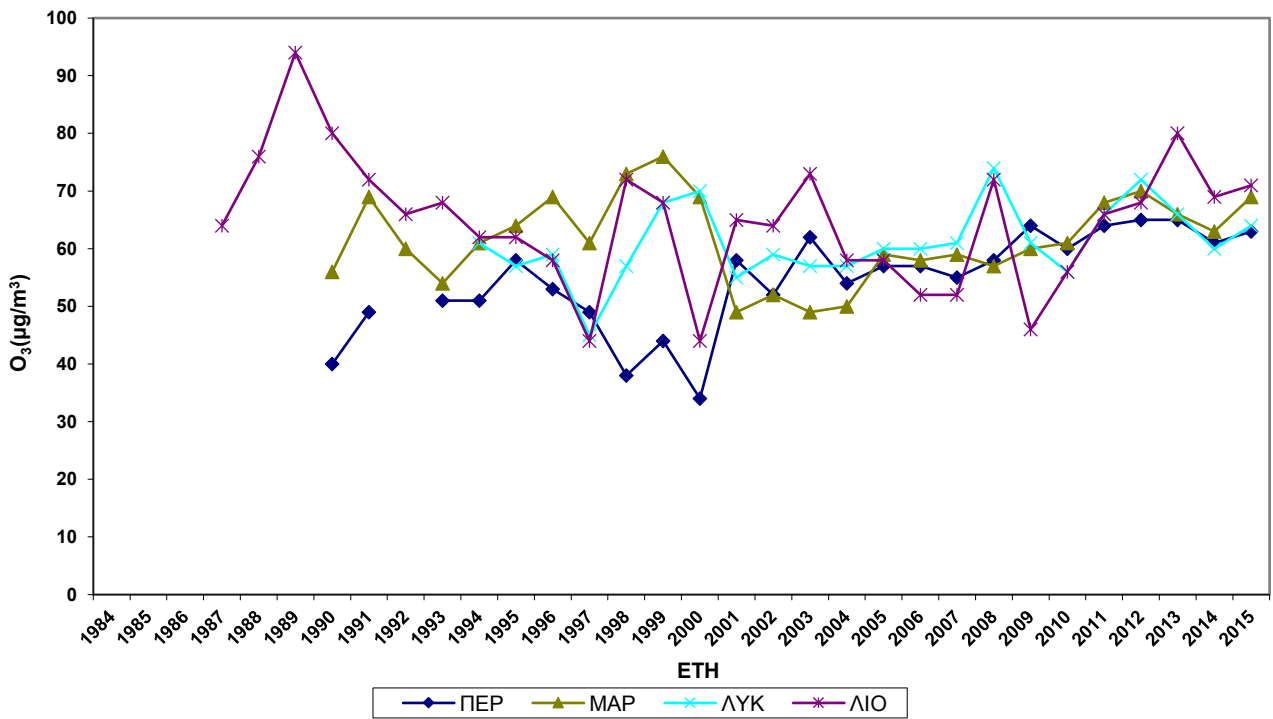
Σχήμα 2.5.α Διαχρονική μεταβολή μέσων ετήσιων τιμών NO_2 , σε $\mu\text{g}/\text{m}^3$.



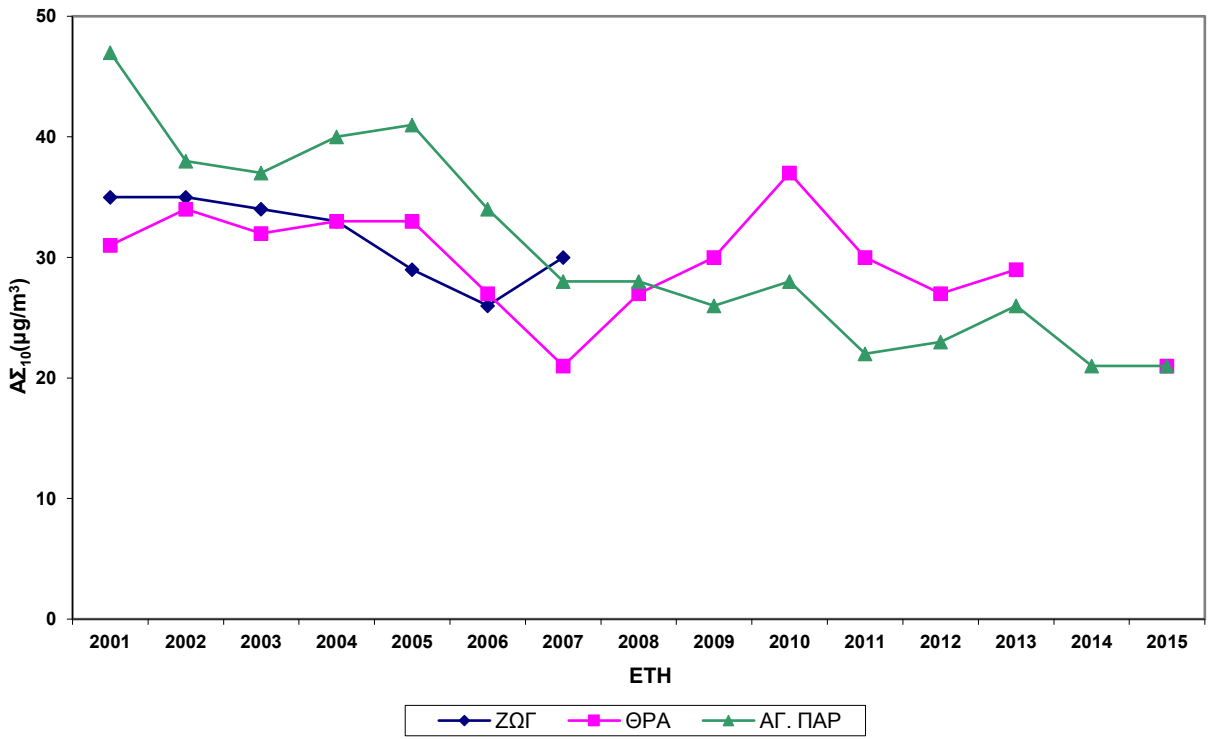
Σχήμα 2.5.β Διαχρονική μεταβολή μέσων ετήσιων τιμών NO_2 , σε $\mu g/m^3$.



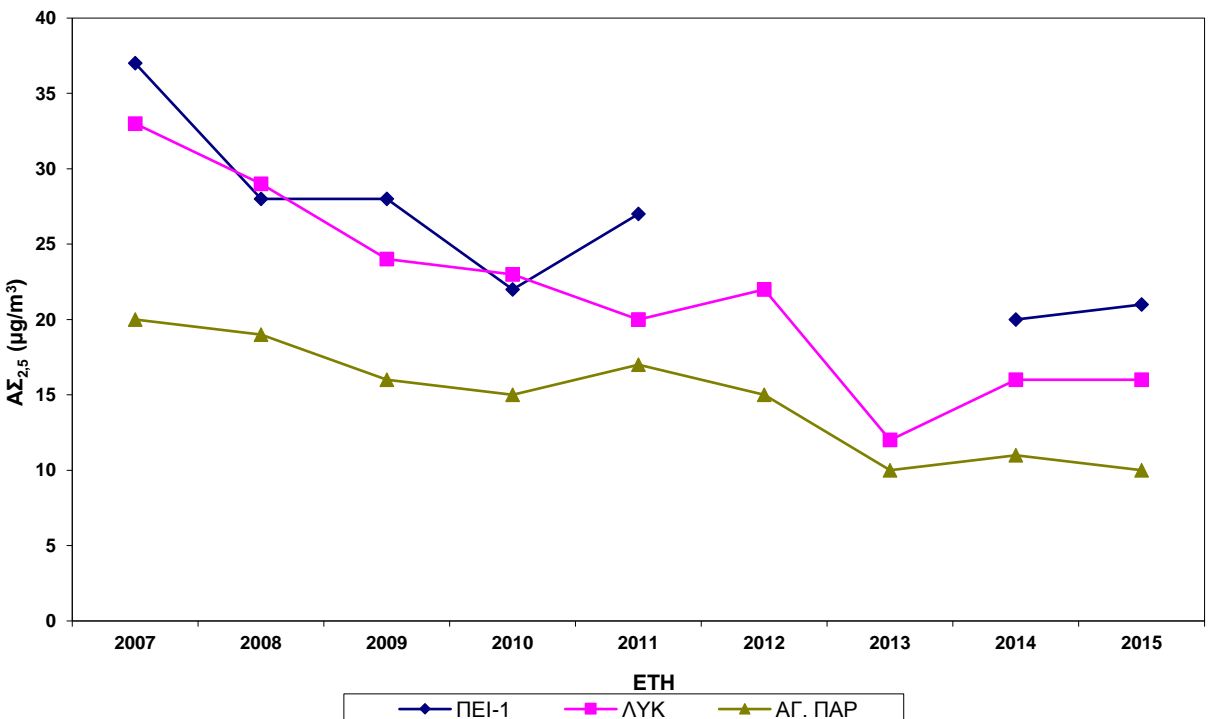
Σχήμα 2.6.α Διαχρονική μεταβολή μέσων ετήσιων τιμών O_3 , σε $\mu g/m^3$.



Σχήμα 2.7.α Διαχρονική μεταβολή μέσων ετήσιων τιμών $A\Sigma_{10}$, σε $\mu\text{g}/\text{m}^3$.



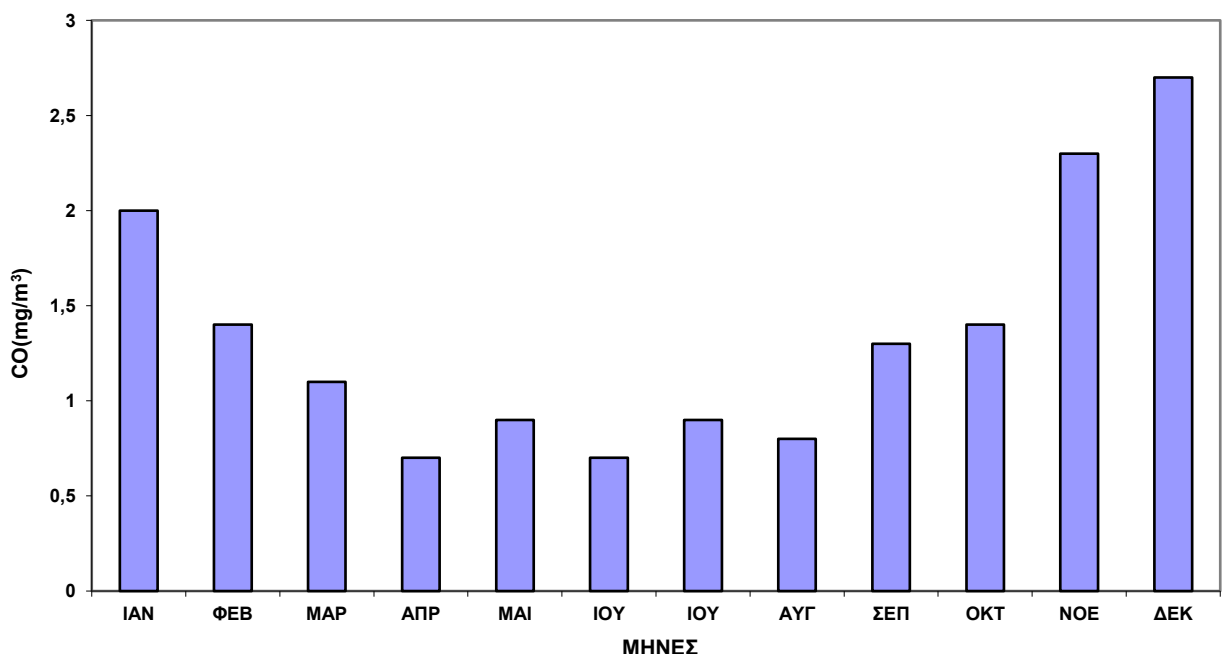
Σχήμα 2.7.β Διαχρονική μεταβολή μέσων ετήσιων τιμών $A\Sigma_{10}$, σε $\mu\text{g}/\text{m}^3$.



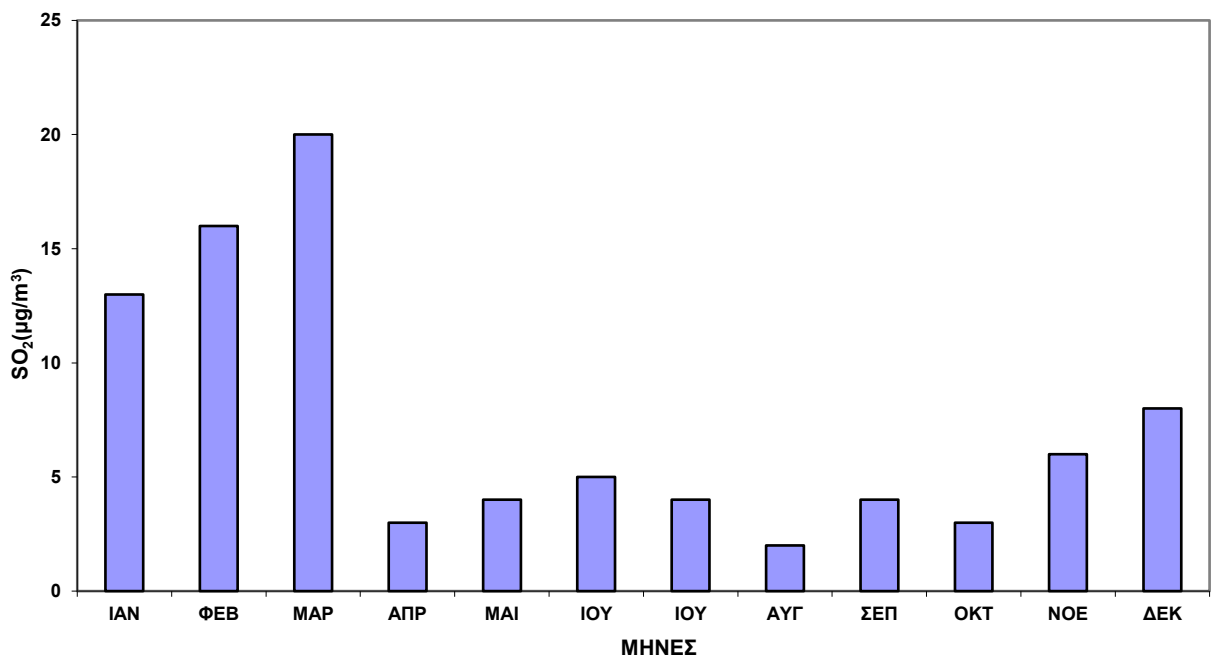
Σχήμα 2.8. Διαχρονική μεταβολή μέσων ετήσιων τιμών $A\Sigma_{2,5}$, σε $\mu\text{g}/\text{m}^3$.

2.2 Μηνιαία μεταβολή των συγκεντρώσεων των ρύπων

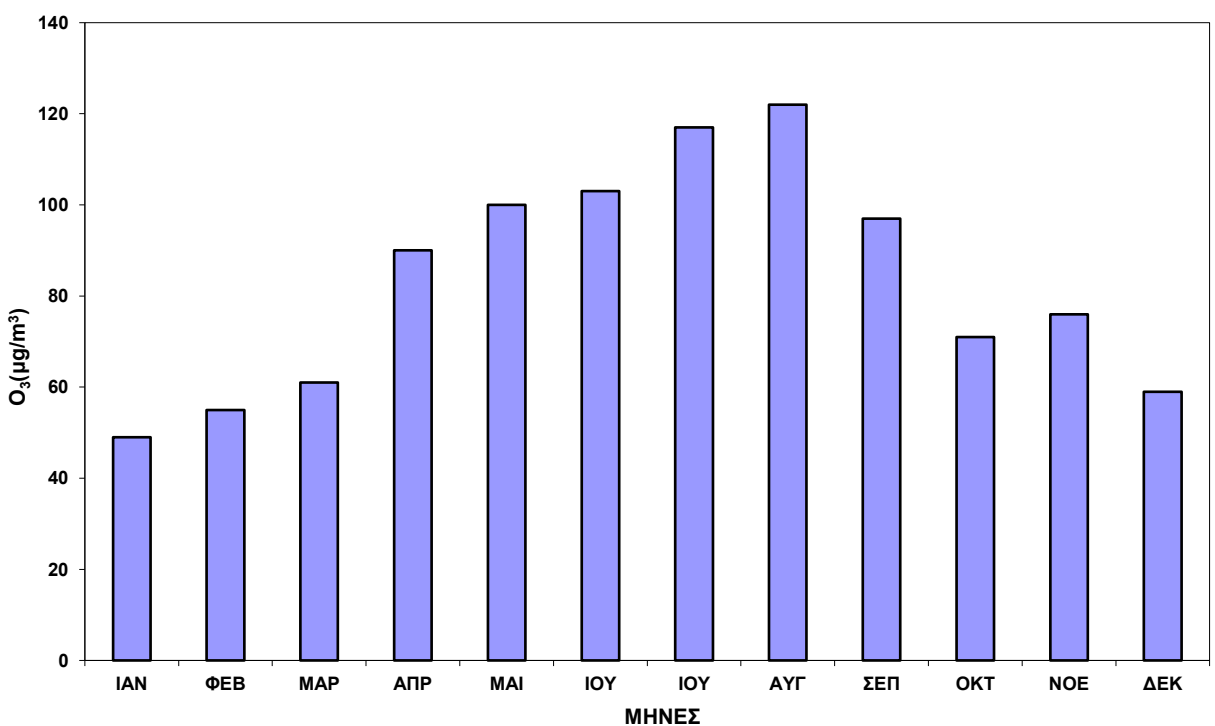
Στο Παράρτημα III, δίνονται οι διακυμάνσεις των μέσων μηνιαίων τιμών των συγκεντρώσεων για όλους τους μετρούμενους ρύπους και τους σταθμούς για το 2015, ενώ στα επόμενα Σχήματα εμφανίζεται η μηνιαία μεταβολή για ρύπους σε κάποιους χαρακτηριστικούς σταθμούς. Από τα Σχήματα είναι φανερό ότι, οι πρωτογενείς ρύποι (CO, NO, SO₂), παρουσιάζουν μεγαλύτερες τιμές τους μήνες του χειμώνα. Αυτό οφείλεται για μεν το SO₂ στη λειτουργία της κεντρικής θέρμανσης, για δε το CO στη μεγαλύτερη κυκλοφορία που παρατηρείται τους χειμερινούς μήνες και τις χειρότερες συνθήκες λειτουργίας των μηχανών των αυτοκινήτων (ξεκίνημα με κρύα μηχανή). Ο δευτερογενής ρύπος όζον (O₃) παρουσιάζει μεγαλύτερες τιμές τη θερινή περίοδο του έτους, ενώ το διοξείδιο του αζώτου (NO₂) δεν παρουσιάζει σαφή μηνιαία μεταβολή. Σαφή μηνιαία μεταβολή δεν παρουσιάζουν και οι τιμές των αιωρούμενων σωματιδίων (ΑΣ₁₀, ΑΣ_{2,5}), λόγω κυρίως των φυσικών πηγών τους (μεταφορά σκόνης από ξηρές περιοχές εντός και εκτός χώρας, θαλάσσια αερολύματα κ.ά.). Εντούτοις, απότομη αύξηση παρουσιάζεται στις τιμές των αιωρούμενων σωματιδίων από το Δεκέμβριο του 2012 και μετά, κατά τη χειμερινή περίοδο του έτους, λόγω της έναρξης χρήσης βιομάζας ως θερμαντικού μέσου. Οι αυξημένες τιμές της συγκέντρωσης του όζοντος τους καλοκαιρινούς μήνες οφείλονται στην αυξημένη ηλιοφάνεια σε διάρκεια και ένταση των μηνών αυτών, δεδομένου ότι αυτός ο ρύπος σχηματίζεται από φωτοχημικές διεργασίες στις οποίες καθοριστικό ρόλο παίζει η ηλιακή ακτινοβολία.



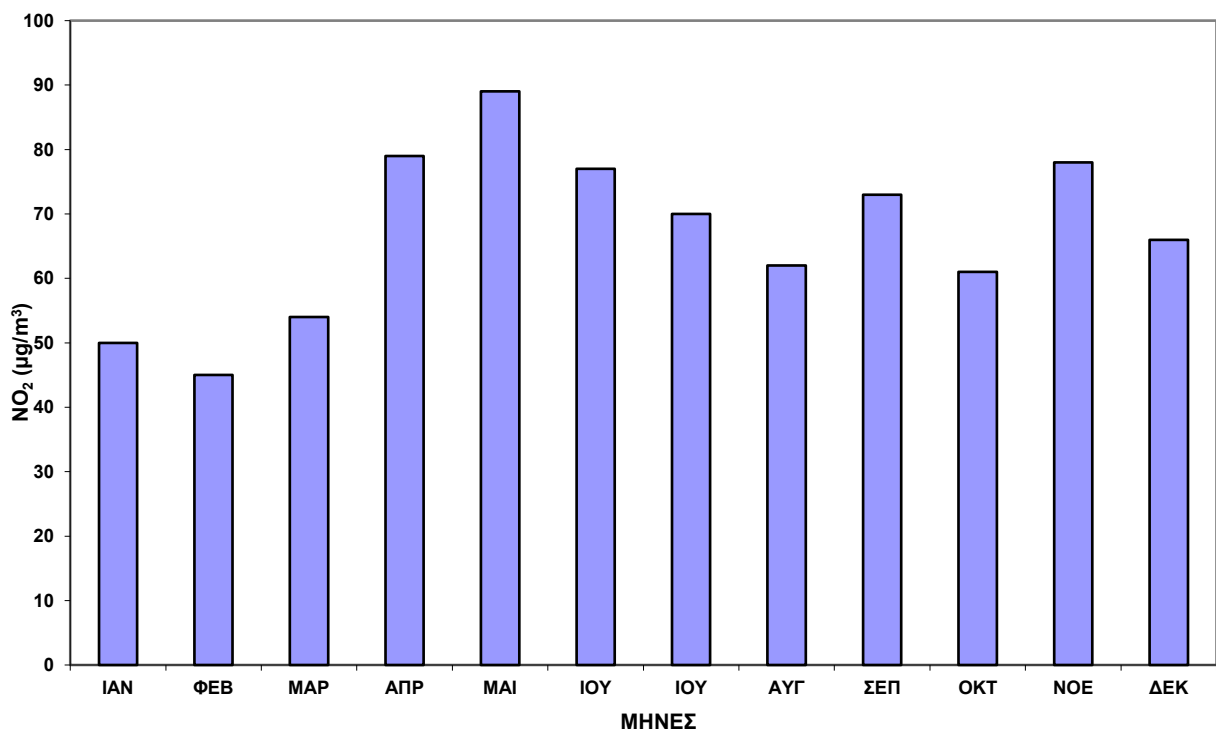
Σχήμα 2.9. Μέσες μηνιαίες τιμές CO στο σταθμό Πατησίων για το έτος 2015.



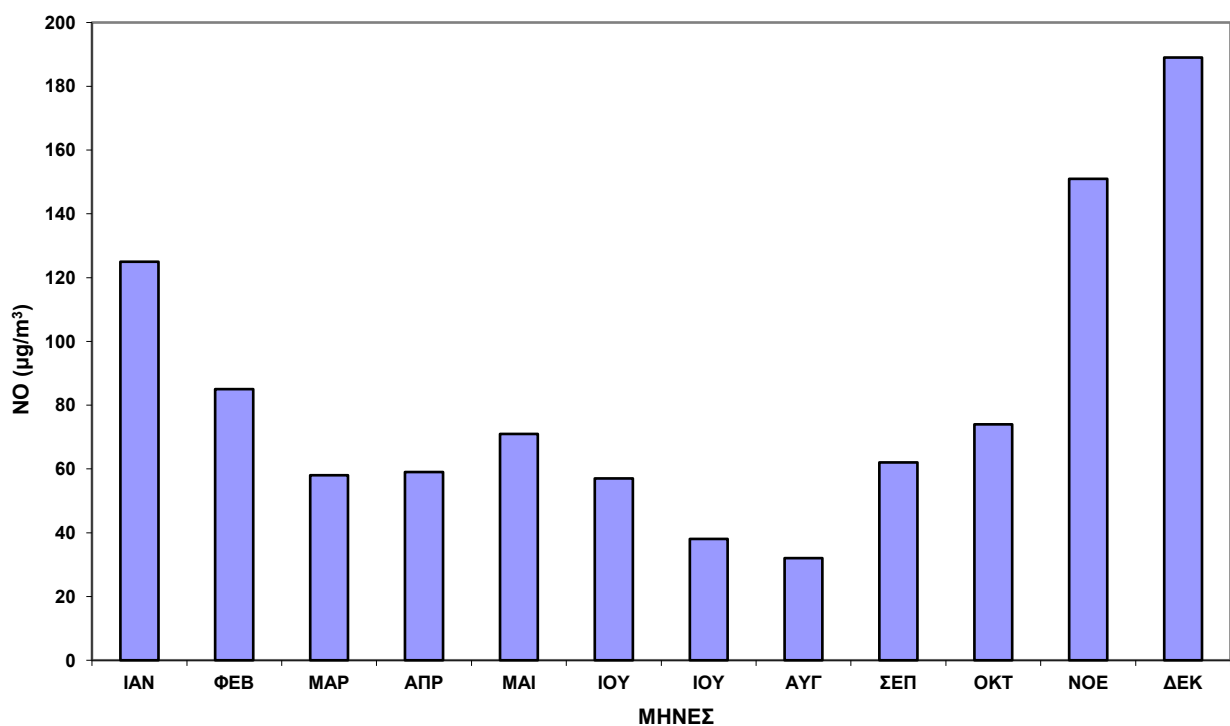
Σχήμα 2.10. Μέσες μηνιαίες τιμές SO₂ στο σταθμό Πατησίων για το έτος 2015.



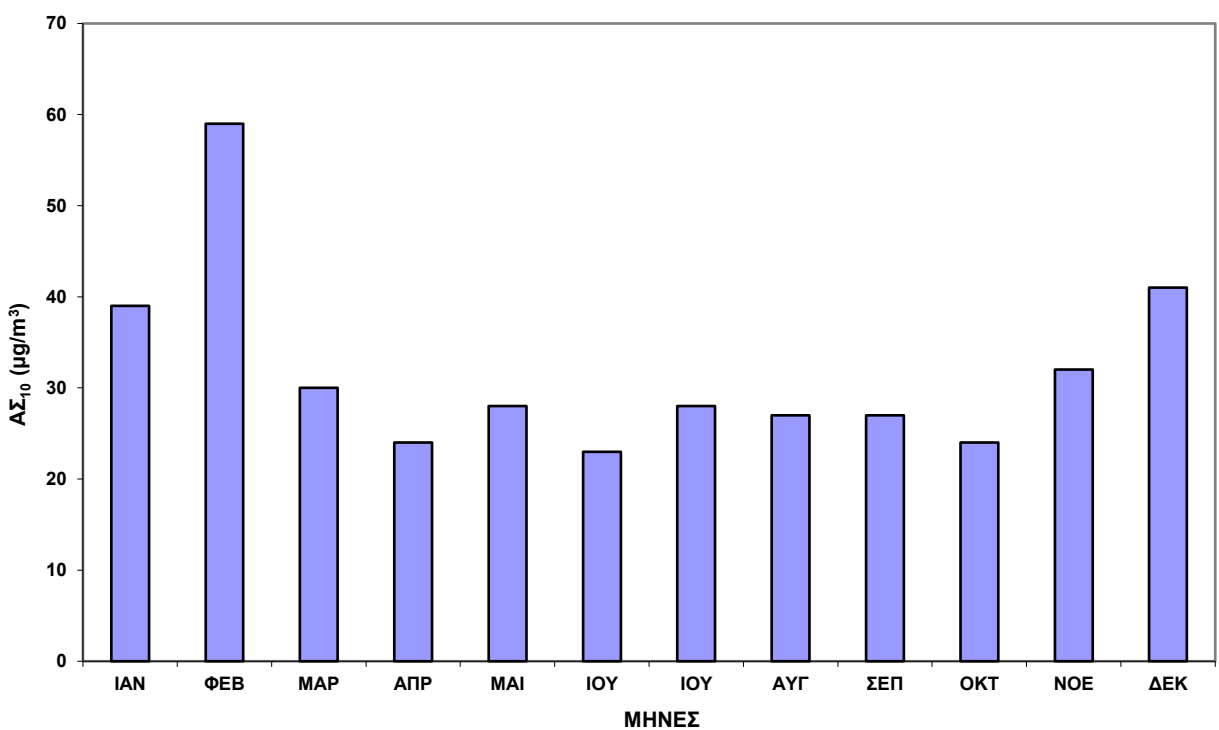
Σχήμα 2.11. Μέσες μηνιαίες τιμές O₃ στο σταθμό Αγ. Παρασκευή για το έτος 2015.



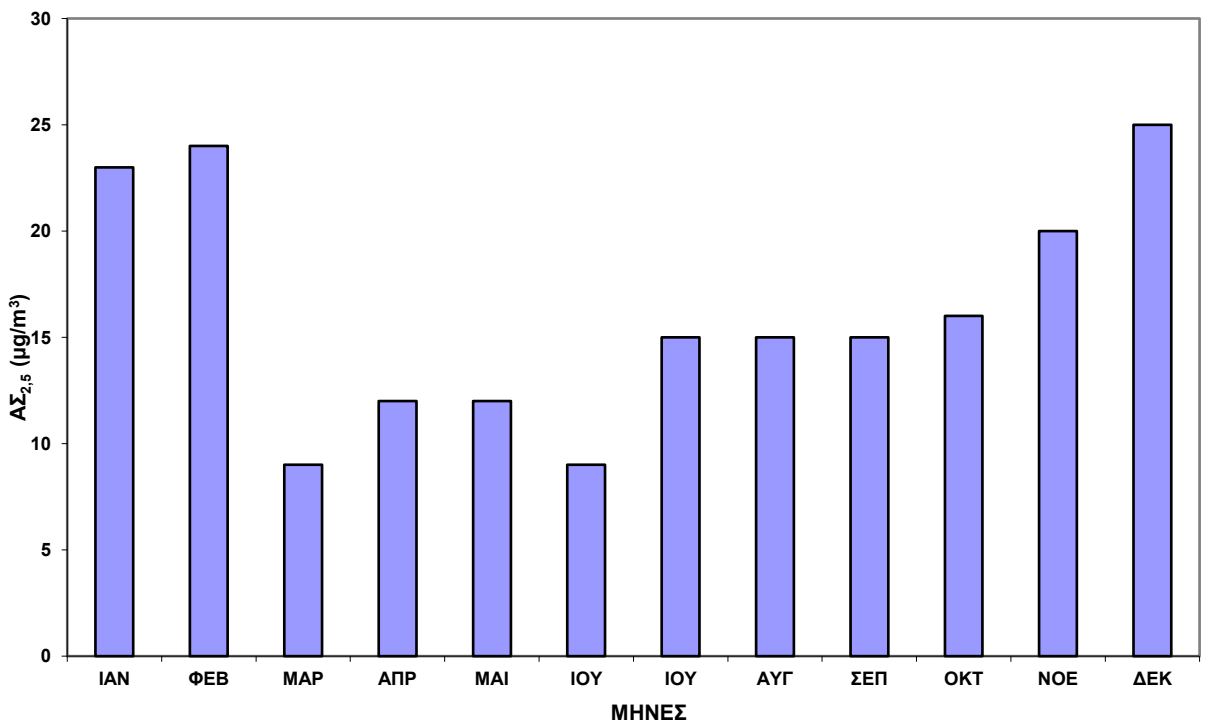
Σχήμα 2.12. Μέσες μηνιαίες τιμές NO_2 στο σταθμό Πατησίων για το έτος 2015.



Σχήμα 2.13. Μέσες μηνιαίες τιμές NO στο σταθμό Πατησίων για το έτος 2015.



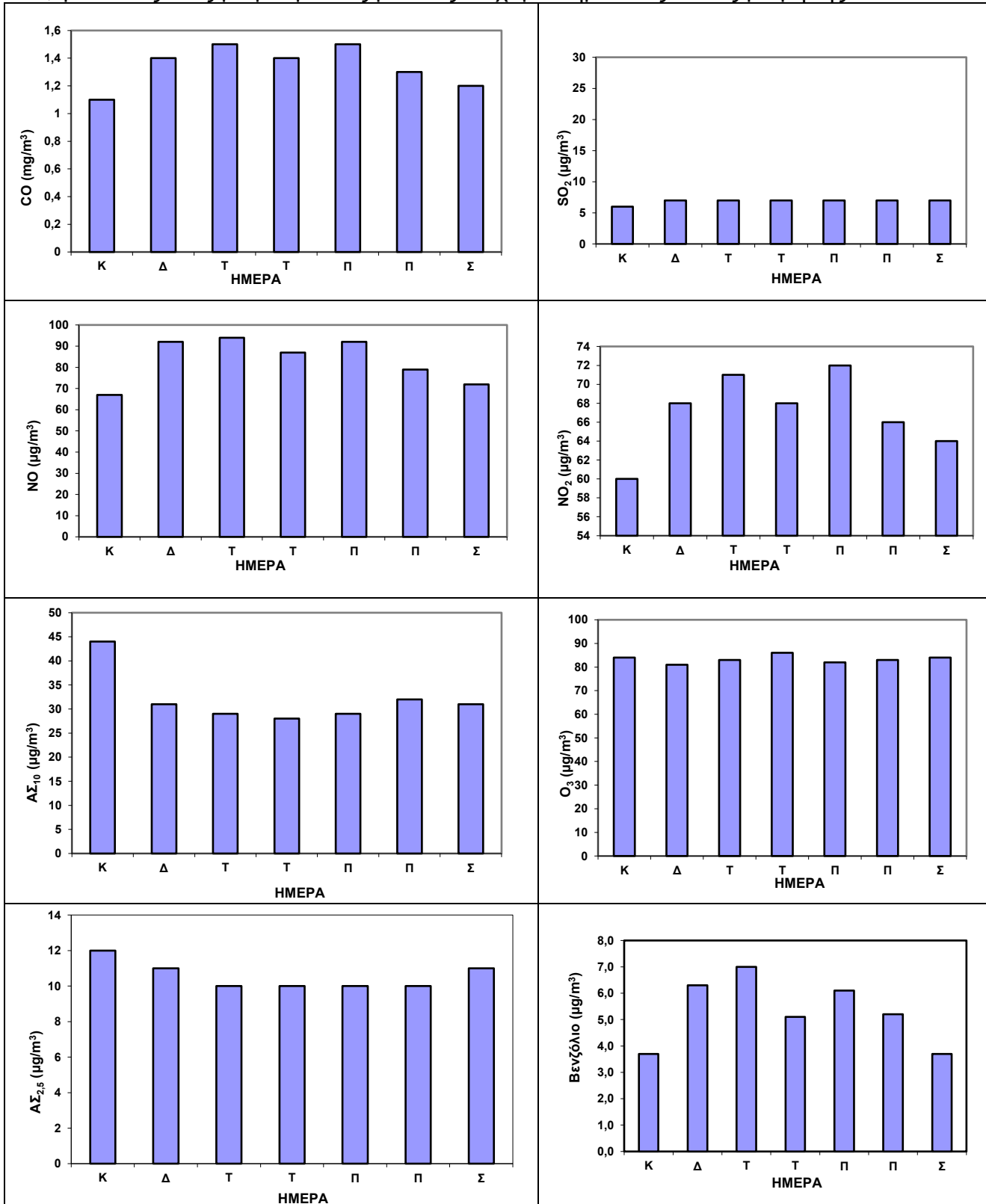
Σχήμα 2.14. Μέσες μηνιαίες τιμές $A\Sigma_{10}$ στο σταθμό Λυκόβρυση για το έτος 2015.



Σχήμα 2.15. Μέσες μηνιαίες τιμές $A\Sigma_{2,5}$ στο σταθμό Λυκόβρυση για το έτος 2015.

2.3 Ημερήσια μεταβολή των συγκεντρώσεων των ρύπων

Στο επόμενο Σχήμα, δίνεται η ημερήσια μεταβολή των ρύπων στη διάρκεια του έτους 2015, για όλους τους μετρούμενους ρύπους σε χαρακτηριστικές θέσεις μέτρησης.

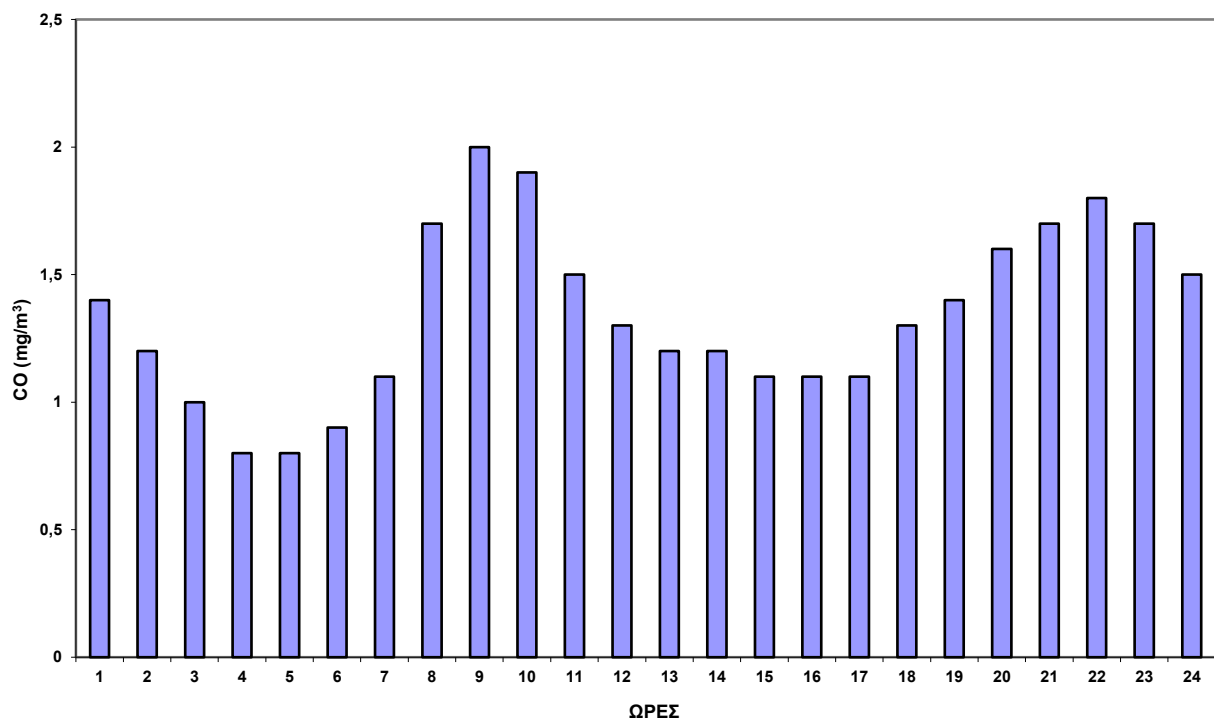


Σχήμα 2.16 Ημερήσια μεταβολή συγκεντρώσεων CO, NO, NO₂, SO₂ και βενζολίου στο σταθμό Πατησίων, AΣ₁₀, AΣ_{2,5} στο σταθμό Λυκόβρυση και O₃ στο σταθμό Αγ. Παρασκευή για το έτος 2015.

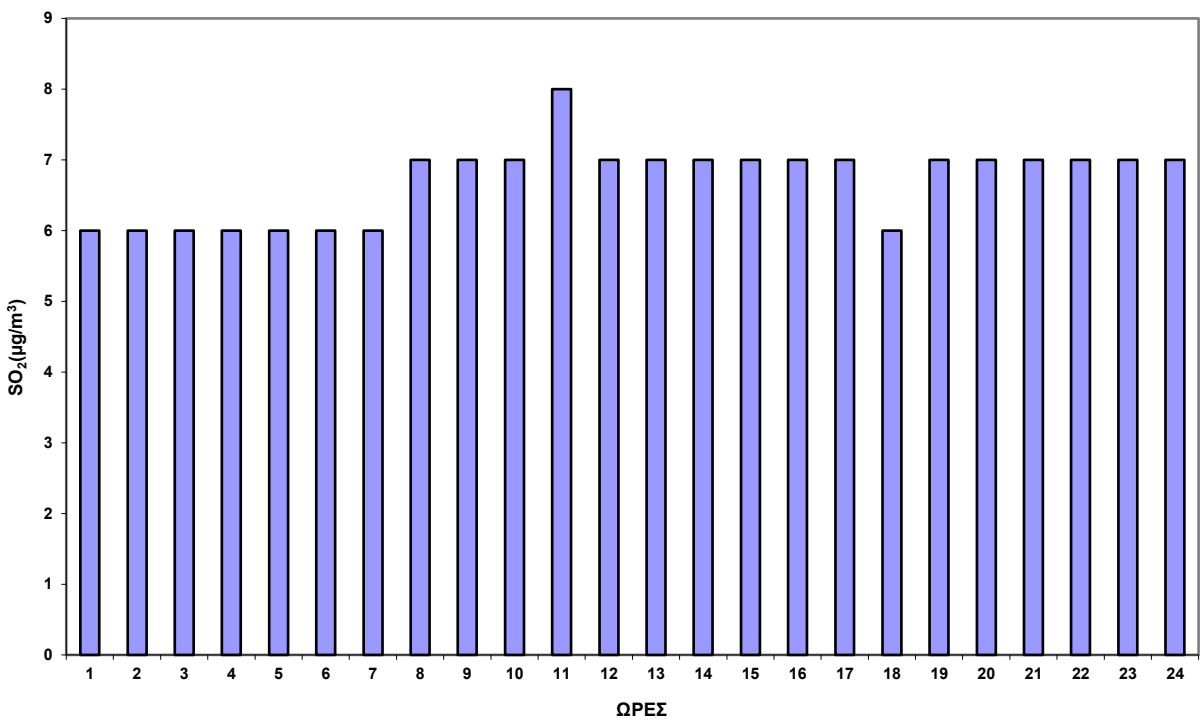
Όπως δείχνει και το Σχήμα 2.17 οι ρύποι που σχετίζονται κυρίως με την κυκλοφορία, όπως οξείδια του αζώτου και μονοξείδιο του άνθρακα και βενζόλιο, εμφανίζουν σε μεγάλο ή μικρό βαθμό μείωση στη διάρκεια της Κυριακής. Για το διοξείδιο του θείου δεν παρατηρείται αξιοσημείωτη μεταβολή λόγω των πολύ χαμηλών επιπέδων συγκεντρώσεων. Αυτό δεν ισχύει για τα αιωρούμενα σωματίδια κυρίως λόγω του γεγονότος ότι η μεταφορά σκόνης, η επαναιώρηση από το έδαφος καθώς και η εισροή θαλασσίων αερολυμάτων στο λεκανοπέδιο σχετίζεται με μετεωρολογικές συνθήκες και άρα δεν υπάρχει διάκριση σε μέρες της εβδομάδας. Σε αντίθεση με ότι παρατηρείται στους πρωτογενείς αέριους ρύπους, η μείωση της κυκλοφορίας τις Κυριακές έχει αντίκτυπο σε μικρή αύξηση των φωτοχημικών παραγόμενων ρύπων όπως το οζόν.

2.4 Ωριαία μεταβολή των συγκεντρώσεων των ρύπων

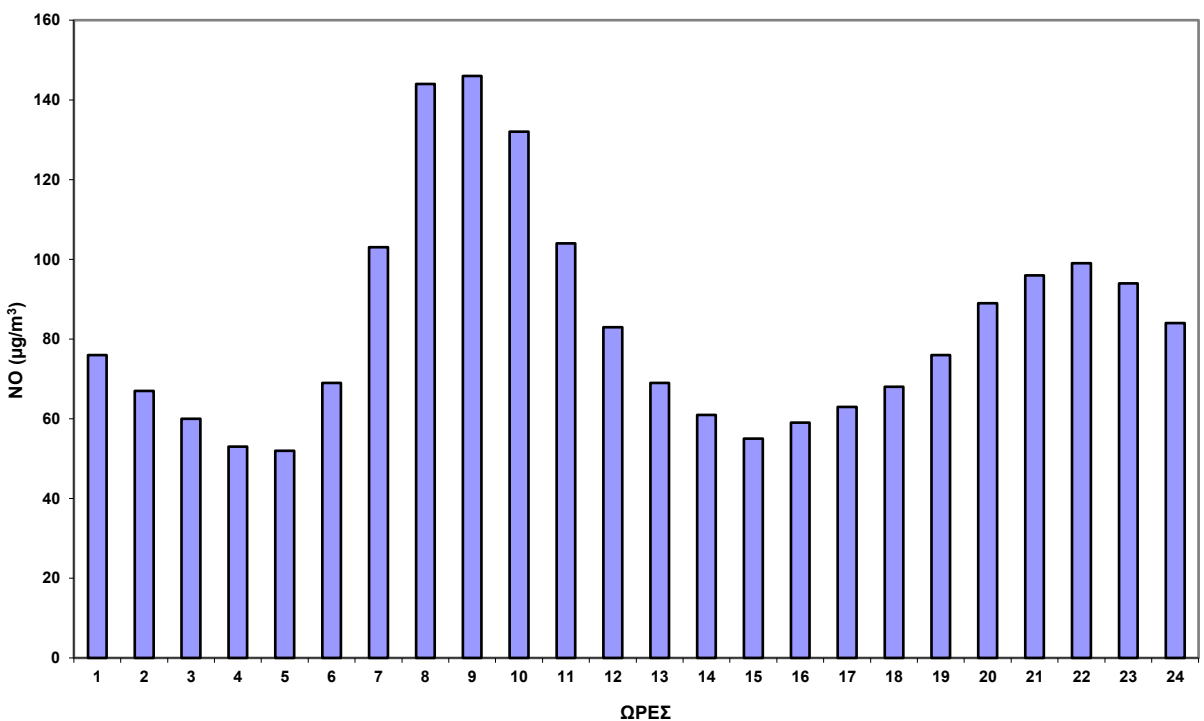
Στα επόμενα Σχήματα, δίνεται η ωριαία μεταβολή των συγκεντρώσεων όλων των ρύπων στη διάρκεια του έτους 2015, σε χαρακτηριστικές θέσεις μέτρησης.



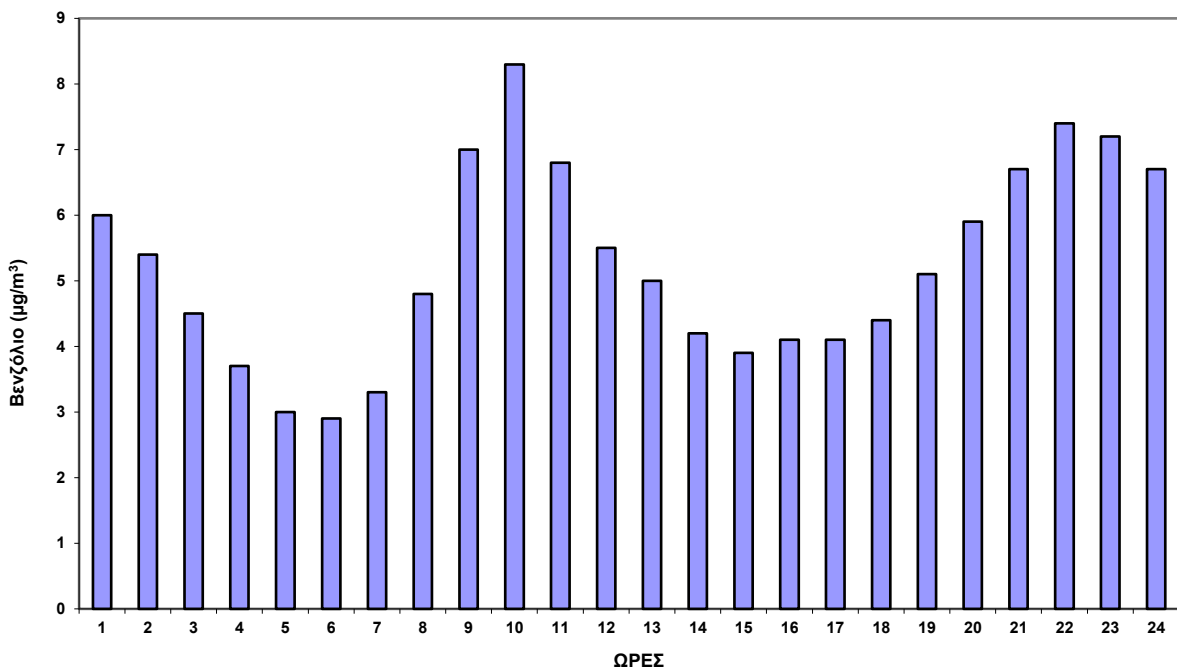
Σχήμα 2.17 Ωριαία μεταβολή CO στο σταθμό Πατησίων για το έτος 2015.



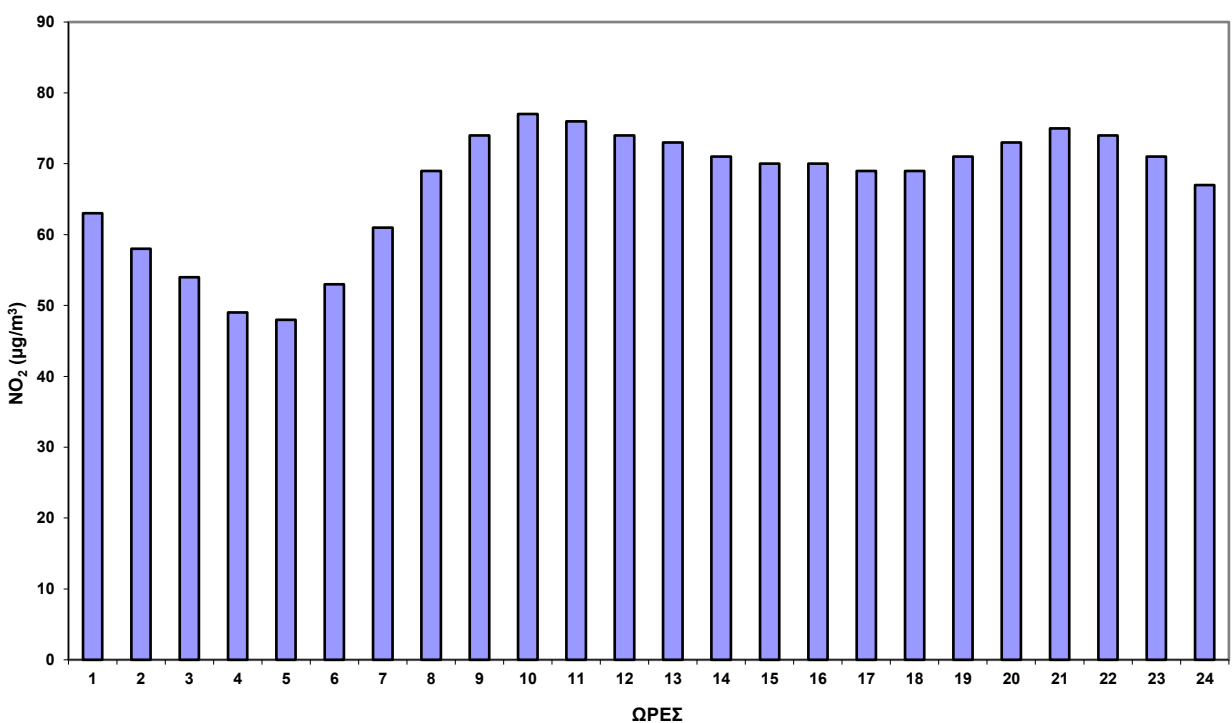
Σχήμα 2.18 Ωριαία μεταβολή SO_2 στο σταθμό Πατησίων για το έτος 2015.



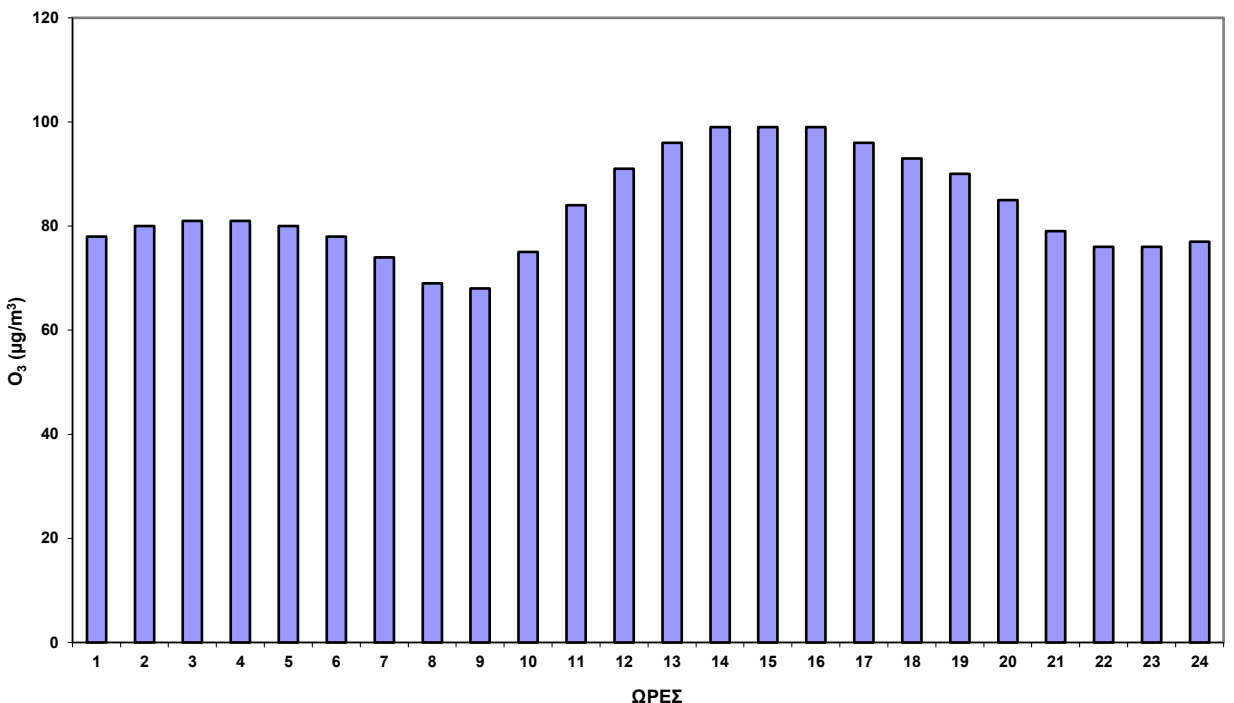
Σχήμα 2.19 Ωριαία μεταβολή NO στο σταθμό Πατησίων για το έτος 2015.



Σχήμα 2.20 Ωριαία μεταβολή βενζολίου στο σταθμό Πατησίων για το έτος 2015.



Σχήμα 2.21 Ωριαία μεταβολή NO₂ στο σταθμό Πατησίων για το έτος 2015.



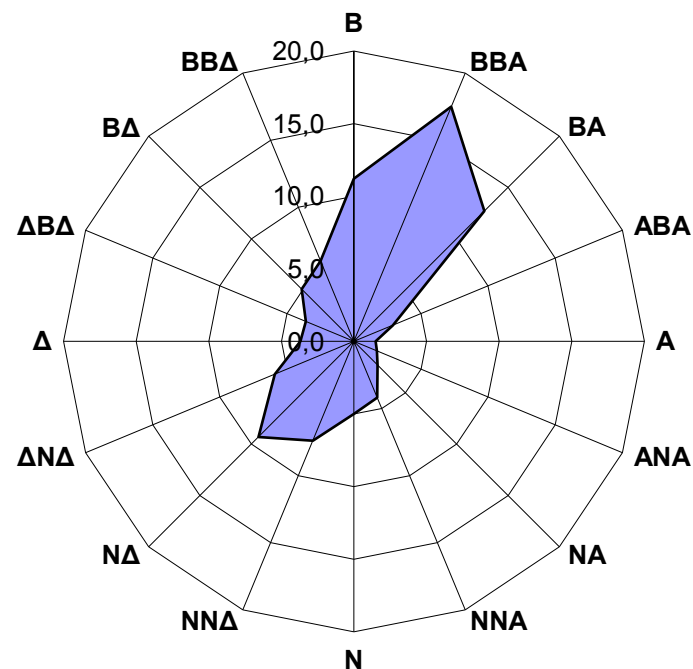
Σχήμα 2.22 Ωριαία μεταβολή O₃ στο σταθμό Αγ. Παρασκευή για το έτος 2015.

Όπως φαίνεται και στα σχήματα 2.18 έως 2.21, μεγαλύτερες τιμές για τους πρωτογενείς ρύπους CO και NO παρουσιάζονται γενικά το πρωί (8-10) και το βράδυ (9-11) αλλά και για το βενζόλιο με ελαφρά χρονική υστέρηση ενώ το SO₂, εξαιτίας των πολύ μικρών επιπέδων συγκεντρώσεων, παρουσιάζει ένα μόνο μέγιστο που δεν συμπίπτει χρονικά με τους υπόλοιπους πρωτογενείς ρύπους. Το χρονικό διάστημα που εμφανίζεται το πρωινό μέγιστο οφείλεται στο γεγονός ότι τις ώρες αυτές επικρατούν ευνοϊκές για τη συσσώρευση των ατμοσφαιρικών ρύπων μετεωρολογικές συνθήκες (εμφάνιση θερμοκρασιακών αναστροφών) ενώ και τα δυο μέγιστα συμπίπτουν χρονικά με τις ώρες λειτουργίας της κεντρικής θέρμανσης και τις αιχμές κυκλοφορίας. Για το διοξείδιο του αζώτου NO₂, (σχήμα 2.22), οι μέγιστες τιμές εμφανίζονται τις πρωινές ώρες 9-12, δηλαδή παρουσιάζουν κάποια χρονική υστέρηση σε σχέση με το NO που είναι απαραίτητη για το σχηματισμό του, χωρίς να υστερεί ποσοτικά από το αντίστοιχο νυχτερινό μέγιστο το ίδιο χρονικό διάστημα. Για το O₃ (σχήμα 2.23) το ημερήσιο μέγιστο εμφανίζεται τις μεταμεσημβρινές ώρες, όταν η ένταση της ηλιακής ακτινοβολίας και η θερμοκρασία παρουσιάζουν το μέγιστο ενώ ευνοείται από την ανάπτυξη θαλάσσιας αύρας που προοδευτικά από τις 10πμ και μετά πνέει από νότο προς βορρά σαρώνοντας προοδευτικά αέριους και σωματιδιακούς ρύπους προς το εσωτερικό του λεκανοπεδίου, όταν η συνοπτική ροή ανέμου είναι ασθενής ή απουσιάζει εντελώς.

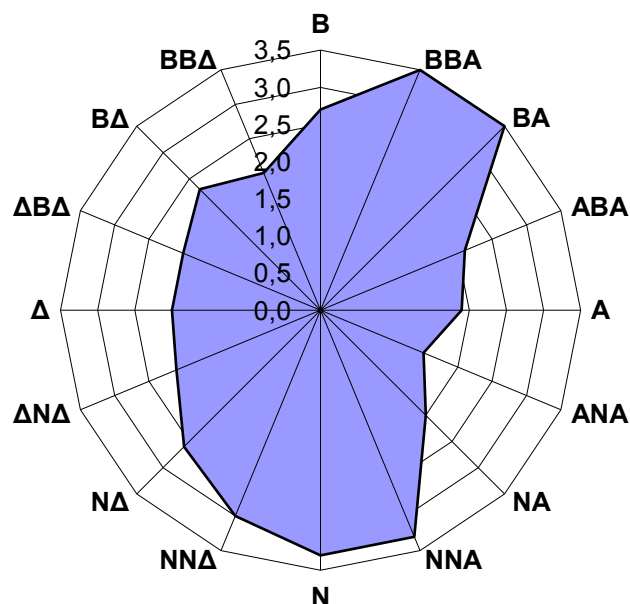
3. Επίδραση μετεωρολογικών παραμέτρων στη ρύπανση

Οι παράμετροι της μετεωρολογίας που επηρεάζουν δραστικά τη διαμόρφωση των επιπέδων ατμοσφαιρικής ρύπανσης είναι η διεύθυνση και η ένταση του ανέμου, η ευστάθεια της ατμόσφαιρας και ειδικά για τους φωτοχημικούς ρύπους η ένταση της ηλιακής ακτινοβολίας και η διάρκεια της ηλιοφάνειας. Άλλες παράμετροι που διαμορφώνουν τα επίπεδα της ατμοσφαιρικής ρύπανσης είναι τα μετεωρολογικά κατακρημνίσματα και το ποσό υετού (βροχόπτωση, χιόνι κλπ), η σχετική υγρασία της ατμόσφαιρας και έμμεσα η θερμοκρασία.

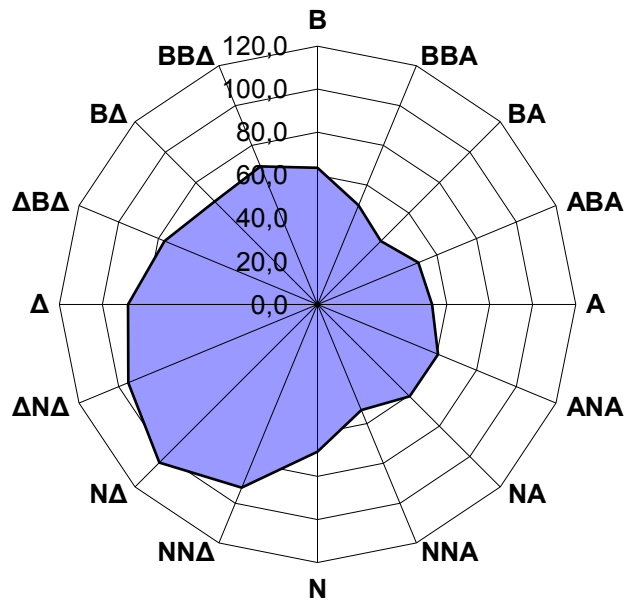
Στο Σχήμα 3.1 παρουσιάζονται οι συχνότητες εμφάνισης (%), των διευθύνσεων του ανέμου στο σταθμό Πατησίων, ενώ στο Σχήμα 3.2 αποτυπώνεται η μέση ταχύτητα του ανέμου (σε m/s), ανά διεύθυνση ανέμου στον ίδιο σταθμό για το έτος 2015.



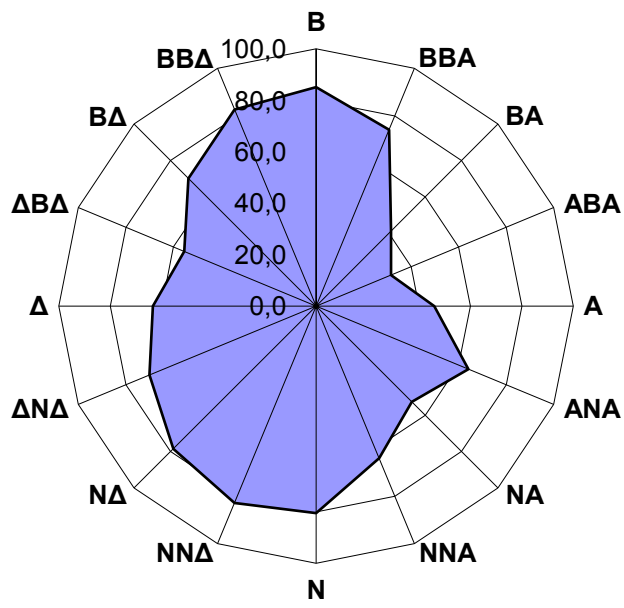
Σχήμα 3.1 Συχνότητες, επί τοις εκατό (%), των διευθύνσεων του ανέμου στο σταθμό Πατησίων για το έτος 2015.



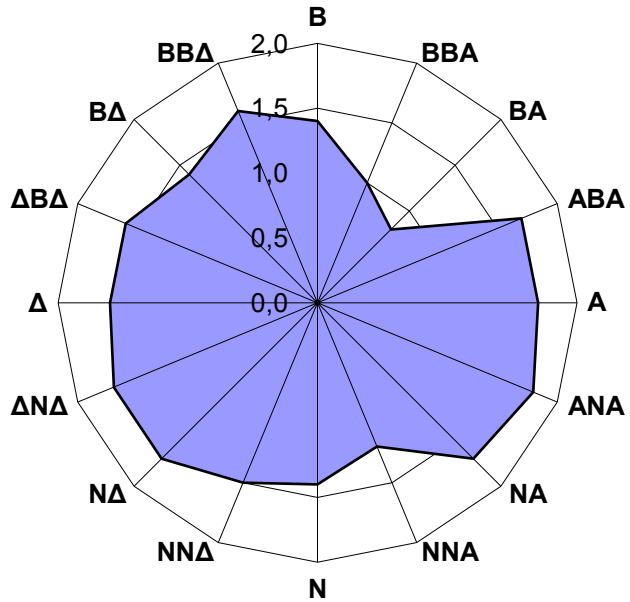
Σχήμα 3.2 Μέση ταχύτητα (σε m/s) ανά διεύθυνση ανέμου, στο σταθμό Πατησίων για το έτος 2015



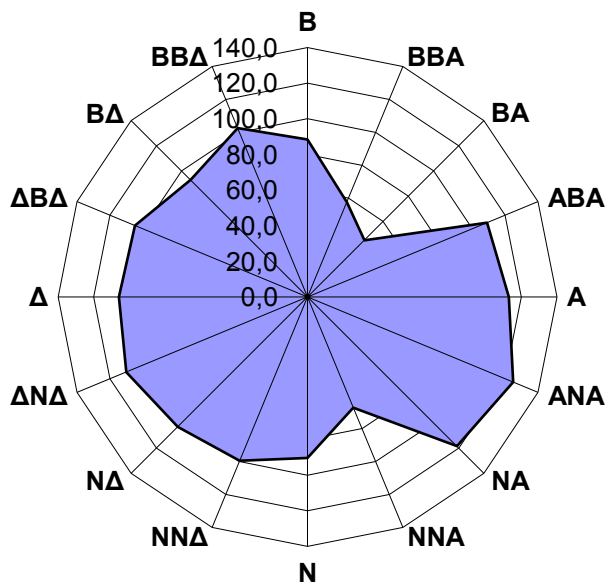
Σχήμα 3.3 Μέσες τιμές NO_2 (σε $\mu\text{g}/\text{m}^3$) για το έτος 2015 στο σταθμό Πατησίων για κάθε διεύθυνση του ανέμου.



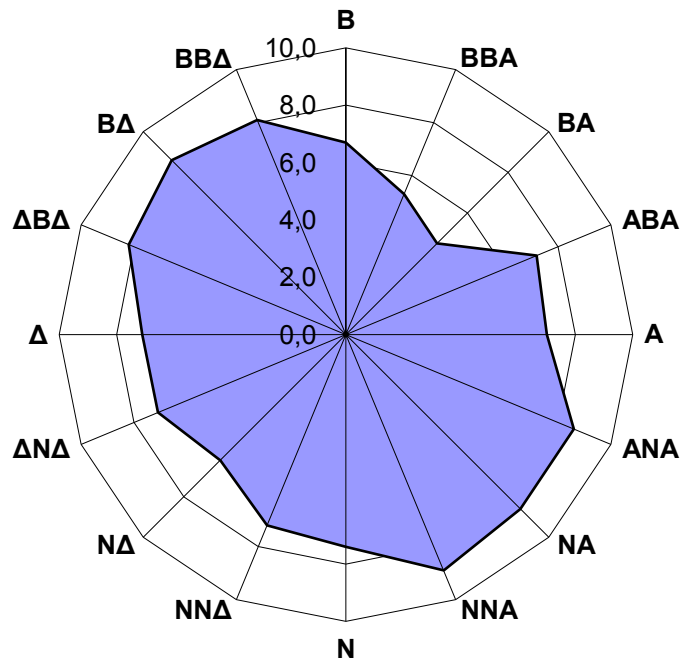
Σχήμα 3.4 Μέσες τιμές O_3 (σε $\mu\text{g}/\text{m}^3$) για το έτος 2015 στο σταθμό Μαρούσι για κάθε διεύθυνση του ανέμου.



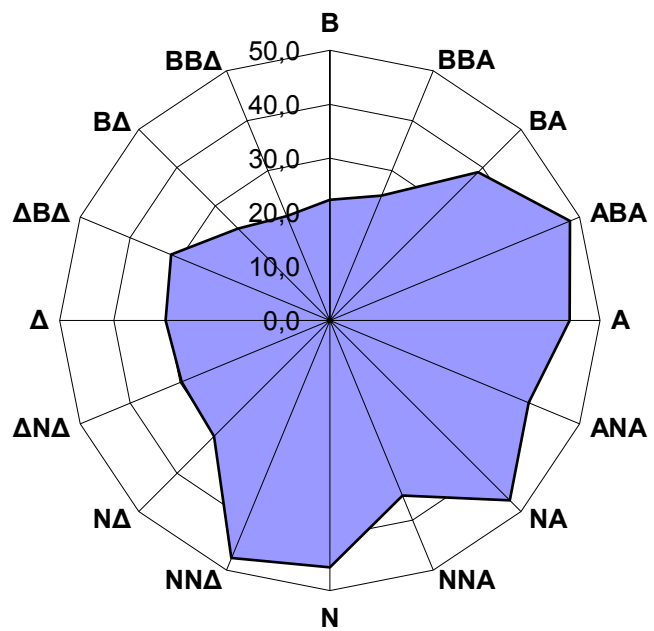
Σχήμα 3.5 Μέσες τιμές CO (σε mg/m^3) για το έτος 2015 στο σταθμό Πατησίων για κάθε διεύθυνση του ανέμου.



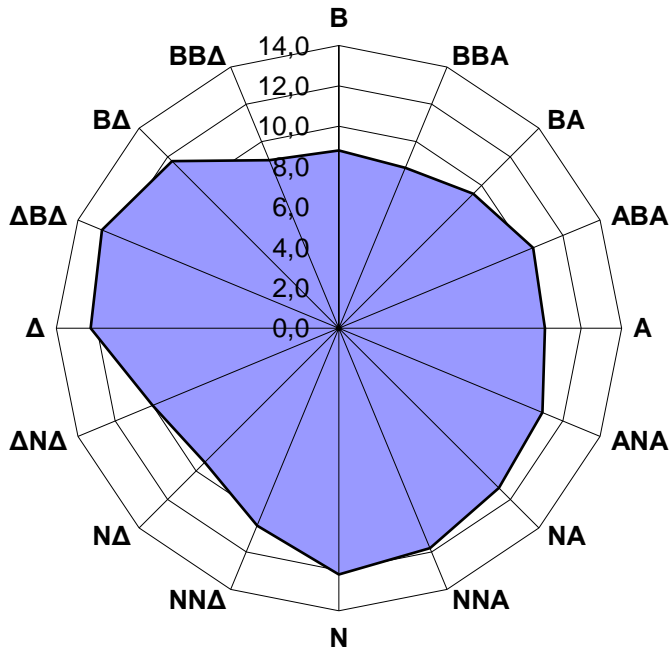
Σχήμα 3.6 Μέσες τιμές NO (σε $\mu\text{g}/\text{m}^3$) για το έτος 2015 στο σταθμό Πατησίων για κάθε διεύθυνση του ανέμου.



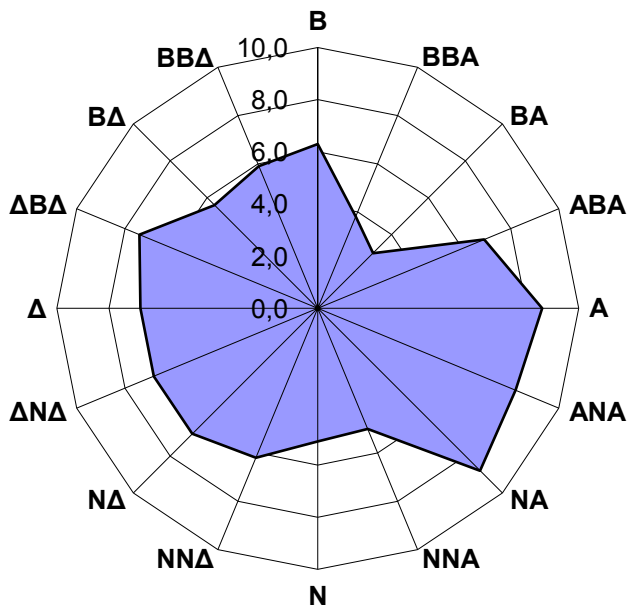
Σχήμα 3.7 Μέσες τιμές SO_2 ($\sigma \mu\text{g}/\text{m}^3$) για το έτος 2015 στο σταθμό Πατησίων για κάθε διεύθυνση του ανέμου.



Σχήμα 3.8 Μέσες τιμές AS_{10} ($\sigma \mu\text{g}/\text{m}^3$) για το έτος 2015 στο σταθμό Μαρούσι για κάθε διεύθυνση του ανέμου.



Σχήμα 3.9 Μέσες τιμές $\text{AΣ}_{2,5}$ (σε mg/m^3) για το έτος 2015 στο σταθμό Αγ. Παρασκευή για κάθε διεύθυνση του ανέμου.



Σχήμα 3.10 Μέσες τιμές βενζολίου (σε mg/m^3) για το έτος 2015 στο σταθμό Πατησίων για κάθε διεύθυνση του ανέμου.

Στα Σχήματα 3.3-3.10, δίνονται οι μέσες τιμές συγκεντρώσεων των ρύπων ανά διεύθυνση ανέμου (τριαντάφυλλα ρύπανσης). Από τα Σχήματα αυτά προκύπτει ότι, γενικά, μικρότερες τιμές συγκέντρωσης για τους πρωτογενείς κυρίως ρύπους, παρατηρούνται με ανέμους του βορειοανατολικού τομέα και μεγαλύτερες με ανέμους

του νοτιοδυτικού κυρίως τομέα, γεγονός που κυρίως αποδίδεται στους ακόλουθους λόγους:

- Η κλειστή τοπογραφία του λεκανοπέδιου της Αθήνας, δυσχεράνει τον αερισμό και τη διάχυση των ρύπων, λόγω της ύπαρξης ορεινών όγκων, ενώ έχει ως αποτέλεσμα, η επικρατούσα διεύθυνση του ανέμου να είναι είτε Βορειοανατολική είτε Νοτιοδυτική (άνοιγμα στα βορειοανατολικά μεταξύ των ορέων Πάρνηθας και Πεντέλης και στα νότια στο Σαρωνικό κόλπο). Οι Βορειανατολικοί άνεμοι είναι συνοπτικοί και έχουν μεγαλύτερη μέση ταχύτητα σε σχέση με τους Νοτιοδυτικούς ανέμους (Σχήμα 3.2), συντελώντας έτσι καθοριστικά στη διάχυση των ρύπων.
- Σε περίπτωση ασθενούς ή απουσίας συνοπτικής ροής, οι άνεμοι του νότιου τομέα είναι αποτέλεσμα τοπικού συστήματος κυκλοφορίας (θαλάσσια αύρα), γεγονός που ευνοεί την ανάπτυξη υψηλών συγκεντρώσεων δευτερογενών (φωτοχημικών) ρύπων στην περιφέρεια του λεκανοπέδιου.
- Η εικόνα των ροδογραμμάτων είναι διαφορετική στα αιωρούμενα σωματίδια σε σχέση με τους αέριους ρύπους και ποικίλει με το είδος του σταθμού. Σε κάθε περίπτωση οι ισχυροί άνεμοι ενδέχεται να επηρεάζουν αυξητικά τα επίπεδα της σωματιδιακής ρύπανσης ιδιαίτερα σε περιπτώσεις γειτνίασης του σταθμού με χωμάτινο έδαφος.

4. Νομοθεσία σχετικά με την ποιότητα ατμόσφαιρας

Στη χώρα μας ισχύουν νομοθετημένα όρια και στόχοι για τους ρύπους διοξείδιο του θείου, αιωρούμενα σωματίδια ($A\S_{10}$ και $A\S_{2,5}$), διοξείδιο του αζώτου, οζόν, μονοξείδιο του άνθρακα, βενζόλιο, μόλυβδο, αρσενικό, κάδμιο, νικέλιο και βενζο(α)πυρένιο σύμφωνα με αυτά που έχουν καθιερωθεί στην Ευρωπαϊκή Ένωση. Τα όρια ή οι στόχοι αυτοί αναφέρονται τόσο στην προστασία της ανθρώπινης υγείας όσο και των οικοσυστημάτων και δίνονται στο Παράρτημα IV.

Οι οδηγίες που αφορούν στην ποιότητα της ατμόσφαιρας είναι:

- Οδηγία 2008/50/EK για την ποιότητα του ατμοσφαιρικού αέρα και καθαρότερο αέρα για την Ευρώπη (ΚΥΑ ΗΠ 14122/549/E103, ΦΕΚ 488B/30.3.11).
- Οδηγία 2004/107/EK σχετικά με το αρσενικό, το κάδμιο, τον υδράργυρο, το νικέλιο και τους πολυκυκλικούς υδρογονάνθρακες στον ατμοσφαιρικό αέρα (ΚΥΑ ΗΠ 22306/1075/E103, ΦΕΚ 920B/8.6.07).

4.1 Αντιμετώπιση επεισοδίων ατμοσφαιρικής ρύπανσης

Με την Κ.Υ.Α 11824/1993 θεσμοθετείται σχέδιο δράσης για την αντιμετώπιση επεισοδίων ατμοσφαιρικής ρύπανσης και τίθενται «όρια εκτάκτων μέτρων», για τον περιορισμό της ρύπανσης σε περιπτώσεις που κυρίως λόγω εξαιρετικά δυσμενών μετεωρολογικών συνθηκών για τη διάχυση της ρύπανσης, αναμένεται αύξηση των τιμών ρύπανσης.

Τα μέτρα λαμβάνονται όταν οι μετρούμενες τιμές υπερβούν ή προσεγγίσουν τα όρια εκτάκτων μέτρων (συναγερμού) και ταυτόχρονα υπάρχει πρόβλεψη για μετεωρολογικές συνθήκες που ευνοούν τη διατήρηση ή αύξηση των τιμών ρύπανσης για τις επόμενες ή την επόμενη ημέρα.

Η παραπάνω Κ.Υ.Α τροποποιήθηκε και οι οριακές τιμές λήψης εκτάκτων μέτρων, αντικαταστάθηκαν με τις νέες οριακές τιμές που αναφέρονται στο Παράρτημα XII της Οδηγίας 2008/50/EK (ΚΥΑ ΗΠ 14122/549/E103, ΦΕΚ 488B/30.3.11).

Τα όρια λήψης εκτάκτων μέτρων που ισχύουν για την αντιμετώπιση της ατμοσφαιρικής ρύπανσης, παρουσιάζονται παρακάτω.

Πίνακας 4.1. Όρια εκτάκτων μέτρων

ΡΥΠΟΣ	ΧΡΟΝΙΚΗ ΒΑΣΗ	ΟΡΙΟ
Διοξείδιο του αζώτου (NO_2)	1 ώρα	Όριο συναγερμού: 400 $\mu\text{g}/\text{m}^3$ υπέρβαση της τιμής αυτής για 3 συνεχόμενες ώρες
Διοξείδιο του θείου (SO_2)	1 ώρα	Όριο συναγερμού: 500 $\mu\text{g}/\text{m}^3$ υπέρβαση της τιμής αυτής για 3 συνεχόμενες ώρες
Οζον (O_3)	1 ώρα	Όριο συναγερμού: 240 $\mu\text{g}/\text{m}^3$ υπέρβαση της τιμής αυτής για 3 συνεχόμενες ώρες για εφαρμογή σχεδίων δράσης

Δεδομένου ότι η κοινοτική νομοθεσία δεν διαθέτει όρια ενημέρωσης πληθυσμού και συναγερμού για τα $\text{A}_{\Sigma 10}$ και για την αντιμετώπιση της ατμοσφαιρικής ρύπανσης από αιωρούμενα σωματίδια, εκδόθηκε η ΚΥΑ 70601 (ΦΕΚ 3272B/23-12-2013), η οποία θεσμοθετεί επίπεδα συγκεντρώσεων αιωρούμενων σωματιδίων $\text{A}_{\Sigma 10}$, καθορίζει μέτρα ενημέρωσης και προστασίας του πληθυσμού καθώς και μέτρα μείωσης των εκπομπών αιωρούμενων σωματιδίων από εστίες καύσης, τη βιομηχανία-βιοτεχνία και την κυκλοφορία οχημάτων ανάλογα με τα επίπεδα των συγκεντρώσεων.

Πίνακας 4.2. Επίπεδα συγκεντρώσεων αιωρούμενων σωματιδίων ΑΣ₁₀

ΡΥΠΟΣ	ΧΡΟΝΙΚΗ ΒΑΣΗ	ΟΡΙΟ
		51-75 μg/m³ συστάσεις για ευπαθείς ομάδες πληθυσμού
		76-100 μg/m³ συστάσεις για ευπαθείς ομάδες πληθυσμού και το γενικό πληθυσμό
Αιωρούμενα Σωματίδια ΑΣ ₁₀	24 ώρες	101-150 μg/m³ συστάσεις για ευπαθείς ομάδες πληθυσμού και το γενικό πληθυσμό, μέτρα μείωσης των εκπομπών αιωρούμενων σωματιδίων από εστίες καύσης, βιομηχανικές-βιοτεχνικές δραστηριότητες και την κυκλοφορία
		>150 μg/m³ συστάσεις για ευπαθείς ομάδες πληθυσμού και το γενικό πληθυσμό, μέτρα μείωσης των εκπομπών αιωρούμενων σωματιδίων από εστίες καύσης, βιομηχανικές-βιοτεχνικές δραστηριότητες και την κυκλοφορία

5. Σύγκριση τιμών ατμοσφαιρικής ρύπανσης με όρια

5.1 Σωματίδια (ΑΣ₁₀)

- Υπερβάσεις ορίου που αφορά στη μέση ετήσια τιμή

Δεν παρατηρήθηκαν υπερβάσεις της μέσης ετήσιας οριακής τιμής σε καμία θέση μέτρησης μετά την αφαίρεση της συνεισφοράς της μεταφοράς σκόνης από απομακρυσμένες ξηρές περιοχές.

Πίνακας 5.1 Σύγκριση μέσων ετήσιων τιμών ΑΣ₁₀ σε $\mu\text{g}/\text{m}^3$ ανά έτος με την οριακή τιμή.

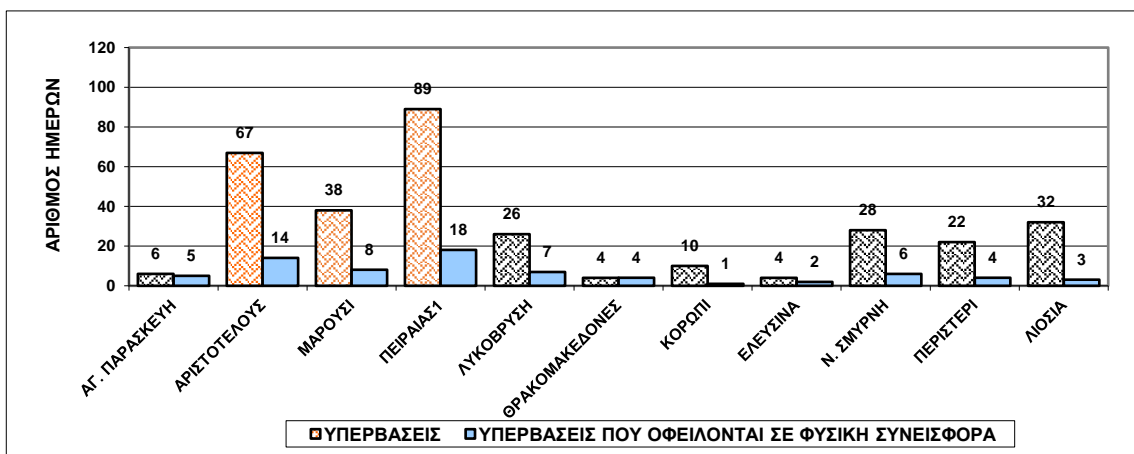
	ΠΕΙ-1	ΜΑΡ	ΛΥΚ	ΑΓ. ΠΑΡ	API	ΘΡΑ	ΚΟΡ	ΕΛΕ	ΣΜΥ	ΠΕΡ	ΛΙΟ
2001	58	55	60	47	55	31					
2002	62		62	38	54	34					
2003			58	37	56	32					
2004		29	63	40	58	33					
2005		46	53	41	53	33					
2006		48(2)	59(4)	34(5)	57(3)	27(4)					
2007	47(4)	48(2)	55(4)	28(3)	51(4)	213)					
2008	33(2)	48(3)	55(7)	28(3)	57(6)	27(3)	42(3)				
2009	35(3)	43(3)	43(5)	26(4)	49(4)	30(2)	32(4)	47(5) *			
2010	44(3)	41(3)	39(4)	28(2)	49(5)	37(4)	36(4)	48(3) *			
2011	44(1)	42(1)	30(1)	23(1)	42(1)	30(1)	22(1)	31(0) *			
2012	39(1)	31(0)	37(2)	23(1)	31(1)	27(1)	27(1)	37(1) *			
2013	37(5)	35(4)	42(5)	26(4)	40(8)	29(6)		38(9) *			
2014	34(5)	30(3)	30(5)	21(4)	34(5)						
2015	45(6)	33(7)	32(6)	21(6)	41(7)	21(6)	29(3)	27(3)	34(4)	30(4)	35(3)

Με κόκκινη γραφή σημειώνονται οι υπερβάσεις της οριακής τιμής

Στις παρενθέσεις εμφανίζεται η εκτιμώμενη συνεισφορά μεταφοράς σκόνης σε $\mu\text{g}/\text{m}^3$ από απομακρυσμένες ξηρές περιοχές (π.χ. Σαχάρα) στη μετρούμενη συγκέντρωση της μέσης τιμής ΑΣ₁₀.

*Η μέση τιμή προέκυψε από ενδεικτικές μετρήσεις ομαλά κατανεμημένες στη διάρκεια του έτους

- Υπερβάσεις ορίου που αφορά στη μέση ημερήσια τιμή



Σχήμα 5.1 Αριθμός ημερών για το 2015 με μέση ημερήσια τιμή ΑΣ₁₀ μεγαλύτερη από $50\mu\text{g}/\text{m}^3$ (Με κόκκινο χρώμα σχεδιάζονται οι περιπτώσεις στις οποίες σημειώθηκε υπέρβαση του ορίου).

Σημειώνεται ότι στην παραπάνω σύγκριση των μετρούμενων συγκεντρώσεων με τις οριακές τιμές σε ότι αφορά τη συνεισφορά των φυσικών πηγών, έχει εκτιμηθεί μόνο αυτή της σκόνης από απομακρυσμένες ξηρές περιοχές (π.χ. Σαχάρα). Από το 2011 η εκτιμώμενη συνεισφορά της σκόνης από απομακρυσμένες ξηρές περιοχές στις μετρούμενες συγκεντρώσεις, προέκυψε κάνοντας χρήση μετρήσεων από το σταθμό της Φινοκαλιάς (σταθμός EMEP), που λειτουργεί το Πανεπιστήμιο Κρήτης (Τμήμα Χημείας), και σύμφωνα με τη διαδικασία που αναφέρεται σε σχετικό έγγραφο της Ε. Επιτροπής (Commission staff working paper – SEC(2011), 208, 15.2.2011).

Από χημικό προσδιορισμό ιόντων στο κλάσμα των αιωρούμενων σωματιδίων ΑΣ₁₀, εκτιμάται ότι η συνεισφορά του θαλάσσιου άλατος δεν υπερβαίνει τα 2μg/m³.

5.2 Σωματίδια (ΑΣ_{2,5})

Δεν παρατηρήθηκαν υπερβάσεις της μέσης ετήσιας οριακής τιμής (25μg/m³) σε καμία θέση μέτρησης.

5.3 Διοξείδιο του θείου

- Υπερβάσεις του ορίου που αφορά στη μέση ωριαία τιμή

Δεν παρατηρήθηκαν υπερβάσεις της οριακής τιμής (350μg/m³) σε κανένα σταθμό μέτρησης.

- Υπερβάσεις του ορίου που αφορά στη μέση ημερήσια τιμή

Υπέρβαση της οριακής τιμής (125μg/m³), δεν παρουσιάστηκε για κανένα σταθμό μέτρησης.

5.4. Διοξείδιο του αζώτου

- Υπερβάσεις ορίου που αφορά στη μέση ετήσια τιμή

Πίνακας 5.2 Σύγκριση μέσων ετήσιων τιμών NO₂ σε μg/m³ ανά έτος με τις αντίστοιχες οριακές τιμές.

Με κόκκινη γραφή σημειώνονται οι υπερβάσεις της οριακής τιμής

- Υπερβάσεις του ορίου που αφορά στη μέση ωριαία τιμή

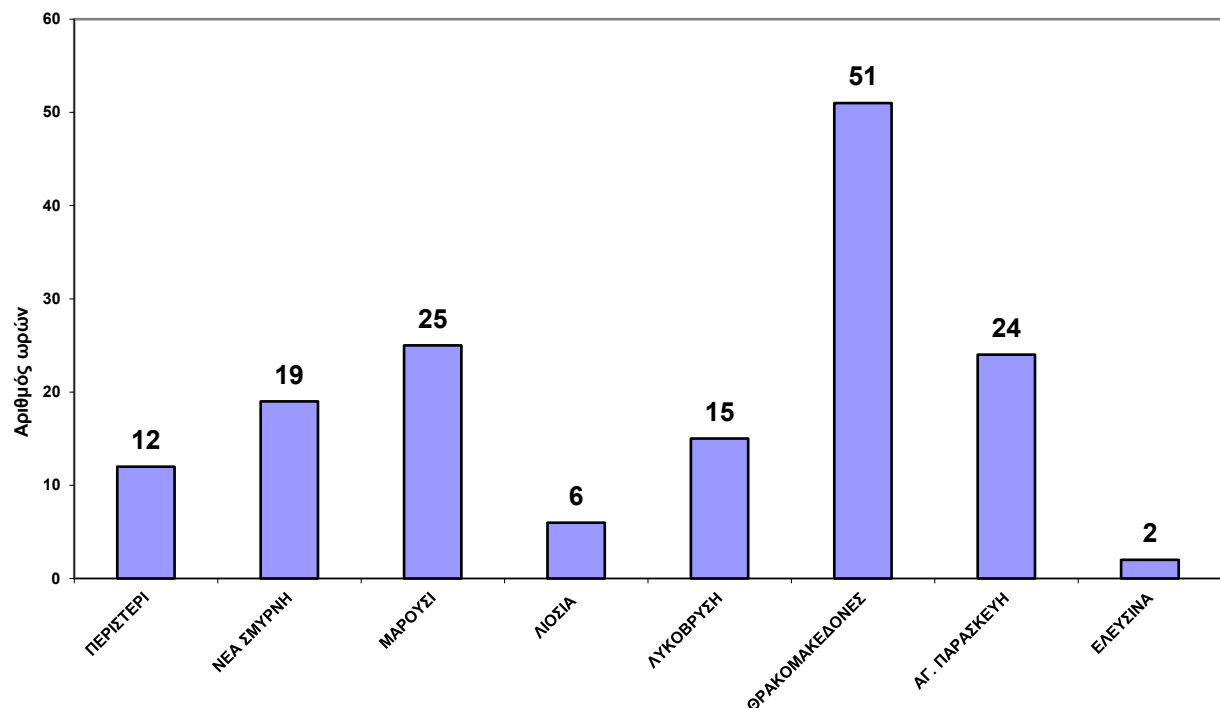
ΣΤΑΘΜΟΙ	2003	2004	2005	2006	2007	2008	2009	2010	2011	2012	2013	2014	2015
ΠΑΤΗΣΙΩΝ	83	88	89	86	100	92	91	83	73	64	52	53	67
ΑΘΗΝΑΣ	61	64	62	61	67	63	66	44	57	51	43	41	41
ΑΡΙΣΤΟΤΕΛΟΥΣ	69	70	71	68	65	49	41	48	33	54	50	52	52
ΠΕΙΡΑΙΑΣ1	54	64	66	66	72	60	71	46	44	41	36	33	52
ΓΕΩΠΟΝΙΚΗ	47	50	48	45	43	46	46	44	34	35	37	39	34
ΠΕΡΙΣΤΕΡΗ	44	49	41	41	41	40	43	36	28	26	27	26	28
ΝΕΑ ΣΜΥΡΝΗ	46	43	45	44	43	42	33	26	31	29	28	32	28
ΜΑΡΟΥΣΙ	36	43	39	35	29	28	26	22	23	28	25	25	25
ΛΙΟΣΙΑ	35	42	38	36	35	35	32	30	26	21	20	22	24
ΛΥΚΟΒΡΥΣΗ	31	32	32	30	34	31	33	22	22	21	21	24	19
ΘΡΑΚΟΜΑΚΕΔΟΝΕΣ	11	9	12	13	13	12	11	10	7	7	8	9	8
ΑΓ. ΠΑΡΑΣΚΕΥΗ	19	22	23	23	22	21	18	13	12	9	8	8	11
ΕΛΕΥΣΙΝΑ	40	37	40	38	36	33	35	37	30	30	32	31	24
ΓΟΥΔΗ	45	41	45	44	42	37	36						
ΚΟΡΩΠΙ						15	16	13	11	10	13	14	20

Δεν σημειώθηκε υπέρβαση της οριακής τιμής ($200\mu\text{g}/\text{m}^3$, να μην υπερβαίνεται περισσότερο από 18 ώρες το χρόνο) σε καμία θέση μέτρησης.

5.5 Όζον

Τα όρια και η τιμή –στόχος που ισχύουν για το όζον αναφέρονται στο Παράρτημα IV.

- Υπερβάσεις του ορίου ενημέρωσης



Σχήμα 5.2 Αριθμός ωρών για το 2015 με ωριαία τιμή όζοντος μεγαλύτερη από $180\mu\text{g}/\text{m}^3$

- Υπερβάσεις του ορίου συναγερμού

Στον επόμενο Πίνακα 5.3 δίνονται για το 2015, ανά σταθμό μέτρησης οι ημερομηνίες και ο αριθμός των ωρών στη διάρκεια των οποίων σημειώθηκε υπέρβαση του ορίου συναγερμού ($240\mu\text{g}/\text{m}^3$). Σημειώνεται ότι για τη λήψη εκτάκτων μέτρων θα πρέπει να καταγραφεί υπέρβαση του ορίου συναγερμού για τρεις συνεχόμενες ώρες.

Πίνακας 5.3 Ημερομηνίες και διάρκεια υπέρβασης σε ώρες του ορίου συναγερμού ανά σταθμό για το έτος 2015

ΣΤΑΘΜΟΣ	ΗΜΕΡΟΜΗΝΙΑ ΥΠΕΡΒΑΣΗΣ	ΔΙΑΡΚΕΙΑ ΥΠΕΡΒΑΣΗΣ (ΩΡΕΣ)
ΑΓ. ΠΑΡΑΣΚΕΥΗ	4.9.15	1
ΛΥΚΟΒΡΥΣΗ	30.7.15	1
ΜΑΡΟΥΣΙ	30.7.15	1
	31.7.15	1
ΘΡΑΚΟΜΑΚΕΔΟΝΕΣ	27.7.15	1
	28.7.15	1

Από τον Πίνακα αυτό προκύπτει ότι δεν σημειώθηκε υπέρβαση του ορίου συναγερμού για περισσότερες από τρείς συνεχόμενες ώρες.

Παρ' όλα αυτά το ΥΠΕΝ στις παραπάνω περιπτώσεις, εφαρμόζοντας τη σχετική νομοθεσία, εξέδωσε τα εξής:

- Την προβλεπόμενη ανακοίνωση του Υπουργείου Υγείας με οδηγίες και συστάσεις για την αποφυγή των μετακινήσεων ευπαθών ομάδων πληθυσμού και σωματικής άσκησης από τα παιδιά.
- Τις προβλεπόμενες συστάσεις του ΥΠΕΝ, για μείωση της χρήσης των ΙΧ αυτοκινήτων και χρησιμοποίηση των ΜΜΜ, για αποφυγή διακίνησης υγρών καυσίμων, για ανεφοδιασμό των οχημάτων με καύσιμο μετά τη δύση του ήλιου, και κατά το δυνατόν αποφυγή λειτουργίας μονάδων και επιχειρήσεων.

Στις άλλες περιπτώσεις που σημειώθηκαν υπερβάσεις του ορίου ενημέρωσης το ΥΠΕΝ εξέδωσε την προβλεπόμενη για αυτές τις περιπτώσεις ανακοίνωση για την ενημέρωση του κοινού, η οποία περιελάμβανε και την ανακοίνωση του Υπουργείου Υγείας.

- Υπερβάσεις της τιμής–στόχου για την προστασία της ανθρώπινης υγείας

Στον επόμενο Πίνακα 5.4 δίνονται για την τριετία 2013-2015, ανά σταθμό μέτρησης οι υπερβάσεις της τιμής-στόχου για την προστασία της ανθρώπινης υγείας (μέγιστη μέση τιμή κυλιόμενου οκταώρου 120μg/m³ ως μέση τιμή τριών συνεχών ετών).

Πίνακας 5.4 Αριθμός ημερών με υπέρβαση του στόχου προστασίας της υγείας

	Ν.ΣΜΥ	ΛΙΟ	ΠΕΡ	ΛΥΚ	ΘΡΑ	ΑΓ.ΠΑΡ*
2013-15	49	46	37	48	74	82

* εκτός του έτους 2014

5.6 Μονοξείδιο του άνθρακα

Για το ρύπο αυτό το 2015 δεν υπήρξε υπέρβαση της οριακής τιμής.

5.7 Βαρέα μέταλλα

Μόλυβδος (Pb), Αρσενικό (As), Κάδμιο (Cd), Νικέλιο (Ni)

Από ενδεικτικές μετρήσεις που πραγματοποιήθηκαν με 24-ωρες δειγματοληψίες αιωρούμενων σωματιδίων με δειγματολήπτες μικρού όγκου, χημική ανάλυση στο κλάσμα των ΑΣ₁₀ και προσδιορισμό της συγκέντρωσης As, Cd, Ni, Pb, στους σταθμούς

ΕΔΠΑΡ ΑΡΙΣΤΟΤΕΛΟΥΣ και Ν. ΣΜΥΡΝΗ για το 2015 δεν παρατηρήθηκαν υπερβάσεις των τιμών-στόχου σε κανένα σταθμό μέτρησης.

5.8 Βενζόλιο

Υπήρξε υπέρβαση της οριακής τιμής ($5\text{μg}/\text{m}^3$) σε μία θέση μέτρησης (ΠΑΤΗΣΙΩΝ), όπου όμως υπήρξε μικρή πληρότητα μετρήσεων.

5.9 Βενζο(α)πυρένιο

Από ενδεικτικές μετρήσεις που πραγματοποιήθηκαν με 24-ωρες δειγματοληψίες αιωρούμενων σωματιδίων με δειγματολήπτες μικρού όγκου, χημική ανάλυση στο κλάσμα των ΑΣ₁₀ και προσδιορισμό της συγκέντρωσης βενζο(α)πυρενίου, στους σταθμούς ΕΔΠΑΡ ΑΡΙΣΤΟΤΕΛΟΥΣ και Ν. ΣΜΥΡΝΗ για το 2015 δεν παρατηρήθηκαν υπερβάσεις των τιμών-στόχου σε κανένα σταθμό μέτρησης.

6. Αξιολόγηση της ατμοσφαιρικής ρύπανσης της Αθήνας

Από τις συγκρίσεις των συγκεντρώσεων των μετρούμενων ρύπων με τα ισχύοντα όρια ποιότητας ατμόσφαιρας και τις οριακές ενδεικτικές τιμές που καθορίζονται στις Κοινοτικές Οδηγίες, προκύπτουν υπερβάσεις σε ορισμένους ρύπους. **Η κατάσταση της ατμοσφαιρικής ρύπανσης ανά ρύπο, στην Αθήνα κατά το έτος 2015, ήταν:**

- **Αιωρούμενα σωματίδια ΑΣ₁₀:** Τα αιωρούμενα σωματίδια ΑΣ₁₀, παρουσιάζουν υπερβάσεις του ορίου που αφορά στη μέση ημερήσια τιμή. Επίσης, παρουσιάζουν υπέρβαση της μέσης ετήσιας οριακής τιμής σε δυο σταθμούς οφειλόμενη όμως σε φυσική συνεισφορά. Είναι από τους ρύπους που αποτελούν πρόβλημα για τα περισσότερα κράτη μέλη της Ε.Ε.
- **Αιωρούμενα σωματίδια ΑΣ_{2,5}:** Τα αιωρούμενα σωματίδια ΑΣ_{2,5}, δεν παρουσίασαν υπέρβαση της οριακής τιμής σε καμία θέση μέτρησης.
- **Διοξείδιο του θείου:** Ο ρύπος αυτός που παλαιότερα αποτελούσε έντονο πρόβλημα, έχει καταπολεμηθεί και δεν ξεπερνάει τα όρια σε καμία θέση μέτρησης.
- **Διοξείδιο του αζώτου:** Το διοξείδιο του αζώτου παρουσιάζει υπερβάσεις του ορίου της μέσης ετήσιας τιμής σε κάποιες θέσεις μέτρησης (σταθμοί κυκλοφορίας) ενώ δεν παρατηρήθηκαν υπερβάσεις του ορίου που αφορά στη μέση ωριαία τιμή.
- **Οζον:** Παρατηρήθηκαν υπερβάσεις του ορίου συναγερμού, του ορίου ενημέρωσης και του στόχου για την προστασία της υγείας, κυρίως στους περιφερειακούς σταθμούς μέτρησης. Οι υπερβάσεις αυτές οφείλονται κατά κύριο λόγο στη γεωγραφική θέση της χώρας (μεγάλη ηλιοφάνεια και υψηλές θερμοκρασίες, συνθήκες που ευνοούν το σχηματισμό του όζοντος) και παρουσιάζονται σε όλες τις νότιες χώρες της Ε.Ε.
- **Μονοξείδιο του άνθρακα:** Δεν σημειώθηκε υπέρβαση της οριακής τιμής.
- **Βαρέα Μέταλλα:** Δεν σημειώθηκαν υπερβάσεις.
- **Βενζόλιο:** Σημειώθηκε υπέρβαση της οριακής τιμής σε μια θέση μέτρησης, όπου όμως υπήρξε μικρή πληρότητα μετρήσεων.

ΠΑΡΑΡΤΗΜΑ Ι

ΚΥΡΙΟΙ ΑΤΜΟΣΦΑΙΡΙΚΟΙ ΡΥΠΟΙ:

ΠΕΡΙΓΡΑΦΗ, ΠΗΓΕΣ, ΕΠΙΛΡΑΣΕΙΣ

Ατμοσφαιρική ρύπανση

Ατμοσφαιρική ρύπανση καλείται, η παρουσία στην ατμόσφαιρα κάθε είδους ουσιών, σε συγκέντρωση ή διάρκεια που μπορούν να προκαλέσουν αρνητικές επιπτώσεις στην υγεία, στους ζωντανούς οργανισμούς και στα οικοσυστήματα και γενικά να καταστήσουν το περιβάλλον ακατάλληλο για τις επιθυμητές χρήσεις του. Κάτω από ορισμένες συνθήκες, η ατμοσφαιρική ρύπανση μπορεί να φτάσει σε επίπεδα που μπορεί να δημιουργήσουν ανεπιθύμητες συνθήκες διαβίωσης. Σε αυτήν την περίπτωση έχει επικρατήσει να λέγεται ότι έχουμε «Νέφος». Το «Νέφος» παρουσιάζεται με δύο μορφές:

Νέφος καπνομίχλης, σχηματίζεται όταν έχουμε υψηλή συγκέντρωση ρύπων, όπως μονοξειδίου του άνθρακα, διοξείδιο του θείου και αιωρούμενα σωματίδια, σε συνδυασμό με σχετικά χαμηλή θερμοκρασία και μεγάλη σχετική υγρασία.

Φωτοχημικό νέφος, παρουσιάζεται όταν έχουμε υψηλές θερμοκρασίες, μεγάλη ηλιοφάνεια σε ένταση και διάρκεια, μικρή σχετική υγρασία και υψηλή συγκέντρωση οξειδίων του αζώτου, υδρογονανθράκων, και δευτερογενών προϊόντων τους.

Για να αντιμετωπίσουμε αποτελεσματικά το πρόβλημα του νέφους πρέπει να γνωρίζουμε, πως δημιουργείται, από τι αποτελείται, τι επιδράσεις δημιουργεί στο περιβάλλον, και τι μπορούν να κάνουν πολιτεία και κοινωνία για την καταπολέμησή του.

Βασικότεροι ατμοσφαιρικοί ρύποι: περιγραφή, πηγές και επιδράσεις

Οζον

Αέριο, άχρωμο, με χαρακτηριστική οσμή, το κύριο συστατικό του φωτοχημικού νέφους στην επιφάνεια της γης (τροπόσφαιρα). Ωστόσο, στην ανώτερη ατμόσφαιρα (στρατόσφαιρα), το οζόν έχει ευεργετικό ρόλο απορροφώντας τη βλαβερή υπεριώδη ακτινοβολία του ήλιου.

Πηγές στο περιβάλλον

Το οζόν σχηματίζεται στην κατώτερη ατμόσφαιρα (τροπόσφαιρα) ως αποτέλεσμα αλυσίδας χημικών αντιδράσεων μεταξύ του οξυγόνου, πτητικών οργανικών ενώσεων (VOCs), και οξειδίων του αζώτου υπό συνθήκες έντονης ηλιακής ακτινοβολίας και υψηλών θερμοκρασιών. Πηγές των ρύπων που συντελούν στη δημιουργία του οζοντος είναι τα οχήματα, εργοστάσια, χωματερές, χημικά διαλυτικά και πολλές άλλες μικρές πηγές όπως βενζινάδικα, αγροτικός εξοπλισμός, κλπ.

Επιδράσεις

Το οζόν σε μεγάλες συγκεντρώσεις προκαλεί σημαντικά προβλήματα στην ανθρώπινη υγεία και το περιβάλλον όπου ζούμε. Προκαλεί ερεθισμό στην αναπνευστική οδό, διαταραχή της αναπνευστικής λειτουργίας, αίσθημα ξηρότητας στο λαιμό, πόνο στο στήθος, βήχα, άσθμα, φλεγμονή στους πνεύμονες, πιθανή επιδεκτικότητα σε μολύνσεις του αναπνευστικού και ερεθισμό των οφθαλμών. Το οζόν είναι επίσης ο ρύπος με τις δυσμενέστερες επιδράσεις στα φυτά, μειώνει την παραγωγή στις αγροτικές καλλιέργειες και προκαλεί ζημιά στη δασική βλάστηση.

Μονοξείδιο του άνθρακα

Αέριο, άοσμο και άχρωμο, εκπέμπεται από τις εξατμίσεις των μηχανών των βενζινοκίνητων αυτοκινήτων και πάσης φύσεως μηχανών όταν συντελείται ατελής καύση της καύσιμης ύλης.

Πηγές στο περιβάλλον

Κυρίως τα βενζινοκίνητα αυτοκίνητα. Υψηλές συγκεντρώσεις του μπορούν να βρεθούν σε κλειστά μέρη όπως χώροι στάθμευσης, ελλιπώς αεριζόμενες υπόγειες διαβάσεις, ή κατά μήκος των δρόμων σε περιόδους κυκλοφοριακής αιχμής.

Επιδράσεις

Μειώνει την ικανότητα του αίματος να μεταφέρει οξυγόνο σε βασικούς ιστούς του οργανισμού, επιδρώντας κυρίως στο καρδιοαγγειακό και νευρικό σύστημα. Χαμηλές συγκεντρώσεις του επηρεάζουν δυσμενώς άτομα με καρδιακά προβλήματα και μειώνουν τις σωματικές επιδόσεις νεαρών και υγιών ατόμων. Υψηλότερες συγκεντρώσεις προκαλούν συμπτώματα όπως ζαλάδα, πονοκεφάλους και κόπωση.

Διοξείδιο του αζώτου

Είναι αέριο με καφεκίτρινο χρώμα και ιδιάζουσα οσμή. Σε υψηλές συγκεντρώσεις δίνει το χαρακτηριστικό χρώμα του στην όψη του ουρανού στις αστικές περιοχές.

Πηγές στο περιβάλλον

Η χρήση καυσίμων κυρίως σε αυτοκίνητα αλλά και σε βιομηχανικούς καυστήρες ή σε σταθμούς ηλεκτροπαραγωγής παράγει μονοξείδιο του αζώτου. Αυτό με διάφορες χημικές αντιδράσεις που ενισχύονται με την παρουσία της ηλιακής ακτινοβολίας μετατρέπεται σε διοξείδιο του αζώτου.

Επιδράσεις

Σημαντικός ρύπος για τη δημιουργία όξινης βροχής. Σε υψηλές συγκεντρώσεις βλάπτει ανθρώπους και βλάστηση. Στα παιδιά μπορεί να προκαλέσει αναπνευστικές ασθένειες. Στους ασθματικούς προκαλεί δυσκολία στην αναπνοή.

Αιωρούμενα Σωματίδια

Υλικά σε στερεή ή υγρή φάση που μπορούν να αιωρούνται στην ατμόσφαιρα για μεγάλα χρονικά διαστήματα. Ικανά σε υψηλά επίπεδα να μεταβάλουν το μπλε χρώμα του ουρανού, λόγω σκέδασης, σε λευκό ή γκρίζο. Προερχόμενα από ερήμους (Σαχάρα, Σαχελιανή ζώνη) είναι καφεκόκκινης απόχρωσης.

Πηγές στο περιβάλλον

- Φυσικές πηγές: ηφαιστειακή δραστηριότητα, θάλασσα, σκόνη από απογυμνωμένο έδαφος, γύρη.
- Ανθρωπογενείς πηγές: βιομηχανικές δραστηριότητες, παραγωγή τσιμέντου, γύψου, χυτήρια μεταλλεύματος, αυτοκίνητα (κυρίως πετρελαιοκίνητα οχήματα και δίκυκλα), πυρκαγιές, καύση βιομάζας, αγροτικές δραστηριότητες, κατασκευές. Η συμμετοχή του αυτοκινήτου οφείλεται στην καύση του καυσίμου,

στη φθορά των ελαστικών και στην επαναιώρηση. Μικρότερα σε μέγεθος σωματίδια (δευτερογενή) δημιουργούνται στην ατμόσφαιρα από αντιδράσεις αερίων ρύπων. Τα δευτερογενή αιωρούμενα σωματίδια μπορούν να διαχωριστούν σε ανόργανα (αμμώνιο, νιτρικά και θειικά έχοντας ως πρόδρομες ουσίες την αμμωνία, τα αζωτοξείδια και τα οξείδια του θείου) και οργανικά (έχοντας ως πρόδρομους τους πτητικούς υδρογονάνθρακες). Με μια σειρά αντιδράσεων μπορούν να παραχθούν οργανικές ουσίες που είτε συσσωματώνονται και παράγουν νέα σωματίδια είτε συμπυκνώνονται πάνω σε υπάρχοντα σωματίδια. Η παραγωγή όζοντος σχετίζεται με παραγωγή δευτερογενών σωματιδίων.

Επιδράσεις

Οι επιδράσεις στην υγεία εξαρτώνται πολύ από το μέγεθος των σωματιδίων και τη σύσταση τους. Όσο μικρότερα σε μέγεθος είναι τα σωματίδια τόσο βαθύτερα εισχωρούν στο αναπνευστικό σύστημα του ανθρώπου. Γενικά σωματίδια με μέγεθος μεγαλύτερο από 10μμ δεν εισχωρούν στο αναπνευστικό σύστημα. Τα μικρότερα από 10μμ σωματίδια επηρεάζουν την αναπνοή και προκαλούν ασθένειες στο αναπνευστικό. Ομάδα υψηλού κινδύνου αποτελούν ηλικιωμένοι, παιδιά και άτομα που πάσχουν από άσθμα. Προκαλούν, επίσης, φθορές στα υλικά και μειώνουν την ορατότητα. Τα αιωρούμενα σωματίδια επηρεάζουν τις ηλεκτρικές ιδιότητες της ατμόσφαιρας συνεισφέροντας στη δημιουργία νεφών ως πυρήνας συμπύκνωσης και επιδρούν στο κλίμα μεταβάλλοντας το ισοζύγιο ακτινοβολίας στην ατμόσφαιρα.

Διοξείδιο του θείου

Άχρωμο, αέριο, άοσμο σε χαμηλές συγκεντρώσεις αλλά με έντονη ερεθιστική οσμή σε πολύ υψηλές συγκεντρώσεις.

Πηγές στο περιβάλλον

Εργοστάσια παραγωγής ενέργειας, βιομηχανίες, κεντρικές θερμάνσεις, διυλιστήρια πετρελαίου, χημικές βιομηχανίες, χαρτοβιομηχανίες.

Επιδράσεις

Επηρεάζει άτομα με αναπνευστικά προβλήματα από μόνο του ή ως συνέργεια με τα σωματίδια και προκαλεί αλλοιώσεις σε βλάστηση και μέταλλα. Μειώνει την ορατότητα και αυξάνει την οξύτητα λιμνών και ποταμών.

Μόλυβδος, Αρσενικό, Κάδμιο και Νικέλιο

Είναι μέταλλα τα οποία βρίσκονται στην ατμόσφαιρα κυρίως στα σωματίδια είτε υπό στοιχειακή μορφή είτε υπό μορφή ενώσεων (οξειδίων, θειικών ή θειούχων).

Πηγές στο περιβάλλον

➤ Φυσικές πηγές: Ο μόλυβδος, βρίσκεται στο έδαφος ως αποτέλεσμα της αποσάθρωσης βράχων, της ηφαιστειακής δραστηριότητας, των πυρκαγιών δασών κ.α. Το αρσενικό βρίσκεται σε αφθονία στις ορεινές περιοχές της Ευρώπης με τη μορφή θειούχων ενώσεων. Άλλες φυσικές πηγές αρσενικού είναι η ηφαιστειακή δραστηριότητα, από την οποία εκπέμπεται με μορφή θειούχων αλάτων ή οξειδίων. Το κάδμιο βρίσκεται στη φύση σε μικρές ποσότητες κυρίως

σε ορυκτά που περιέχουν θειούχες ενώσεις του ψευδαργύρου, μολύβδου και χαλκού. Επίσης, προέρχεται από τη βλάστηση, τις πυρκαγιές δασών και τα ηφαίστεια. Το νικέλιο, βρίσκεται σε μεγάλη αφθονία στους μετεωρίτες, στον γήινο πυρήνα και σε λιγότερη έκταση στην επιφάνεια της γης. Κυρίως βρίσκεται σε μορφή θειούχων αλάτων ή οξειδίων.

- Ανθρωπογενείς πηγές: Ο μόλυβδος, εκπέμπεται κυρίως από τις διεργασίες παραγωγής του, από την απόρριψη στο περιβάλλον προϊόντων που περιέχουν μόλυβδο και από την καύση υγρών καυσίμων και ξύλων. Το αρσενικό εκπέμπεται κυρίως υπό μορφή οξειδίων, από χυτήρια αρσενικού και από την καύση καυσίμων. Παλαιότερα η χρήση ζζανιοκτόνων ήταν ακόμη μια πηγή ρύπανσης. Το κάδμιο, εκπέμπεται από τις παραγωγικές διαδικασίες παραγωγής μολύβδου, ψευδαργύρου, χαλκού, σιδήρου ή χάλυβα με τη μορφή θειούχων ή θειικών αλάτων. Επίσης από την καύση καυσίμων υπό τη μορφή οξειδίων ή υπό στοιχειακή μορφή και από την καύση απορριμμάτων υπό τη μορφή χλωριούχων αλάτων. Το νικέλιο, εκπέμπεται από την καύση καυσίμων, από μεταλλουργικές εργασίες παραγωγής νικελίου ή χάλυβα. Το νικέλιο από τις διεργασίες αυτές εκπέμπεται ως θειικό άλας ή υπό τη μορφή οξειδίων. Χρησιμοποιείται ευρέως στη βιομηχανία ως καταλύτης.

Επιδράσεις

Ο μόλυβδος προκαλεί κυρίως αναιμία. Το αρσενικό επιδρά κυρίως στο ανώτερο αναπνευστικό και στο καρδιοαγγειακό σύστημα και προκαλεί επίσης αύξηση της αρτηριακής πιέσεως. Είναι επίσης πιθανόν να προκαλεί καρκίνο στους πνεύμονες. Το κάδμιο επιδρά κυρίως στα νεφρά. Επίσης έχει χαρακτηριστεί ως καρκινογόνο (προκαλεί καρκίνο των πνευμόνων). Το νικέλιο δεν θεωρείται καρκινογόνο. Πιθανόν να προκαλεί δερματικές παθήσεις.

Πρέπει να τονισθεί ότι τα μέταλλα αυτά επιδρούν στην υγεία κυρίως μέσω της τροφικής αλυσίδας εάν έχει μολυνθεί και λιγότερο με την εισπνοή.

Πολυκυκλικοί Αρωματικοί Υδρογονάνθρακες (ΠΑΥ)

Είναι οργανικές χημικές ενώσεις που περιέχουν άνθρακα και υδρογόνο. Αποτελούνται από τρεις ή περισσότερους συμπυκνωμένους βενζολικούς δακτυλίους και βρίσκονται κυρίως υπό μορφή ατμών ή σωματιδίων. Η χαρακτηριστικότερη ένωση της κατηγορίας αυτής είναι το βενζο(α)πυρένιο.

Πηγές στο περιβάλλον

Στις φυσικές πηγές περιλαμβάνονται πυρκαγιές και η ηφαιστειακή δραστηριότητα. Στις ανθρωπογενείς πηγές περιλαμβάνονται η βιομηχανία (παραγωγής κωκ, αλουμινίου και επεξεργασίας ξύλου), η θέρμανση στις οικίες όταν χρησιμοποιούνται ξύλα και κάρβουνο και τα οχήματα κυρίως αυτά που χρησιμοποιούν πτερέλαιο ως καύσιμο.

Επιδράσεις

Ορισμένοι από τους Πολυκυκλικούς Αρωματικούς Υδρογονάνθρακες και κυρίως το βενζο(α)πυρένιο έχουν χαρακτηριστεί ως καρκινογόνες ενώσεις.

Βενζόλιο

Χημική ένωση σε υγρή μορφή που αποτελείται από άνθρακα και υδρογόνο με χαρακτηριστική οσμή. Στην ατμόσφαιρα βρίσκεται σε μορφή ατμών επειδή το σημείο ζέσεώς του είναι χαμηλό.

Πηγές στο περιβάλλον

Το βενζόλιο εκπέμπεται στην ατμόσφαιρα κυρίως από ανθρωπογενείς δραστηριότητες. Η κύρια πηγή είναι τα βενζινοκίνητα οχήματα ενώ άλλες πηγές είναι η βιομηχανία (διυλιστήρια, χημική βιομηχανία), η διακίνηση καυσίμων και η οικιακή θέρμανση.

Επιδράσεις

Το βενζόλιο προκαλείς ασθένειες του αίματος και έχει χαρακτηριστεί ως καρκινογόνος ένωση.

ΠΑΡΑΡΤΗΜΑ II

**ΔΙΑΧΡΟΝΙΚΗ ΜΕΤΑΒΟΛΗ ΜΕΣΩΝ ΕΤΗΣΙΩΝ ΤΙΜΩΝ
ΑΤΜΟΣΦΑΙΡΙΚΗΣ ΡΥΠΑΝΣΗΣ**

Διαχρονική μεταβολή μέσων ετήσιων τιμών NO₂ (ωριαίες τιμές, µg/m³)

	ΠΑΤ	ΑΘΗ	ΑΡΙ	ΠΕΙ-1	ΓΕΩ	ΠΕΡ	ΣΜΥ	ΜΑΡ	ΛΙΟ	ΛΥΚ	ΖΩΓ	ΘΡΑ	ΓΑΛ	ΑΓ.ΠΑΡ	ΕΛΕ	ΠΕΙ-2	ΓΟΥ	ΚΟΡ
1984	105				37		23		24									
1985	113				98	34		20		14								
1986	107				92	47		29		25								
1987	105				80	57		33		24								
1988	117	89			88	61		40		34								
1989	121	87			75	66		41										
1990	120	84			76	55	71	29	42	36								
1991	110	78			67	74	64	38	35	36								
1992	118	66			75	50	58	51	31	23								
1993	106	73			69	44	46	37	36	23								
1994	102	70	93	74	39	55	51	34	30	33								
1995	95	91	98	65	50	55	48	36	34	36								
1996	95	80	81	60	43	50	49	30	24	33								
1997	95	80	77	64	46	54	51	34	24	32								
1998	99	75	70	68	47	59	52	40	26	32								
1999	91	72	63	70	49	56	52	32		36								
2000	97	71	65	75	38	52	53	35	41	36								
2001	95	79	73	68	51	40	45	35	38	38	20	11	44	19	38	50	48	
2002	92	73	71	65	51	42	47	43	41	37	20	11	50	18	40	52	49	
2003	83	61	69	54	47	44	46	36	35	31	22	11	42	19	40	54	45	
2004	88	64	70	64	50	49	43	43	42	32	19	9	47	22	37	42	41	
2005	89	62	71	66	48	41	45	39	38	32	20	12	42	23	40	50	45	
2006	86	59	68	66	45	41	44	35	36	30	19	13		23	38	47	44	
2007	100	67	65	72	43	41	43	29	35	34	17	13		22	36	51	42	
2008	92	63	49	60	46	40	42	28	35	31		12		21	33		37	15
2009	91	66	41	71	46	43	33	26	32	33		11		18	35		36	16
2010	83	44	48	46	44	36	26	22	30	22		10		13	37			13
2011	73	57	33	44	34	28	31	23	26	22		7		12	30			11
2012	64	51	54	41	35	26	29	28	21	21		7		9	30			10
2013	52	43	50	36	37	27	28	25	20	21		8		8	32			13
2014	53	41	52	33	39	26	32	25	22	24		9		8	31			14
2015	67	41	52	52	34	28	28	25	24	19		8		11	24			20

Διαχρονική μεταβολή μέσων ετήσιων τιμών ΝΟ (ωριαίες τιμές, $\mu\text{g}/\text{m}^3$)

	ΠΑΤ	ΑΘΗ	ΑΡΙ	ΠΕΙ-1	ΓΕΩ	ΠΕΡ	ΣΜΥ	ΜΑΡ	ΛΙΟ	ΛΥΚ	ΖΩΓ	ΘΡΑ	ΓΑΛ	ΑΓ.ΠΑΡ	ΕΛΕ	ΠΕΙ-2	ΓΟΥ	ΚΟΡ
1984																		
1985																		
1986																		
1987	162			70	52		25		7									
1988	182	73		67	52		30		11									
1989	205	88		65	64		41											
1990	206	80		69	88	58	29	46	10									
1991	188	117		56	57	43	29	41	10									
1992	180	85		83	50	33	38	47	10									
1993	185	92		68	38	45	25	57	15									
1994	161	82	98	69	57	64	31	40	32	26								
1995	149	89	78	53	46	64	27	26	28	22								
1996	139	88	66	59	44	61	34	20	14	18								
1997	135	97	62	56	44	35	35	24	19	19								
1998	129	111	90	49	41	44	33	27	15	23								
1999	126	77	48	48	41	40	34	25		21								
2000	124	78	62	45	43	30	36	33	35	22								
2001	122	73	59	52	34	15	24	23	21	18	3	4	22	3	8	20	31	
2002	132	75	68	54	42	22	27	35	27	23	3	6	28	3	21	24	33	
2003	110	57	53	59	29	17	19	16	16	15	4	8	15	2	15	19	25	
2004	133	64	59	56	39	26	25	28	24	20	3	10	26	3	22	25	28	
2005	137	58	55	51	31	18	21	21	19	19	3	5	19	2	14	20	24	
2006	121	57	55	51	34	18	25	20	21	18	3	5		2	15	20	24	
2007	125	56	51	53	31	15	20	13	21	16	2	5		2	20	21	22	
2008	115	54	53	47	27	16	19	21	17	16		5		2	15		23	5
2009	122	53	49	43	26	17	19	20	17	16		5		3	14		22	5
2010	109	52	45	32	19	11	14	13	12	11		5		2	13			5
2011	82	55	41	32	13	12	13	15	11	15		5		2	8			4
2012	77	42	37	35	15	7	11	13	8	14		4		3	7			4
2013	83	41	37	40	19	7	10	14	8	15		4		3	7			5
2014	82	40	35	51	16	8	12	13	9	12		4		4	8			6
2015	83	54	44	59	19	10	12	21	10	8		3		3	27			19

Διαχρονική μεταβολή μέσων ετήσιων τιμών Ο₃ (ωριαίες τιμές, µg/m³)

	ΠΑΤ	ΑΘΗ	ΠΕΙ-1	ΓΕΩ	ΠΕΡ	ΣΜΥ	ΜΑΡ	ΛΙΟ	ΛΥΚ	ΖΩΓ	ΘΡΑ	ΓΑΛ	ΑΓ.ΠΑΡ	ΕΛΕ	ΠΕΙ-2	ΚΟΡ
1985																
1986																
1987	29			49		34		64								
1988	27		50	60		42		76								
1989	31		55	52		46		94								
1990	37	57	49	61	40	43	56	80								
1991	35	37	44	59	49	58	69	72								
1992	27	31	43	28		59	60	66								
1993	27	25	45		51	61	54	68								
1994	32	36	41	53	51	55	61	62	61							
1995	25	45	50	51	58	52	64	62	57							
1996	28	45	47	49	53	48	69	58	59							
1997	25	46	52	51	49	59	61	44	45							
1998	25	51	55	44	38	57	73	72	57							
1999	22	54	54	56	44	53	76	68	68							
2000	28	26	36	49	34	57	69	44	70							
2001	20	34	24	46	58	57	49	65	55	80	90	59	93	64	59	
2002	19	40	43	24	52	68	52	64	59	74	94	53	93	59	55	
2003	20	54	53	21	62	71	49	73	57	81	89	59	97	66	56	
2004	17	39	25	40	54	39	50	58	57	73	90	56	89	47	27*	
2005	18	34	20	51	57	67	59	58	60	68	84	53	87	48	30	
2006	19	31	43	47	57	51	58	52	60	61	82		81	44	36	
2007	19	28	39	45	55	65	59	52	61	66	79		63	46	48	
2008	20	30	43	45	58	67	57	72	74		84		75	64	74	
2009	24	32	38	47	64	66	60	46	61		84		85	66	78	
2010	23	33	43	46	60	72	61	56	56		89		85	55	79	
2011	28	36	42	44	64	68	68	66	66		88		92	67	80	
2012	24	38	41	52	65	66	70	68	72		94		85	69	82	
2013	25	37	33	56	65	67	66	80	66		97		83	61	78	
2014	20	34	35	52	61	63	63	69	60		74		57	45	75	
2015	26	35	33	56	63	68	69	71	64		89		83	57	50	

*Στη μέση τιμή δεν περιλαμβάνονται οι θερινοί μήνες γιατί το όργανο ήταν εκτός λειτουργίας.

Διαχρονική μεταβολή μέσων ετήσιων τιμών SO₂ (ωριαίες τιμές, µg/m³)

	ΠΑΤ	ΑΘΗ	ΑΡΙ	ΠΕΙ-1	ΓΕΩ	ΠΕΡ	ΣΜΥ	ΜΑΡ	ΛΙΟ	ΖΩΓ	ΓΑΛ	ΑΓ.ΠΑΡ	ΕΛΕ	ΠΕΙ-2	ΚΟΡ
1984	55			50	18		18		26						
1985	48				26		20		12						
1986	47			75	17		14		25						
1987	57			58	21		18		15						
1988	82	39		61	21		19		17						
1989	87	42		59	25		22		53						
1990	80	47		50	16	27	21	17	30						
1991	67	55		73	22	35	38	14	27						
1992	87	59		71		28	49	17	36						
1993	61	53		52	33	23	33	17	17						
1994	58	45	56	45	34	30	43	14	22						
1995	44	23	33	38	22	23	36	16	22						
1996	40	29	27	40	21	19	41	17	17						
1997	36	24	34	38	17	19	26	16	19						
1998	37	27	28	43	20	21	20	14	15						
1999	21	19	19	28	18	12	17	17	12						
2000	34	15	18	26	16	11	17	14	17						
2001	24	13	8	18	11	17	13	8	17	6	20	7	15	26	
2002	32	14	7	26	6	13	13	6	14	4	19	6	12	21	
2003	43	12	7	32	5	15	22	5	14	9	20	7	17	23	
2004	21	10	17	13	10	18	17	12	10	14	27	8	13	24	
2005	22	10	27	12	10	11			10	8	17	6	14		
2006	21	10		20	10	12	11		11				14		
2007	20	9		24	9	12	13		10				9		
2008	26	5		17	7	8			9				11		
2009	14	6		14											
2010	8	6		8		7	3					3			
2011	8	11		10		8						4			
2012	7	7		10		5						6			
2013	7	7		10		5						6			
2014	8	6		14		5						5			
2015	7	7	4	11								8		4	

Διαχρονική μεταβολή μέσων ετήσιων τιμών CO (ωριαίες τιμές, mg/m³)

	ΠΑΤ	ΑΘΗ	ΑΡΙ	ΠΕΙ-1	ΓΕΩ	ΠΕΡ	ΣΜΥ	ΜΑΡ	ΛΥΚ
1984	8,9				1,3		2,0		
1985	7,7			4,2	1,4		1,9		
1986	6,0			4,4	1,1		1,8		
1987	6,7			4,3	1,3		1,6		
1988	7,4	4,1		4,7	1,8		1,7		
1989	8,4	4,9		5,2	1,8		1,9		
1990	7,4	4,2		4,1	1,5	2,8	1,8	1,7	
1991	6,8	4,9		4,0	1,4	3,9	1,9	1,7	
1992	5,5	6,7		3,2	1,2	2,6	2,0	3,4	
1993	5,2	3,6		4,3	2,1	1,7	1,9	2,4	
1994	5,4	3,5	3,8	3,5	1,9	2,7	2,0	1,6	1,1
1995	5,1	3,2	3,6	2,5	1,7	2,0	2,1	1,6	1,3
1996	4,8	3,7	2,6	2,3	1,6	1,7	1,8	1,5	1,1
1997	5,3	3,4	2,1	2,3	1,5	2,0	1,7	2,1	1,2
1998	5,6	4,2	2,3	2,4	1,7	2,1	1,8	2,0	1,3
1999	5,0	3,5	2,4	2,3	1,7	1,9	1,7	1,8	1,5
2000	4,9	2,6		2,0	1,9	1,3	1,5	2,0	1,5
2001	3,6	2,5		1,7	1,0	0,8	0,9	0,8	0,5
2002	3,3	2,5		1,6	1,2	0,8	1,0	0,9	0,6
2003	2,9	2,1		1,4	0,9	0,7	0,9	0,8	0,4
2004	2,9	2,1		1,1	0,9	0,8	0,9	0,8	0,5
2005	2,7	1,9		1,5	0,9	0,7	0,8	0,7	0,4
2006	2,5	1,9		1,3	0,9	0,7	0,9	0,7	
2007	2,4	1,7		1,2	0,9	0,7	0,7	0,7	
2008	2,0	1,6		1,0	0,8	0,6	0,6	0,6	
2009	1,5	1,5		1,0	0,8	0,6	0,6	0,7	
2010	1,6	1,3		0,9	0,6	0,6	0,8	0,6	
2011	1,6	1,4		1,0	0,6	0,5	0,7	0,6	
2012	1,5	1,3		0,8	0,6	0,5	0,6	0,6	
2013	1,4	1,3		0,8	0,7	0,6	0,7	0,6	
2014	1,5	1,2		0,9	0,6	0,4	0,6	0,5	
2015	1,3	1,2		0,8	0,6		0,5	0,5	

Διαχρονική μεταβολή μέσων ετήσιων τιμών καπνού (24ωρες τιμές, µg/m³)

	ΠΑΤ	ΑΘΗ	ΑΡΙ	ΠΕΙ-1	ΓΕΩ	ΠΕΡ	ΣΜΥ	ΜΑΡ
1984	192		123	89				
1985	172		130	84				
1986	140		91	60				
1987	165		118	71				
1988	147	64	94	63	37		35	
1989	123	45	69	37	32		26	
1990	104	44	64	42	27	34	22	21
1991	83	54	60	36	23	22	19	20
1992	86	59	63	33	30	33	23	20
1993	108	49	72	46		31	26	
1994	120	50	71	48		43	30	
1995	99	38	42	47		32	22	
1996	95	43	43	36		26	20	
1997	102	55	43	43		23	27	
1998	117	60	41	34		22	23	
1999	105	52	64			24	28	
2000	113	50	49			14	26	
2001	103	51	31			16	13	
2002	80	34	38			26	25	
2003	46	34	39			24	19	
2004	54	47	41			22	20	
2005	48	40	30				17	

Διαχρονική μεταβολή μέσων ετήσιων τιμών ΑΣ₁₀ (24ωρες τιμές, µg/m³)

	ΠΕΙ-1	ΜΑΡ	ΖΩΓ	ΛΥΚ	ΑΓ.ΠΑΡ	ΑΡΙ	ΓΟΥ	ΘΡΑ	ΚΟΡ	ΕΛΕ	ΣΜΥ	ΛΙΟ	ΠΕΡ
2001	58	55	35	60	47	55	51	31					
2002	62		35	62	38	54	53	34					
2003			34	58	37	56		32					
2004		29	33	63	40	58		33					
2005		46	29	53	41	53		33					
2006		48	26	59	34	57	34	27					
2007	47	48	30	55	28	51	38	21					
2008	33	48		55	28	57		27	42				
2009	35	43		43	26	49		30	32	47*			
2010	44	41		39	28	49		37	36	48*			
2011	44	42		30	23	42		30	22	31*			
2012	39	31		37	23	31		27	27	37*			
2013	37	35		42	26	40		29		38*			
2014	34	30		30	21	34							
2015	45	33		32	21	41		21	29	27	34	35	30

* Η μέση τιμή προέκυψε από ενδεικτικές μετρήσεις ομαλά κατανεμημένες στη διάρκεια του έτους.

Διαχρονική μεταβολή μέσων ετήσιων τιμών ΑΣ_{2,5} (24ωρες τιμές, µg/m³)

	ΠΕΙ-1	ΛΥΚ	ΓΟΥ	ΑΓ. ΠΑΡ	ΑΡΙ	ΕΛΕ	ΘΡΑ
2007	37	33		20			
2008	28	29	24	19			
2009	28	24	20	16			
2010	22	23		15			
2011	27	20		17			
2012		22		15			
2013		12*		10			
2014	20	16		11*			
2015	21	16		10	20	16	13

* Μικρή πληρότητα μετρήσεων

Διαχρονική μεταβολή μέσων ετήσιων τιμών Pb (24ωρες τιμές, µg/m³)

	ΑΡΙ	ΡΕΝ	ΜΑΡ	ΘΡΑ	ΕΛΕ	ΣΜΥ
1987	0,7	0,42				
1988	0,67	0,49				
1989	0,5	0,39				
1990	0,57	0,34				
1991	0,45	0,23				
1992	0,45					
1993	0,4	0,27				
1994						
1995	0,43					
1996	0,33	0,23				
1997	0,31	0,12				
1998	0,29	0,18				
1999	0,22	0,19				
2000						
2001	0,068		0,056	0,024		
2002	0,042		0,033		0,067	
2004	0,016					
2012					0,0005	
2013					0,0138	
2014						0,0036
2015	0,0047					0,0038

Διαχρονική μεταβολή μέσων ετήσιων τιμών C₆H₆ (ωριαίες τιμές, µg/m³)

	ΠΑΤ	ΠΕΙ-1	ΣΜΥ	ΕΛΕ
2001	14,3			
2002	13,6			
2003				
2004	7,5			
2005	6,7			
2006	5,2			
2007	5,4			
2008	5,4			
2009	5,4			
2010	4,1			
2011	3,3			
2012	1,7			
2013	1,7			
2014	2,1			
2015	5,3*	3,4*	2,4*	0,6*

* Μικρή πληρότητα μετρήσεων

Διαχρονική μεταβολή μέσων ετήσιων τιμών As (24ωρες τιμές, ng/m³)

	API	ΣΜΥ	ΕΛΕ
2004	0,8		
2012			1,2
2013			1,2
2014		0,4	
2015	0,5	0,2	

Διαχρονική μεταβολή μέσων ετήσιων τιμών Cd (24ωρες τιμές, ng/m³)

	API	ΣΜΥ	ΕΛΕ
2004	0,6		
2012			0,3
2013			0,3
2014		0,7	
2015	0,1	0,1	

Διαχρονική μεταβολή μέσων ετήσιων τιμών Ni (24ωρες τιμές, ng/m³)

	API	ΣΜΥ	ΕΛΕ
2004	9,3		
2012			4,6
2013			7,4
2014		1,7	
2015	4,1	3,1	

Διαχρονική μεταβολή μέσων ετήσιων τιμών BaP (24ωρες τιμές, ng/m³)

	API	ΣΜΥ	ΕΛΕ
2004	0,9		
2014		0,5	
2015	0,5	0,4	

ΠΑΡΑΡΤΗΜΑ III

**ΜΕΣΕΣ ΜΗΝΙΑΙΕΣ ΤΙΜΕΣ ΑΤΜΟΣΦΑΙΡΙΚΗΣ
ΡΥΠΑΝΣΗΣ ΓΙΑ ΤΟ ΕΤΟΣ 2015**

Μέσες μηνιαίες τιμές διοξειδίου του θείου (SO_2) (2015- τιμές σε $\mu\text{g}/\text{m}^3$)

Σταθμός	ΙΑΝ	ΦΕΒ	ΜΑΡ	ΑΠΡ	ΜΑΙ	ΙΟΥ	ΙΟΥ	ΑΥΓ	ΣΕΠ	ΟΚΤ	ΝΟΕ	ΔΕΚ
Πατησίων	13	16	20	3	4	5	4	2	4	3	6	8
Αθηνάς	5	4	4	7	11	11	8					
Πειραιάς-1	14	14	12	9	12	9	13	12	11	8	9	5
Ελευσίνα	6	7	5	5	10	7	10	5	6	8	11	14
Αριστοτέλους			2	3	3	3	5	5	7	3	4	6
Κορωπί			4	4	3	3	4	4	4	2	4	8

Μέσες μηνιαίες τιμές μονοξειδίου του άνθρακα (CO) (2015- τιμές σε mg/m^3)

Σταθμός	ΙΑΝ	ΦΕΒ	ΜΑΡ	ΑΠΡ	ΜΑΙ	ΙΟΥ	ΙΟΥ	ΑΥΓ	ΣΕΠ	ΟΚΤ	ΝΟΕ	ΔΕΚ
Πατησίων	2,0	1,4	1,1	0,7	0,9	0,7	0,9	0,8	1,3	1,4	2,3	2,7
Αθηνάς	1,6	1,1	1,0	0,8	0,7	0,8						2,2
Πειραιάς-1				0,4	0,6	0,7	0,7	0,5	0,7	0,7	0,9	1,5
Γεωπονική	1,1	0,7		0,4	0,4	0,4	0,3	0,2	0,4	0,5	0,8	1,1
Ν. Σμύρνη	0,9	0,6	0,4	0,3	0,4	0,3	0,4	0,3	0,4	0,4	0,8	1,3
Μαρούσι	1,2		0,2	0,3	0,4	0,3	0,3	0,2	0,3	0,2	0,7	1,1

Μέσες μηνιαίες τιμές όζοντος (O_3) (2015- τιμές σε $\mu\text{g}/\text{m}^3$)

Σταθμός	ΙΑΝ	ΦΕΒ	ΜΑΡ	ΑΠΡ	ΜΑΙ	ΙΟΥ	ΙΟΥ	ΑΥΓ	ΣΕΠ	ΟΚΤ	ΝΟΕ	ΔΕΚ
Πατησίων	14	21	28	31	27	35	48	44	24	21	12	10
Αθηνάς	25	31	35	47	51	49	52					8
Πειραιάς-1	32	36	39	48	50	53	35	38	27	19	13	9
Γεωπονική	40	53		71	68	66	73	74	59	42	37	31
Ν. Σμύρνη	44	50	55	74	80	86	104	103	78	54	51	32
Περιστέρι	39	50	57	78	85	82	76	101	74	53	36	27
Λιόσια	59	69	77	91		93	97	93	70	54	42	32
Μαρούσι	48	55	51	70	81	83	99	101	69	52	44	31
Λυκόβρυση	40	51	59	69	64	88	100	92	67	52	48	32
Θρακομακεδόνες	61		66	86	98	115	117	118	102	73	73	67
Αγ. Παρασκευή	49	55	61	90	100	103	117	122	97	71	76	59
Ελευσίνα	36	46	50	31	46	75	88	94	72	51	48	42
Κορωπί			60	67	66	63	54	50	41	32	32	29

Μέσες μηνιαίες τιμές ΑΣ_{10} (2015- τιμές σε $\mu\text{g}/\text{m}^3$)

Σταθμός	ΙΑΝ	ΦΕΒ	ΜΑΡ	ΑΠΡ	ΜΑΙ	ΙΟΥ	ΙΟΥ	ΑΥΓ	ΣΕΠ	ΟΚΤ	ΝΟΕ	ΔΕΚ
Πειραιάς-1	50	62	36	36	40	40	39	37	45	42	51	66
Λυκόβρυση	39	59	30	24	28	23	28	27	27	24	32	41
Μαρούσι	47	57	27	23	28	22	25	25	26	25	35	51
Θρακομακεδόνες	15		18	19	20	16	20	22	23	19	18	15
Αγ. Παρασκευή	19	45	19	15	18	17	22	23	22	18	17	17
Αριστοτέλους	53	61	35	30	33	28	31	33	37	34	50	59
Κορωπί				32	32	22	29	29	28	25	33	33
Ν. Σμύρνη			40	27	31	27	32	32	32	31	41	54
Λιόσια					24	26	30	29	33	27	43	63
Περιστέρι			45	24	24	21	27	26	29	24	37	60
Ελευσίνα				25	28	24	27	27	29	25	30	28

Μέσες μηνιαίες τιμές ΑΣ_{2,5} (2015- τιμές σε μg/m³)

Σταθμός	ΙΑΝ	ΦΕΒ	ΜΑΡ	ΑΠΡ	ΜΑΙ	ΙΟΥ	ΙΟΥ	ΑΥΓ	ΣΕΠ	ΟΚΤ	ΝΟΕ	ΔΕΚ
Λυκόβρυση	23	24	9	12	12	9	15	15	15	16	20	25
Πειραιάς	30	30	24	15	18	17	18	15	17	16	22	39
Αγ.Παρασκευή				8	9	7	12	12	12	10	11	12
Αριστοτέλους					13	12	17	13	14	15	28	43
Θρακομακεδόνες				12	12	12	15	13	11	12	13	13
Ελευσίνα				12	13	10	14	11	19	21	24	26

Μέσες μηνιαίες τιμές μονοξειδίου του αζώτου (ΝΟ) (2015- τιμές σε μg/m³)

Σταθμός	ΙΑΝ	ΦΕΒ	ΜΑΡ	ΑΠΡ	ΜΑΙ	ΙΟΥ	ΙΟΥ	ΑΥΓ	ΣΕΠ	ΟΚΤ	ΝΟΕ	ΔΕΚ
Πατησίων	125	85	58	59	71	57	38	32	62	74	151	189
Αθηνάς	78	47	33	27	24	26	22					142
Αριστοτέλους	80	36	24	23	23	18	15	10	27	35	99	131
Πειραιάς-1	71	48	46	36	41	39	52	46	64	67	88	111
Γεωπονική	48	20	10	9	9	7	4	2	7	13	38	52
Ν. Σμύρνη	19	9	6	6	6	4	3	2	5	8	21	59
Περιστέρι	22	8	5	4	4	3	2	1	3	5	18	38
Λιόσια	17	8	5	6	6	4	4	3	5	7	20	36
Μαρούσι	33	6	5	7	11	24	30	31	5	9	30	53
Λυκόβρυση	5		6	6	11	3	3	2	4	6	14	21
Θρακομακεδόνες	7		7	2	2	2	2	2	2	2	3	5
Αγ. Παρασκευή	4	3	3	1	2	3	4	3	4	5	2	3
Ελευσίνα	12	7	5	6	11	23	30	32	55	45	50	38
Κορωπί		7		4	4	12	19	24	40	32	31	22

Μέσες μηνιαίες τιμές διοξειδίου του αζώτου (ΝΟ₂) (2015- τιμές σε μg/m³)

Σταθμός	ΙΑΝ	ΦΕΒ	ΜΑΡ	ΑΠΡ	ΜΑΙ	ΙΟΥ	ΙΟΥ	ΑΥΓ	ΣΕΠ	ΟΚΤ	ΝΟΕ	ΔΕΚ
Πατησίων	50	45	54	79	89	77	70	62	73	61	78	66
Αθηνάς	43	38	38	38	41	43	43					47
Αριστοτέλους	63	55	53	52	56	52	52	38	49	44	56	60
Πειραιάς-1	28	27	29	46	58	65	68	61	61	49	59	62
Γεωπονική	45	40	37	39	44	35	26	18	25	24	35	37
Ν. Σμύρνη	29	22	21	25	30	25	23	18	28	29	41	45
Περιστέρι	33	24	22	29	31	22	26	16	28	24	42	41
Λιόσια	33	22	20	21	24	16	15	12	23	21	37	42
Μαρούσι	33	20	20	21	23	19	20	15	22	23	37	36
Λυκόβρυση	26		19	19	22	16	15	10	17	15	24	25
Θρακομακεδόνες	14		11	9	9	6	6	6	8	6	10	9
Αγ. Παρασκευή	8	8	7	10	14	10	12	10	12	11	14	18
Ελευσίνα	33	27	23	16	18	20	24	21	22	20	29	31
Κορωπί		14		7	12	17	21	23	25	22	31	31

Μέσες μηνιαίες τιμές βενζολίου (2015 τιμές σε μg/m³)

Σταθμός	ΙΑΝ	ΦΕΒ	ΜΑΡ	ΑΠΡ	ΜΑΙ	ΙΟΥ	ΙΟΥ	ΑΥΓ	ΣΕΠ	ΟΚΤ	ΝΟΕ	ΔΕΚ
Πατησίων							2,7	1,7	3,7	4,7	8,0	11,4
Πειραιάς-1							2,1	1,5	2,1	2,5	4,1	7,2
Ν. Σμύρνη							1,4	0,7	1,2	1,6	2,7	5,8
Ελευσίνα							0,5	0,3	0,5	0,6	1,0	1,7

ΠΑΡΑΡΤΗΜΑ IV

ΟΡΙΑ ΠΟΙΟΤΗΤΑΣ ΑΤΜΟΣΦΑΙΡΑΣ

ΤΙΜΕΣ ΟΡΙΩΝ ΓΙΑ ΤΟ ΔΙΟΞΕΙΔΙΟ ΤΟΥ ΘΕΙΟΥ

ΠΙΝΑΚΑΣ 1

Τιμές ορίων για το διοξείδιο του θείου

	Οριακή τιμή
Μέση ωριαία τιμή , να μην υπερβαίνεται περισσότερο από 24 φορές το χρόνο	350µg/m³
Μέση ημερήσια τιμή , να μην υπερβαίνεται περισσότερο από 3 φορές το χρόνο	125µg/m³
Όριο συναγερμού	Οριαία τιμή μεγαλύτερη από 500µg/m³ για τρεις συνεχόμενες ώρες

ΤΙΜΕΣ ΟΡΙΩΝ ΓΙΑ ΑΙΩΡΟΥΜΕΝΑ ΣΩΜΑΤΙΔΙΑ

ΠΙΝΑΚΑΣ 2α

Τιμές ορίων για αιωρούμενα σωματίδια ΑΣ₁₀

	Οριακή τιμή
Μέση ημερήσια τιμή , να μην υπερβαίνεται περισσότερο από 35 φορές το χρόνο	50µg/m³
Μέση ετήσια τιμή	40µg/m³
Επίπεδα συγκεντρώσεων	51-75, 76-100, 101-150, >150µg/m³ μέση 24-ωρη τιμή

ΠΙΝΑΚΑΣ 2β

Τιμές ορίων για αιωρούμενα σωματίδια ΑΣ_{2,5}

	Οριακή τιμή
Μέση ετήσια τιμή	25µg/m³

ΤΙΜΕΣ ΟΡΙΩΝ ΓΙΑ ΔΙΟΞΕΙΔΙΟ ΤΟΥ ΑΖΩΤΟΥ

ΠΙΝΑΚΑΣ 3

Τιμές ορίων για το διοξείδιο του αζώτου

	Οριακή τιμή
Μέση ωριαία τιμή , να μην υπερβαίνεται περισσότερο από 18 φορές το χρόνο	200µg/m³
Μέση ετήσια τιμή	40µg/m³

Όριο συναγερμού	Οριαία τιμή μεγαλύτερη από 400µg/m³ για τρεις συνεχόμενες ώρες
------------------------	--

ΤΙΜΕΣ ΟΡΙΩΝ ΓΙΑ ΜΟΛΥΒΔΟ

ΠΙΝΑΚΑΣ 4

Τιμές ορίων για μόλυβδο

	Οριακή τιμή
Μέση ετήσια τιμή	0,5µg/m ³

ΤΙΜΕΣ ΟΡΙΩΝ ΓΙΑ ΟΖΟΝ

ΠΙΝΑΚΑΣ 5

Τιμές ορίων για το όζον

	Οριακή τιμή
Όριο ενημέρωσης	Μέση ωριαία τιμή
Όριο συναγερμού	Μέση ωριαία τιμή
Τιμή – στόχος για την προστασία της ανθρώπινης υγείας	Μέγιστη ημερήσια μέση 8ωρη τιμή, της οποίας δεν πρέπει να σημειώνεται υπέρβαση περισσότερες από 25 φορές ανά έτος κατά μέση τιμή για διάστημα 3 ετών
	180µg/m ³
	240µg/m ³
	120µg/m ³

ΤΙΜΕΣ ΟΡΙΩΝ ΓΙΑ ΜΟΝΟΞΕΙΔΙΟ ΤΟΥ ΑΝΘΡΑΚΑ

ΠΙΝΑΚΑΣ 6

Τιμές ορίων για το μονοξείδιο του άνθρακα

	Οριακή τιμή
Μέγιστη ημερήσια οκτάωρη τιμή	10mg/m ³

ΤΙΜΕΣ ΟΡΙΩΝ ΓΙΑ ΒΕΝΖΟΛΙΟ

ΠΙΝΑΚΑΣ 7

Τιμές ορίων για το βενζόλιο

	Οριακή τιμή
Μέση ετήσια τιμή	5µg/m ³

ΤΙΜΕΣ ΣΤΟΧΟΙ ΓΙΑ ΜΕΤΑΛΛΑ ΚΑΙ BENZO(α)ΠΥΡΕΝΙΟ

ΠΙΝΑΚΑΣ 8

	Οριακή τιμή για			
	αρσενικό	κάδμιο	νικέλιο	βενζο(α)πυρένιο
Μέση ετήσια τιμή	6 ng/m ³	5 ng/m ³	20 ng/m ³	1 ng/m ³

ΠΑΡΑΡΤΗΜΑ V

**ΣΥΝΟΠΤΙΚΑ ΣΤΑΤΙΣΤΙΚΑ ΣΤΟΙΧΕΙΑ ΑΤΜΟΣΦΑΙΡΙΚΗΣ
ΡΥΠΑΝΣΗΣ ΓΙΑ ΤΟ ΕΤΟΣ 2015**

Διοξείδιο του θείου (SO_2) (τιμές σε 24ωρη βάση σε $\mu\text{g}/\text{m}^3$ - 2015)

Σταθμοί	Μέγιστη τιμή	Μέση τιμή	Διάμεση τιμή	98% τιμών < από	Αριθμός ημερησίων τιμών > από $125\mu\text{g}/\text{m}^3$	% Πληρότητα
ΠΑΤΗΣΙΩΝ	28	7	4	22	0	93,4
ΠΕΙΡΑΙΑΣ	35	11	9	24	0	92,1
ΕΛΕΥΣΙΝΑ	35	8	6	20	0	95,1
ΑΡΙΣΤΟΤΕΛΟΥΣ	19	4	3	15	0	71,6
ΚΟΡΩΠΙ	11	4	3	10	0	68,9
ΑΘΗΝΑΣ	17	7	6	14	0	45,6

Διοξείδιο του θείου (SO_2) (τιμές σε ωριαία βάση σε $\mu\text{g}/\text{m}^3$ - 2015)

Σταθμοί	Μέγιστη τιμή	Διάμεση τιμή	98% τιμών < από	Αριθμός ωριαίων τιμών > από $350\mu\text{g}/\text{m}^3$	% Πληρότητα
ΠΑΤΗΣΙΩΝ	64	4	23	0	93,4
ΠΕΙΡΑΙΑΣ	111	8	40	0	92,6
ΕΛΕΥΣΙΝΑ	372	6	29	1	95,3
ΑΡΙΣΤΟΤΕΛΟΥΣ	79	3	18	0	72,2
ΚΟΡΩΠΙ	22	3	10	0	68,9
ΑΘΗΝΑΣ	29	6	15	0	46,2

Διοξείδιο του αζώτου (NO_2) (τιμές σε ωριαία βάση σε $\mu\text{g}/\text{m}^3$ - 2015)

Σταθμοί	Μέγιστη Τιμή	Διάμεση Τιμή	98% τιμών < από	Αριθμός ωριαίων τιμών > από $200\mu\text{g}/\text{m}^3$	% Πληρότητα
ΠΑΤΗΣΙΩΝ	201	64	136	1	99,5
ΠΕΙΡΑΙΑΣ	157	49	109	0	97,3
ΑΘΗΝΑΣ	122	40	77	0	55,9
ΓΕΩΠΟΝΙΚΗ	174	28	93	0	95,5
Ν. ΣΜΥΡΝΗ	141	19	86	0	98,2
ΛΙΟΣΙΑ	131	17	75	0	99,7
ΜΑΡΟΥΣΙ	201	17	78	1	85,4
ΠΕΡΙΣΤΕΡΙ	148	22	82	0	94,0
ΑΡΙΣΤΟΤΕΛΟΥΣ	174	50	106	0	97,9
ΛΥΚΟΒΡΥΣΗ	123	13	59	0	77,0
ΘΡΑΚΟΜΑΚΕΔΟΝΕΣ	105	6	32	0	85,6
ΑΓ. ΠΑΡΑΣΚΕΥΗ	103	8	42	0	99,7
ΕΛΕΥΣΙΝΑ	105	22	60	0	96,3
ΚΟΡΩΠΙ	98	20	43	0	85,8

Μονοξείδιο του αζώτου (NO) (τιμές σε ωριαία βάση σε $\mu\text{g}/\text{m}^3$ - 2015)

Σταθμοί	Μέγιστη τιμή	Διάμεση Τιμή	98% τιμών < από	% Πληρότητα
ΠΑΤΗΣΙΩΝ	840	56	364	99,5
ΠΕΙΡΑΙΑΣ	571	40	248	97,3
ΑΘΗΝΑΣ	621	24	355	55,9
ΓΕΩΠΟΝΙΚΗ	436	3	177	95,5
Ν. ΣΜΥΡΝΗ	556	2	131	98,2
ΛΙΟΣΙΑ	504	3	91	99,7
ΜΑΡΟΥΣΙ	457	5	169	85,4
ΠΕΡΙΣΤΕΡΙ	360	2	99	94,0
ΑΡΙΣΤΟΤΕΛΟΥΣ	724	15	335	97,9
ΛΥΚΟΒΡΥΣΗ	197	2	68	77,0
ΘΡΑΚΟΜΑΚΕΔΟΝΕΣ	50	2	13	85,6
ΑΓ. ΠΑΡΑΣΚΕΥΗ	46	3	10	99,7
ΕΛΕΥΣΙΝΑ	281	16	106	96,2
ΚΟΡΩΠΙ	365	10	77	85,8

Όζον (Ο₃) (τιμές σε 8ωρη κυλιόμενη βάση σε μg/m³- 2015)

Σταθμοί	Μέγιστη Τιμή	98% τιμών < από	% τιμών > από 120μg/m ³
ΠΑΤΗΣΙΩΝ	110	81	0,0
ΠΕΙΡΑΙΑΣ	120	83	0,0
ΑΘΗΝΑΣ	122	82	0,0
ΓΕΩΠΟΝΙΚΗ	145	111	0,8
Ν. ΣΜΥΡΝΗ	175	132	5,9
ΛΙΟΣΙΑ	175	123	3,0
ΜΑΡΟΥΣΙ	175	133	6,1
ΠΕΡΙΣΤΕΡΙ	183	127	4,5
ΛΥΚΟΒΡΥΣΗ	176	127	3,7
ΘΡΑΚΟΜΑΚΕΔΟΝΕΣ	209	147	14,3
ΑΓ. ΠΑΡΑΣΚΕΥΗ	190	143	11,9
ΕΛΕΥΣΙΝΑ	158	115	1,3
ΚΟΡΩΠΙ	103	84	0,0

Όζον (Ο₃) (τιμές σε ωριαία βάση σε μg/m³- 2015)

Σταθμοί	Μέγιστη τιμή	Διάμεση τιμή	98% τιμών < από	Αριθμός ωριαίων τιμών > από 180μg/m ³	% Πληρότητα
ΠΑΤΗΣΙΩΝ	115	19	88	0	98,7
ΠΕΙΡΑΙΑΣ	137	28	95	0	95,6
ΑΘΗΝΑΣ	130	34	92	0	55,9
ΓΕΩΠΟΝΙΚΗ	172	59	122	0	88,5
Ν. ΣΜΥΡΝΗ	192	70	142	19	98,0
ΛΙΟΣΙΑ	213	76	130	6	91,3
ΜΑΡΟΥΣΙ	246	72	143	25	80,0
ΠΕΡΙΣΤΕΡΙ	221	63	133	12	98,9
ΛΥΚΟΒΡΥΣΗ	248	67	133	15	78,8
ΘΡΑΚΟΜΑΚΕΔΟΝΕΣ	263	84	153	51	91,0
ΑΓ. ΠΑΡΑΣΚΕΥΗ	248	80	148	24	95,7
ΕΛΕΥΣΙΝΑ	187	58	122	2	98,8
ΚΟΡΩΠΙ	113	48	87	0	86,1

Μονοξείδιο του άνθρακα (CO) (τιμές σε 8ωρη βάση σε mg/m³- 2015)

Σταθμοί	Μέγιστη τιμή	% τιμών > από 10mg/m ³	98% τιμών < από
ΠΑΤΗΣΙΩΝ	8,3	0,0	4,5
ΑΘΗΝΑΣ	6,3	0,0	3,9
ΠΕΙΡΑΙΑΣ	4,4	0,0	2,1
ΓΕΩΠΟΝΙΚΗ	5,3	0,0	2,1
Ν. ΣΜΥΡΝΗ	5,5	0,0	2,2
ΜΑΡΟΥΣΙ	5,2	0,0	2,6

Μονοξείδιο του άνθρακα (CO) (τιμές σε ωριαία βάση mg/m³- 2015)

Σταθμοί	Μέγιστη Τιμή	Διάμεση Τιμή	98% τιμών < από	% Πληρότητα
ΠΑΤΗΣΙΩΝ	11,1	1,0	5,1	99,6
ΑΘΗΝΑΣ	7,9	0,9	4,5	53,9
ΠΕΙΡΑΙΑΣ	5,2	0,6	2,5	74,7
ΓΕΩΠΟΝΙΚΗ	7,0	0,4	2,6	88,5
Ν. ΣΜΥΡΝΗ	7,5	0,3	2,6	95,8
ΜΑΡΟΥΣΙ	6,4	0,3	3,1	78,9

Αιωρούμενα σωματίδια (ΑΣ10) (τιμές σε 24ωρη βάση σε μg/m³- 2015)

Σταθμοί	Μέγιστη τιμή	Διάμεση Τιμή	98% τιμών < από	% Πληρότητα
ΛΥΚΟΒΡΥΣΗ	643	27	72	91,5
ΑΓ. ΠΑΡΑΣΚΕΥΗ	601	17	43	97,5
ΜΑΡΟΥΣΙ	636	26	94	93,4
ΑΡΙΣΤΟΤΕΛΟΥΣ	645	33	102	94,0
ΠΕΙΡΑΙΑΣ	646	40	97	95,1
ΘΡΑΚΟΜΑΚΕΔΟΝΕΣ	622	17	42	88,3
ΚΟΡΩΠΙ	67	28	56	71,6
ΕΛΕΥΣΙΝΑ	62	25	45	72,4
Ν. ΣΜΥΡΝΗ	124	30	82	74,0
ΛΙΟΣΙΑ	110	29	94	56,0
ΠΕΡΙΣΤΕΡΙ	115	25	95	68,0

Αιωρούμενα σωματίδια (ΑΣ_{2,5}) (τιμές σε 24ωρη βάση σε μg/m³- 2015)

Σταθμοί	Μέγιστη τιμή	Διάμεση Τιμή	98% τιμών < από	% Πληρότητα
ΛΥΚΟΒΡΥΣΗ	199	13	38	77,3
ΠΕΙΡΑΙΑΣ	180	18	58	89,9
ΑΓ. ΠΑΡΑΣΚΕΥΗ	27	10	21	73,2
ΑΡΙΣΤΟΤΕΛΟΥΣ	94	14	74	60,7
ΘΡΑΚΟΜΑΚΕΔΟΝΕΣ	24	12	23	66,7
ΕΛΕΥΣΙΝΑ	38	14	36	69,4

Βενζόλιο (C₆H₆) (τιμές σε ωριαία βάση μg/m³- 2015)

Σταθμός	Μέγιστη τιμή	Διάμεση Τιμή	98% τιμών < από	% Πληρότητα
ΠΑΤΗΣΙΩΝ	51,8	3,0	26,3	46,3
Ν. ΣΜΥΡΝΗ	35,1	1,1	15,1	45,2
ΠΕΙΡΑΙΑΣ	24,2	2,3	14,0	45,6
ΕΛΕΥΣΙΝΑ	24,1	0,4	2,8	41,2

ΠΑΡΑΡΤΗΜΑ VI

ΣΤΟΙΧΕΙΑ ΣΤΑΘΜΟΥ ΟΙΝΟΦΥΤΩΝ

Από 1^η Μαρτίου 2008 και μέχρι το 2013 λειτούργησε με ευθύνη της Δ/νσης ΚΑΠΑ/ΥΠΕΝ σταθμός παρακολούθησης ατμοσφαιρικής ρύπανσης στα Οινόφυτα, Ν. Βοιωτίας. Στο σταθμό αυτό πραγματοποιήθηκαν μετρήσεις των εξής ρύπων:

- Διοξειδίου του θείου
- Οξειδίων του αζώτου
- Όζοντος
- Αιωρούμενων σωματιδίων (ΑΣ_{10}).

Οι μέσες ετήσιες τιμές των μετρούμενων ρύπων, για τα έτη 2008 έως και 2013 φαίνονται στον παρακάτω πίνακα.

Ρύπος	Μέση ετήσια τιμή					
	2008	2009	2010	2011	2012	2013
NO₂ (ωριαίες τιμές, $\mu\text{g}/\text{m}^3$)	19	25	18	18	14	15
NO (ωριαίες τιμές, $\mu\text{g}/\text{m}^3$)	6	5	6	8	6	5
SO₂ (ωριαίες τιμές, $\mu\text{g}/\text{m}^3$)	6	14				
O₃ (ωριαίες τιμές, $\mu\text{g}/\text{m}^3$)	41	59	64	43	55	54
ΑΣ₁₀ (24ωρες τιμές $\mu\text{g}/\text{m}^3$)	43(3)	37(4)	35(4)	38(2)		

Στις παρενθέσεις εμφανίζεται η εκτιμώμενη συνεισφορά μεταφοράς σκόνης σε $\mu\text{g}/\text{m}^3$ από απομακρυσμένες ξηρές περιοχές (π.χ. Σαχάρα) στη μετρούμενη συγκέντρωση της μέσης τιμής ΑΣ_{10} .

Από τον παραπάνω πίνακα φαίνεται ότι δεν υπήρξε υπέρβαση οριακής τιμής για κανένα ρύπο.

Από το 2014 ο σταθμός δεν λειτουργεί για τεχνικούς λόγους.

ΠΑΡΑΡΤΗΜΑ VII

ΠΡΟΓΡΑΜΜΑ ΔΙΑΣΥΝΟΡΙΑΚΗΣ ΜΕΤΑΦΟΡΑΣ ΡΥΠΑΝΣΗΣ (ΣΤΟΙΧΕΙΑ ΣΤΑΘΜΟΥ ΑΛΙΑΡΤΟΥ)

Η χώρα μας συμμετέχει στο πρόγραμμα μελέτης της διασυνοριακής μεταφοράς αέριας ρύπανσης στην Ευρώπη και για το σκοπό αυτό λειτουργεί στην Αλίαρτο Βοιωτίας, σταθμός παρακολούθησης ατμοσφαιρικής ρύπανσης, στον οποίο γίνονται μετρήσεις των εξής ρύπων:

- Διοξειδίου του θείου σε ωριαία βάση
- Διοξειδίου του αζώτου σε ωριαία βάση
- Όζοντος σε ωριαία βάση
- Αιωρούμενων Σωματιδίων ($A\Sigma_{10}$)
- Αιωρούμενων Σωματιδίων ($A\Sigma_{2.5}$)

Σημειώνεται ότι μέχρι το τέλος του 1999 γίνονταν παράλληλα μετρήσεις θειϊκών ιόντων σε 24-ωρη βάση

Τα αποτελέσματα των μετρήσεων αυτών δίνονται στους παρακάτω Πίνακες.

Διαχρονική μεταβολή μέσων ετήσιων τιμών μετρουμένων ρύπων στην Αλίαρτο

	SO ₂ , μgS/m ³	NO ₂ , μgN/m ³	SO ₄ ²⁻ , μgS/m ³	O ₃ , μg/m ³	AΣ ₁₀ μg/m ³ (24-ωρες τιμές)	AΣ _{2.5} μg/m ³ (24-ωρες τιμές)
1988	3,13	4,31	1,12			
1989	3,77	5,33	2,30			
1990	4,36	4,33	4,16			
1991	7,20	2,95	6,11			
1992	7,63	3,08	9,27			
1993	4,55	3,41	8,17			
1994	4,57	3,60	5,72			
1995	4,23	3,45	2,43			
1996	8,72	3,75	6,20	63		
1997	3,94	3,35	1,92	59		
1998	2,72	3,02	1,84	62		
1999	1,26	2,83	1,23	58		
2000	2,65	4,23		38		
2001	2,50	4,26		35		
2002	5,00			36		
2003						
2004						
2005		3,65				
2006	1,5	3,77				
2007	2,5	3,79		46		
2008	2,0	3,65		48		
2009	1,5	4,26		47		
2010	1,5	3,96		59	29 (2)	
2011	1,5	3,35		58	29 (0)	
2012	2,0	2,74		52		
2013	1,5	3,0		44		
2014	1,5*	5,5*		54*		
2015	2,5	3,65		56	32(3)	15

* Πολύ μικρή πληρότητα

Στην παρένθεση εμφανίζεται η εκτιμώμενη συνεισφορά μεταφοράς σκόνης σε μg/m³ από απομακρυσμένες ξηρές περιοχές (π.χ. Σαχάρα) στη μετρούμενη συγκέντρωση της μέσης τιμής AΣ₁₀

Μέσες μηνιαίες τιμές όζοντος ($\mu\text{g}/\text{m}^3$) στην Αλίαρτο-2015

ΙΑΝ	ΦΕΒ	ΜΑΡ	ΑΠΡ	ΜΑΙ	ΙΟΥΝΙΟΥ	ΙΟΥΛΙΟΥ	ΑΥΓ	ΣΕΠ	ΟΚΤ	ΝΟΕ	ΔΕΚ
41	47	42	68	73	71	77	80	68	51	43	20

Μέσες μηνιαίες τιμές διοξειδίου του αζώτου ($\mu\text{gN}/\text{m}^3$) στην Αλίαρτο-2015

ΙΑΝ	ΦΕΒ	ΜΑΡ	ΑΠΡ	ΜΑΙ	ΙΟΥΝΙΟΥ	ΙΟΥΛΙΟΥ	ΑΥΓ	ΣΕΠ	ΟΚΤ	ΝΟΕ	ΔΕΚ
		1,8	1,8	3,0	2,4	3,3	4,3	4,3	3,0	5,5	6,1

Μέσες μηνιαίες τιμές διοξειδίου του θείου($\mu\text{gS}/\text{m}^3$) στην Αλίαρτο-2015

ΙΑΝ	ΦΕΒ	ΜΑΡ	ΑΠΡ	ΜΑΙ	ΙΟΥΝΙΟΥ	ΙΟΥΛΙΟΥ	ΑΥΓ	ΣΕΠ	ΟΚΤ	ΝΟΕ	ΔΕΚ
		2,0	1,0	1,5	2,0	1,0	4,0	5,0	3,0	2,5	3,0

Μέσες μηνιαίες τιμές $A\Sigma_{10}$ ($\mu\text{g}/\text{m}^3$) στην Αλίαρτο-2015

ΙΑΝ	ΦΕΒ	ΜΑΡ	ΑΠΡ	ΜΑΙ	ΙΟΥΝΙΟΥ	ΙΟΥΛΙΟΥ	ΑΥΓ	ΣΕΠ	ΟΚΤ	ΝΟΕ	ΔΕΚ
		32	28	29	23	32	34	40	26	41	49

Μέσες μηνιαίες τιμές $A\Sigma_{2.5}$ ($\mu\text{g}/\text{m}^3$) στην Αλίαρτο-2015

ΙΑΝ	ΦΕΒ	ΜΑΡ	ΑΠΡ	ΜΑΙ	ΙΟΥΝΙΟΥ	ΙΟΥΛΙΟΥ	ΑΥΓ	ΣΕΠ	ΟΚΤ	ΝΟΕ	ΔΕΚ
		20	9	9	9	14	13	12	13	25	38

Συνοπτικά στατιστικά στοιχεία στην Αλίαρτο-2015

Ρύπος	Μέγιστη τιμή	Διάμεση τιμή	98% τιμών < από	% Πληρότητα
$O_3(\mu\text{g}/\text{m}^3)$	150	51	121	94,3
$NO_2(\mu\text{gN}/\text{m}^3)$	22,5	2,4	13,8	78,2
$SO_2(\mu\text{gS}/\text{m}^3)$	109,5	2	11	77,9

ΠΑΡΑΡΤΗΜΑ VIII

**Σταθμοί μέτρησης ατμοσφαιρικής ρύπανσης του ΕΔΠΑΡ που
την ευθύνη λειτουργία τους έχουν οι Περιφέρειες**

Το ΥΠΑΠΕΝ, ως ΥΠΕΧΩΔΕ στα τέλη του 2000, εγκατέστησε το Εθνικό Δίκτυο Παρακολούθησης της Ατμοσφαιρικής Ρύπανσης (ΕΔΠΑΡ) με προμήθεια νέων οργάνων στο πλαίσιο έργου ενταγμένου στο Β ΚΠΣ-ΕΠΠΕΡ. Την ευθύνη της λειτουργίας των σταθμών είχαν οι κατά τόπους Περιφέρειες (πλην της Περιφέρειας Αττικής) σύμφωνα με το Ν. 2647/1998 (ΦΕΚ 237/A). (Σημειώνεται ότι ο σταθμός ΙΩΑΝΝΙΝΑ εγκαταστάθηκε το 2009 από την τότε οικεία Περιφέρεια).

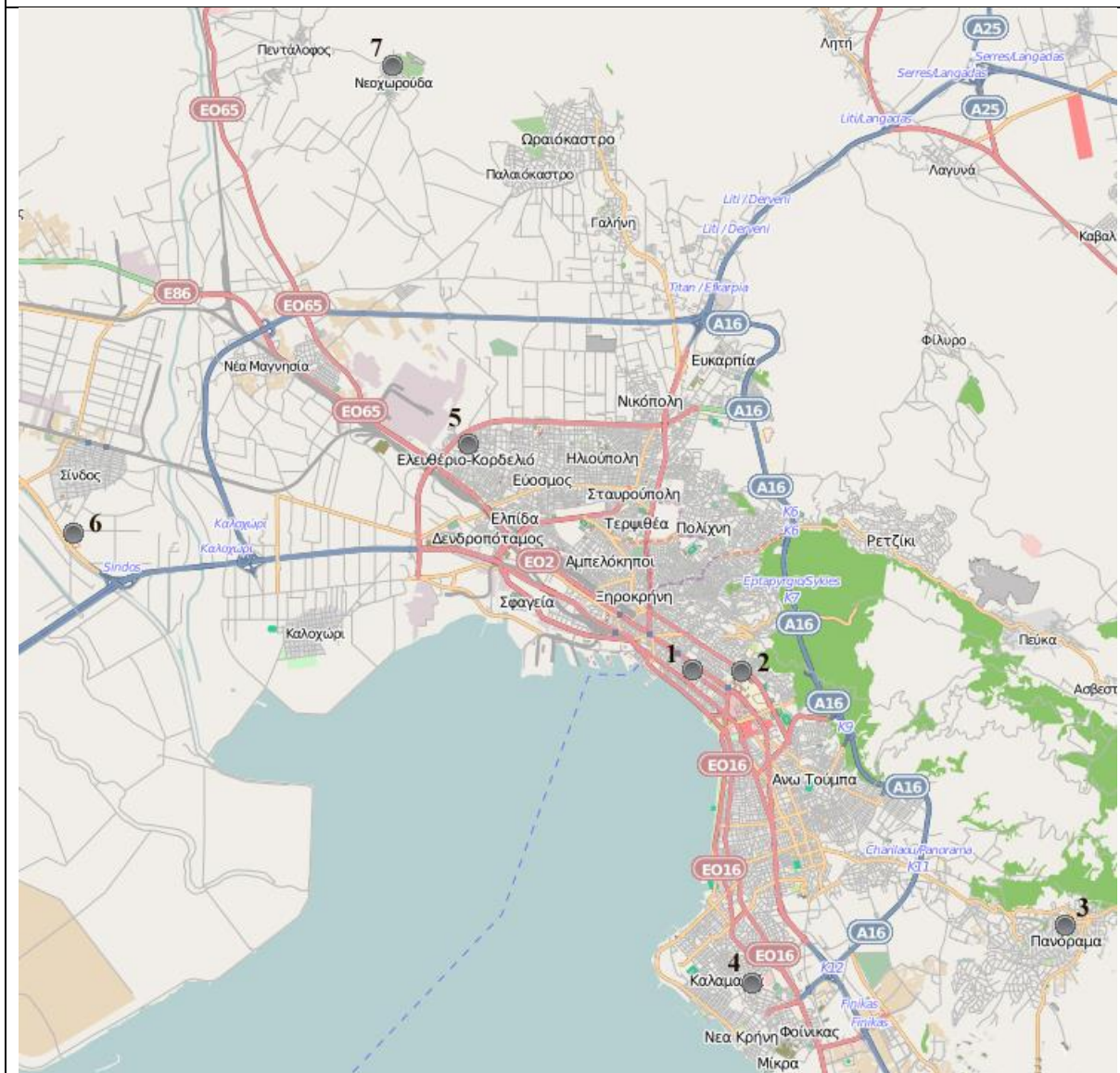
Με την εφαρμογή του Προγράμματος Καλλικράτης με το Ν. 3852/2010 (ΦΕΚ 87/A) και της ΚΥΑ ΗΠ 14122/549/E.103/2011 (ΦΕΚ 488/B) οι αρμοδιότητες που αφορούν στην εγκατάσταση και τη λειτουργία σταθμών παρακολούθησης της ποιότητας της ατμόσφαιρας μεταβιβάστηκαν από τις Αποκεντρωμένες Διοικήσεις στις Περιφέρειες της χώρας.

Πίνακας 1 Χαρακτηριστικά σταθμών μέτρησης ατμοσφαιρικής ρύπανσης του ΕΔΠΑΡ που την ευθύνη λειτουργίας τους έχουν οι Περιφέρειες

Σταθμός				Χαρακτηρισμός	Μετρούμενοι ρύποι									
Θέση			Ονομα		Γεωγρ. Μήκος	Γεωγρ. Πλάτος	Υψόμετρο (m -asl)	SO ₂	NOx	CO	O ₃	AΣ ₁₀	AΣ _{2,5}	C ₆ H ₆
Περ. Κ. ΜΑΚΕΔΟΝΙΑΣ														
ΑΓ. ΣΟΦΙΑ (ΑΓ. ΣΟΦ.) [1]	22° 56' 43'',04	40° 38' 01'',58	27	ΑΣΤΙΚΟΣ ΚΥΚΛΟΦΟΡΙΑΣ	v	v	v	v	v					
Α.Π.Θ. [2]	22° 57' 24'',13	40° 38' 00'',86	55	ΑΣΤΙΚΟΣ ΥΠΟΒΑΘΡΟΥ	v	v		v						
ΠΑΝΟΡΑΜΑ (ΠΑΝ) [3]	23° 01' 54'',05	40° 35' 20'',15	363	ΠΕΡΙΑΣΤΙΚΟΣ ΥΠΟΒΑΘΡΟΥ		v		v	v					
ΚΑΛΑΜΑΡΙΑ (ΚΑΛ) [4]	22° 57' 33'',49	40° 34' 44'',10	60	ΠΕΡΙΑΣΤΙΚΟΣ ΥΠΟΒΑΘΡΟΥ	v	v	v	v	v					
ΚΟΡΔΕΛΙΟ (ΚΟΡ) [5]	22° 53' 36'',38	40° 40' 24'',77	30	ΑΣΤΙΚΟΣ-ΒΙΟΜΗΧΑΝΙΚΟΣ	v	v	v	v	v					
ΣΙΝΔΟΣ (ΣΙΝ) [6]	22° 48' 08'',52	40° 39' 28'',23	14	ΑΣΤΙΚΟΣ-ΒΙΟΜΗΧΑΝΙΚΟΣ	v	v	v	v	v					
ΝΕΟΧΩΡΟΥΔΑ (ΝΕΟΧ) [7]	22° 52' 34'',43	40° 44' 23'',43	229	ΠΕΡΙΑΣΤΙΚΟΣ ΥΠΟΒΑΘΡΟΥ		v		v						
Περ. ΔΥΤ. ΕΛΛΑΔΑΣ														
ΠΑΤΡΑ-1 (ΠΑΤ -1)	21° 44' 18'',35	38° 15' 11'',15	16	ΑΣΤΙΚΟΣ ΚΥΚΛΟΦΟΡΙΑΣ	v	v	v	v	v					
ΠΑΤΡΑ-2 (ΠΑΤ-2)	21° 44' 09'',23	38° 14' 45'',51	19	ΑΣΤΙΚΟΣ ΚΥΚΛΟΦΟΡΙΑΣ	v	v	v		v					
Περ. ΘΕΣΣΑΛΙΑΣ														
ΒΟΛΟΣ (ΒΟΛ)	22° 56' 35''	39° 21' 59''	31	ΑΣΤΙΚΟΣ ΥΠΟΒΑΘΡΟΥ	v	v	v	v	v					
ΛΑΡΙΣΑ (ΛΑΡ)	22° 27' 12''	39° 40' 03''	15	ΑΣΤΙΚΟΣ ΚΥΚΛΟΦΟΡΙΑΣ	v	v	v	v	v					
Περ. ΚΡΗΤΗΣ														
ΗΡΑΚΛΕΙΟ (ΗΡΑΚ)	25° 04' 48''	35° 19' 57''	10	ΑΣΤΙΚΟΣ ΚΥΚΛΟΦΟΡΙΑΣ	v	v	v	v	v					
Περ. ΗΠΕΙΡΟΥ														
ΙΩΑΝΝΙΝΑ (ΙΩΑΝ)	20° 51' 00''	39° 37' 12''	485	ΑΣΤΙΚΟΣ ΥΠΟΒΑΘΡΟΥ		v		v	v	v	v	v		

Χάρτης σταθμών μέτρησης ατμοσφαιρικής ρύπανσης του ΕΔΠΑΡ στην Περιφέρεια Κ. Μακεδονίας

[Πηγή: www.geodata.gov.gr]



Σύγκριση τιμών ατμοσφαιρικής ρύπανσης με όρια και διαχρονική εξέλιξη τιμών

1. Αιωρούμενα Σωματίδια (ΑΣ_{10})

- Υπερβάσεις ορίου που αφορά στη μέση ετήσια τιμή και διαχρονική εξέλιξη

Πίνακας 2: Σύγκριση μέσων ετήσιων τιμών ΑΣ_{10} σε $\mu\text{g}/\text{m}^3$ ανά έτος με την οριακή τιμή.

	ΑΓ. ΣΟΦ	ΚΟΡ	ΠΑΝ	ΚΑΛ	ΣΙΝ	ΝΕΟΧ	ΠΑΤ- 1	ΠΑΤ- 2	ΒΟΛ	ΛΑΡ	ΗΡΑΚ	ΙΩΑΝ
2001	64	69	37		51		52	48	45	52	42	
2002	71	67	34		48		52	50	49	51	42	
2003	64	65	33		51		45	51	49		62	
2004		64	32		43		42	44	54		57	
2005		61			44		38		50		39	
2006		68(0)	30		50(0)				55 (3)			
2007	43(2)	57(1)	26	47(2)	49(1)		44(2)	46(3)	44 (2)	43(2)		
2008	56(4)	51 (2)		35	47(2)		44(3)	48 (4)	42 (3)	43(1)		40
2009	43(2)	44(3)	23*(0)	31(1)	40*(2)		36(2)	42(3)	36(2)	31*(0)		
2010	46(3)	42(3)		28(1)			37(3)	42(5)	37(4)	24*(3)		28(3)
2011	41(1)	37(1)	37(0)	34*(0)	45(0)		24*(1)	31(1)	35*(1)	33(0)		
2012	41(1)	33(0)	32(0)	32(1)	41(1)				31(1)	44**(1)		
2013	22(3)	42(9)	23 (5)	31(4)	26(3)	19(4)	39(6)	40(5)	33(5)	38(4)		
2014	25(4)	42**(5)	23*(4)		28*(4)	18*(4)		39(5)	31(5)	33(5)		30(4)
2015	22(3)	27(4)	26*(4)		32(4)			39(6)	32(5)	38(4)		37(4)

*Μικρή πληρότητα μετρήσεων

**Δεν μπορεί να αξιολογηθεί καθώς αφορά μικρή πληρότητα μη ομοιόμορφα κατανεμημένη εντός τους έτους

Με κόκκινη γραφή σημειώνονται οι υπερβάσεις της οριακής τιμής

Στις παρενθέσεις εμφανίζεται η εκτιμώμενη συνεισφορά μεταφοράς σκόνης σε $\mu\text{g}/\text{m}^3$ από απομακρυσμένες ξηρές περιοχές (π.χ. Σαχάρα) στη μετρούμενη συγκέντρωση της μέσης τιμής ΑΣ_{10} .

Στον παραπάνω πίνακα παρουσιάζεται η διαχρονική μεταβολή των μέσων ετήσιων συγκεντρώσεων ΑΣ_{10} για τα έτη 2001 έως 2015.

Είναι εμφανές από τη διαχρονική αυτή μεταβολή ότι ανάλογα με τη θέση μέτρησης παρατηρείται **τάση μείωσης ή σταθεροποίησης των συγκεντρώσεων**, παρόλη την αύξηση των δραστηριοτήτων που συμβάλλουν στη δημιουργία σωματιδιακής ρύπανσης.

- Υπερβάσεις ορίου που αφορούν στη μέση ημερήσια τιμή

Στον Πίνακα 3 δίνεται ο αριθμός ημερών για το 2015 με μέση ημερήσια τιμή ΑΣ_{10} μεγαλύτερη από $50 \mu\text{g}/\text{m}^3$ (Με κόκκινο χρώμα σχεδιάζονται οι περιπτώσεις στις οποίες σημειώθηκε υπέρβαση του ορίου.)

Πίνακας 3

	ΑΓ.ΣΟΦ	ΚΟΡ	ΠΑΝ	ΣΙΝ	ΠΑΤ-2	ΒΟΛ	ΛΑΡ	ΙΩΑΝ
2015	14(5)	20(4)	8(2)	22(3)	55(21)	24(9)	44(5)	67(4)

Στις παρενθέσεις εμφανίζεται η εκπιμώμενη συνεισφορά μεταφοράς σκόνης σε $\mu\text{g}/\text{m}^3$ από απομακρυσμένες ξηρές περιοχές.

2. Διοξείδιο του θείου

- Υπερβάσεις του ορίου που αφορά στη μέση ωριαία τιμή

Δεν παρατηρήθηκαν υπερβάσεις της οριακής τιμής ($350\mu\text{g}/\text{m}^3$) σε κανένα σταθμό μέτρησης το 2015.

- Υπερβάσεις του ορίου που αφορά στη μέση ημερήσια τιμή

Δεν παρατηρήθηκαν υπερβάσεις της οριακής τιμής ($125\mu\text{g}/\text{m}^3$) σε κανένα σταθμό μέτρησης το 2015.

- Διαχρονική εξέλιξη μέσων ετήσιων συγκεντρώσεων

Πίνακας 4 Μέσες ετήσιες τιμές SO_2 σε $\mu\text{g}/\text{m}^3$ ανά έτος.

	ΑΓ.ΣΟΦ	ΚΟΡ	ΚΑΛ	ΣΙΝ	Α.Π.Θ.	ΠΑΤ-1	ΠΑΤ-2	ΒΟΛ	ΛΑΡ	ΗΡΑΚ
2001	29	33	21	15	21	21	18	10	36	10
2002	23	22	17	11	14	19	16	10	41	7
2003	25	19	15	10	16	15	20	9		7
2004	17			10	17	22		12		
2005									19	
2006		9		11					5	
2007		17			11	8	9	4		
2008	4	10		4	10	11	5			
2009					10	15	3			
2010		6		3		14	5			
2011		6		3		38	9			
2012		7		4						
2013		4		4		13	8			
2014		4		5		19	8			
2015	4	12		9						

3. Διοξείδιο του αζώτου

- Υπερβάσεις ορίου που αφορά στη μέση ετήσια τιμή

Δεν παρατηρήθηκαν υπερβάσεις της ενδεικτικής οριακής τιμής ($40\mu\text{g}/\text{m}^3$) σε κανένα σταθμό μέτρησης το 2015.

- Υπερβάσεις του ορίου που αφορά στη μέση ωριαία τιμή

Δεν παρατηρήθηκαν υπερβάσεις της οριακής τιμής ($200\mu\text{g}/\text{m}^3$) σε κανένα σταθμό μέτρησης το 2015.

- Διαχρονική εξέλιξη μέσων ετήσιων συγκεντρώσεων

Πίνακας 5 Μέσες ετήσιες τιμές NO₂ σε μg/m³ ανά έτος.

	ΑΓ.ΣΟΦ	ΚΟΡ	ΚΑΛ	ΣΙΝ	ΠΑΝ	ΝΕΟΧ	Α.Π.Θ.	ΠΑΤ -1	ΠΑΤ -2	ΒΟΛ	ΛΑΡ	ΗΡΑΚ	ΙΩΑΝ
2001	58	37	35	22	12	8	43	46	63	52	17	15	
2002	59	40	39	23	14	9	44	57	64	35	8		
2003	56	42	35	22	12	9	39	52		20			
2004	54	44	33			10		48		22			
2005		34								28			
2006		39	36	25		8	42			24			
2007	54	41	37	27	14	10	40	48	50				
2008	50	34	48	29	15	11	41	41	46		29		18
2009	40	33	32	22	10	8	35	31	42		22		17
2010	27	30*	41*	18	8		34	25	36				15
2011	23	33		19	11	6	29	20			21		
2012	24	30		17	8	6	28				34*		
2013	21	26		15	6	7	24	34	37		31*		
2014	22			16	4	8		34	36				
2015	19	22		18	13	7	40	34	37				

*Μικρή πληρότητα μετρήσεων

4. Όζον

- Υπερβάσεις του ορίου ενημέρωσης

Δεν παρατηρήθηκαν υπερβάσεις του ορίου ενημέρωσης του κοινού (180μg/m³) σε κανένα σταθμό μέτρησης το 2015.

- Υπερβάσεις του ορίου συναγερμού

Δεν παρατηρήθηκαν υπερβάσεις του ορίου συναγερμού (240μg/m³) σε κανένα σταθμό μέτρησης το 2015.

- Υπερβάσεις του στόχου προστασίας της υγείας

Παρατηρήθηκαν υπερβάσεις του στόχου προστασίας της υγείας (μέγιστη μέση τιμή κυλιόμενου οκταώρου 120μg/m³ ως μέση τιμή τριών συνεχών ετών)

Πίνακας 6 Αριθμός ημερών με υπέρβαση του στόχου προστασίας της υγείας (Μόνο περιπτώσεις στις οποίες σημειώθηκε υπέρβαση του ορίου.)

	ΠΑΝ	ΣΙΝΔΟΣ
2013-15	53	42*

* Εκτός 2014

- Διαχρονική εξέλιξη μέσων ετήσιων συγκεντρώσεων

Πίνακας 7 Μέσες ετήσιες τιμές O₃ σε μg/m³ ανά έτος.

	ΑΓ. ΣΟΦ	ΚΟΡ	ΚΑΛ	ΣΙΝ	ΠΑΝ	ΝΕΟΧ	Α.Π.Θ.	ΠΑΤ-1	ΒΟΛ	ΛΑΡ	ΗΡΑΚ	ΙΩΑΝ
2001	44	58	54	60	95	87	57	50	59	67	77	
2002	38	52	51	58	96	79	47	40	53	33	76	
2003	40	47	42	60	101	92	54	47	56		86	
2004	43		48	48	71	83	50		51			
2005			24	53	55	54	48		58			
2006		37		64	57	64	47		43			
2007	16	44		52		75	28	30	39	29		
2008	47	72		48	97	90	48	43	42	55		
2009	33	64		52	104	78	52	65		39		29
2010	48	68		40	82		41	72				36
2011	40	96*		56	94	82	35	80		33		18
2012	55			52	96	76	60			27*		
2013	48	48		68	82	78	61	69				
2014	36	37			68	54		55		32		
2015	43	61		71	77	70*	55	54				

*Μικρή πληρότητα μετρήσεων

5. Μονοξείδιο του άνθρακα

Για το ρύπο αυτό το 2015 δεν υπήρξε υπέρβαση του ορίου.

- Διαχρονική εξέλιξη μέσων ετήσιων συγκεντρώσεων

Πίνακας 8 Μέσες ετήσιες τιμές CO σε mg/m³ ανά έτος.

	ΑΓ. ΣΟΦ	ΚΟΡ	ΚΑΛ	ΣΙΝ	ΠΑΤ-1	ΠΑΤ-2	ΒΟΛ	ΛΑΡ	ΗΡΑΚ
2001	1,6	0,7	0,6	0,5	1,1	1,5	0,9	0,7	0,4
2002	1,7	0,7	0,6	0,4	1,1	1,4	0,6	0,4	0,4
2003	1,5	0,7	0,6	0,4	1	1	0,4		0,5
2004		0,7	0,6		0,7		0,3		
2005		0,7	0,6				0,3		
2006				0,3			0,3		
2007	1,5			0,4	0,8	0,8	0,4	0,5	
2008	1,1	1	0,5	0,3	0,7	0,8	0,2	0,3	
2009	1	1,1	0,5	0,4	0,7	0,8		0,3	
2010	1	1,0	0,4	0,4	0,6	0,7		0,3	
2011	0,9	1,0	0,5	0,3	0,6	0,6		0,3	
2012	0,8	0,9	0,5	0,3				0,4	
2013	0,4	0,9	0,4	0,3	0,6	0,6		0,3	
2014	0,3	0,7	0,4		0,6	0,6		0,2	
2015		0,9	0,3	0,1	0,6	0,6		0,4	

6. Αιωρούμενα Σωματίδια (ΑΣ_{2,5})

Από ενδεικτικές μετρήσεις που πραγματοποιήθηκαν με 24-ωρες δειγματοληψίες αιωρούμενων σωματιδίων με δειγματολήπτες μικρού όγκου στους σταθμούς ΕΔΠΑΡ ΑΓ. ΣΟΦΙΑ, ΠΑΤΡΑ-1 και ΒΟΛΟ για το 2015 δεν παρατηρήθηκαν υπερβάσεις της οριακής τιμής σε κανένα σταθμό μέτρησης.

7. Μέταλλα

Από ενδεικτικές μετρήσεις που πραγματοποιήθηκαν με 24-ωρες δειγματοληψίες αιωρούμενων σωματιδίων με δειγματολήπτες μικρού όγκου, χημική ανάλυση στο κλάσμα των ΑΣ₁₀ και προσδιορισμό της συγκέντρωσης As, Cd, Ni, Pb, στους σταθμούς ΕΔΠΑΡ ΑΓ. ΣΟΦΙΑ, ΣΙΝΔΟ, ΠΑΤΡΑ-1, ΛΑΡΙΣΑ, ΒΟΛΟ και ΙΩΑΝΝΙΝΑ για το 2015 δεν παρατηρήθηκαν υπερβάσεις των τιμών-στόχου σε κανένα σταθμό μέτρησης.

8. Βενζόλιο

Από ενδεικτικές μετρήσεις που πραγματοποιήθηκαν με παθητικούς δειγματολήπτες, χημική ανάλυση και προσδιορισμό της συγκέντρωσης στους σταθμούς ΕΔΠΑΡ ΑΓ. ΣΟΦΙΑ, ΚΟΡΔΕΛΙΟ, ΠΑΤΡΑ-1, ΠΑΤΡΑ-2, ΛΑΡΙΣΑ, ΒΟΛΟ και ΙΩΑΝΝΙΝΑ για το 2015 δεν παρατηρήθηκαν υπερβάσεις της οριακής τιμής σε κανένα σταθμό μέτρησης.

9. Βενζο(a)πυρένιο

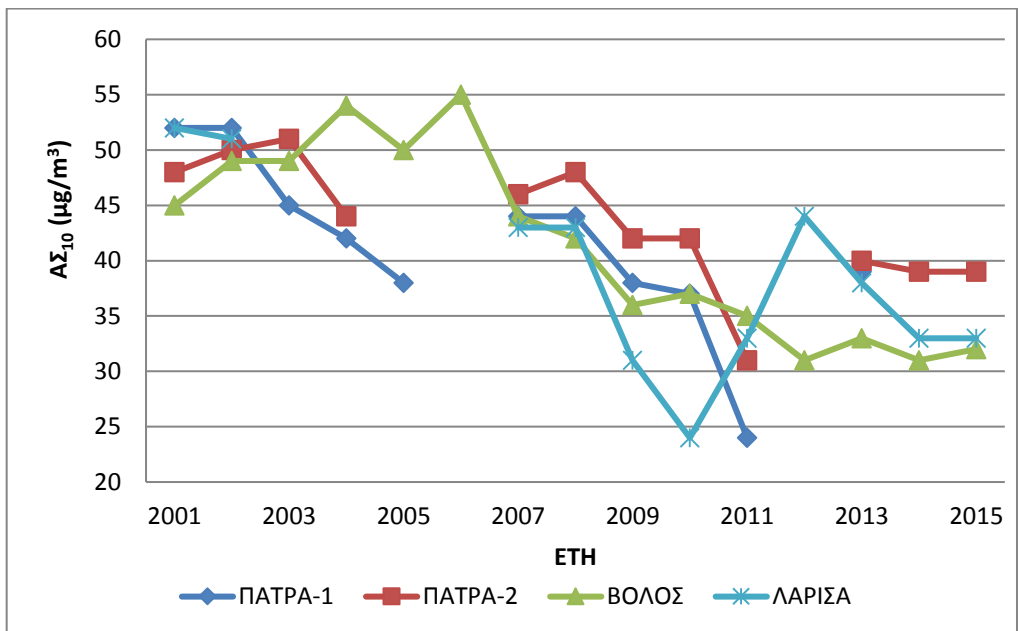
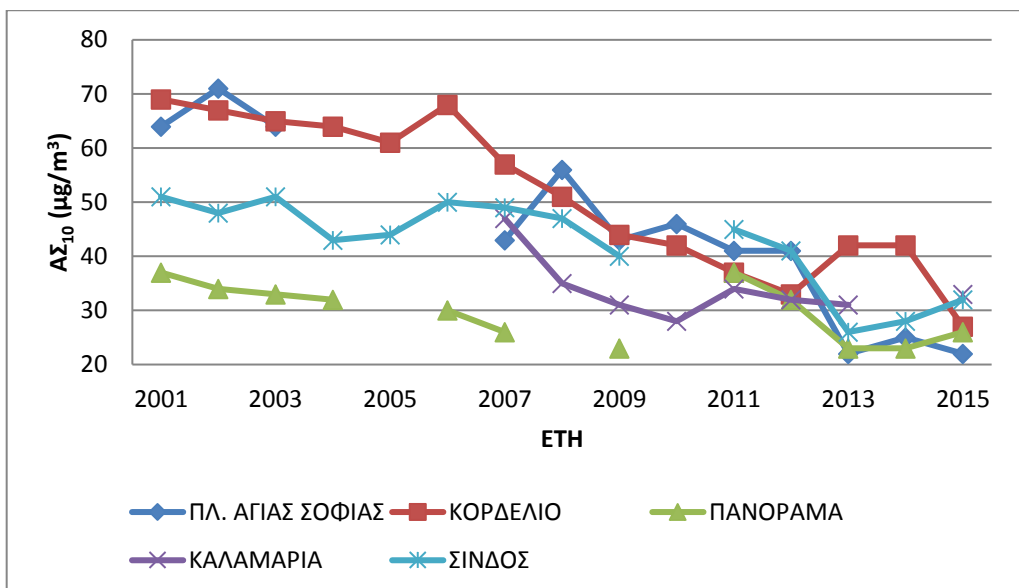
Από ενδεικτικές μετρήσεις που πραγματοποιήθηκαν με 24-ωρες δειγματοληψίες αιωρούμενων σωματιδίων με δειγματολήπτες μικρού όγκου, χημική ανάλυση στο κλάσμα των ΑΣ₁₀ και προσδιορισμό της συγκέντρωσης BaP στους σταθμούς ΕΔΠΑΡ ΑΓ. ΣΟΦΙΑ, ΣΙΝΔΟ, ΠΑΤΡΑ-1, ΛΑΡΙΣΑ, ΒΟΛΟ και ΙΩΑΝΝΙΝΑ για το 2015 παρατηρήθηκαν οι παρακάτω υπερβάσεις της τιμής-στόχου (1ng/m³):

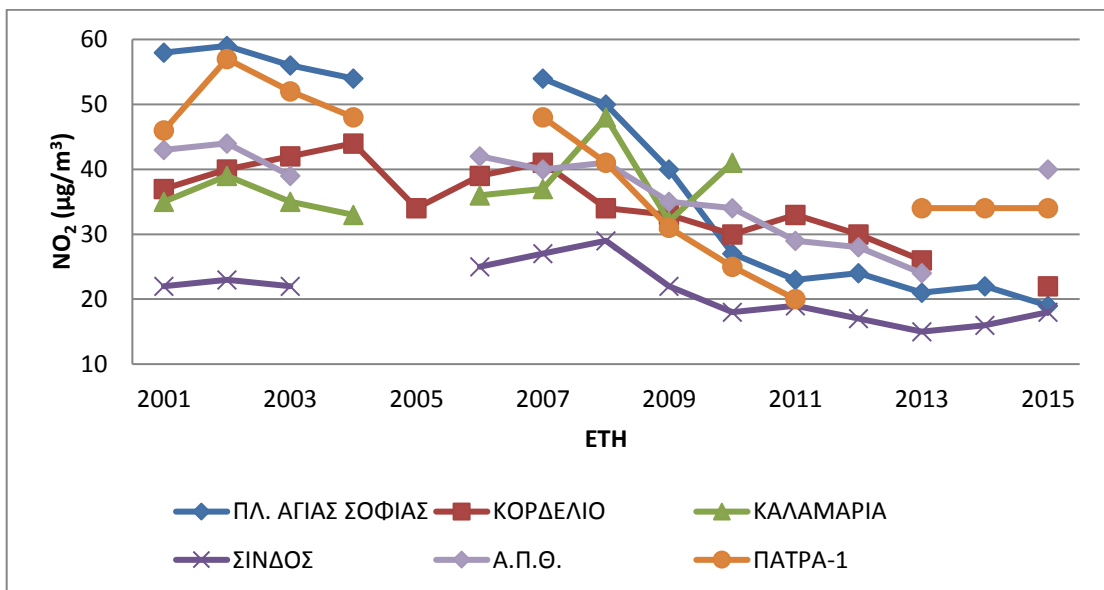
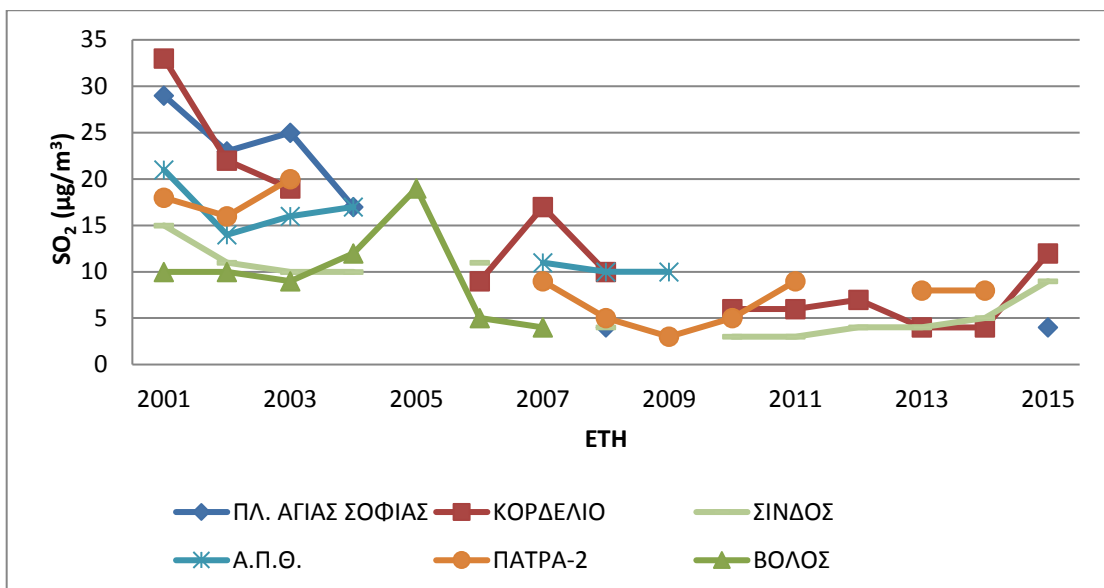
Πίνακας 9

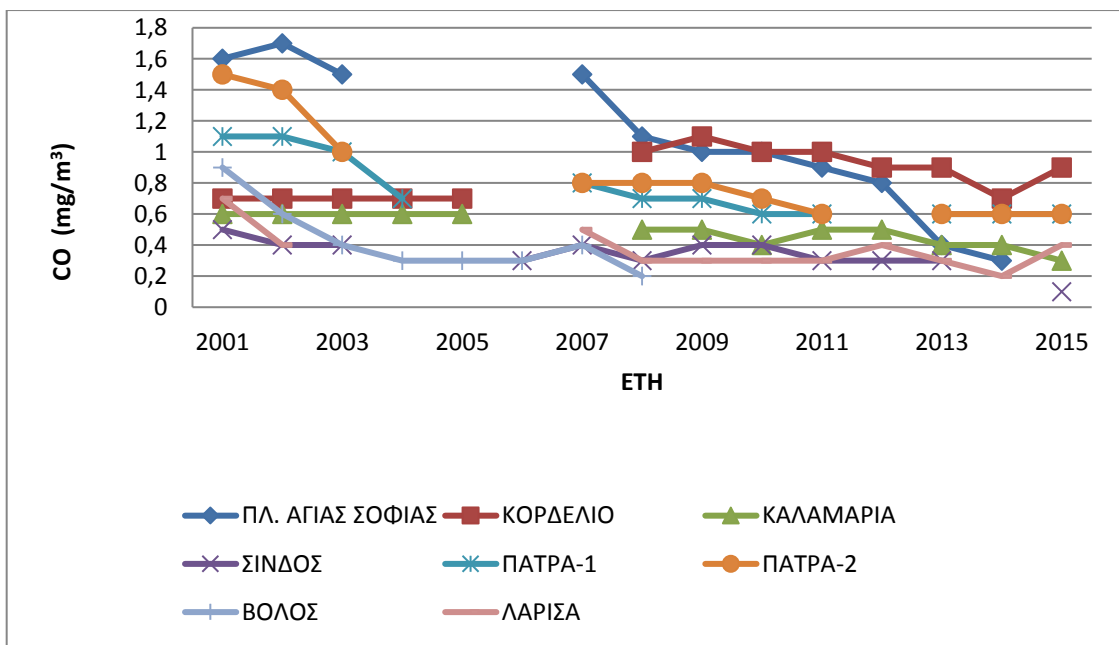
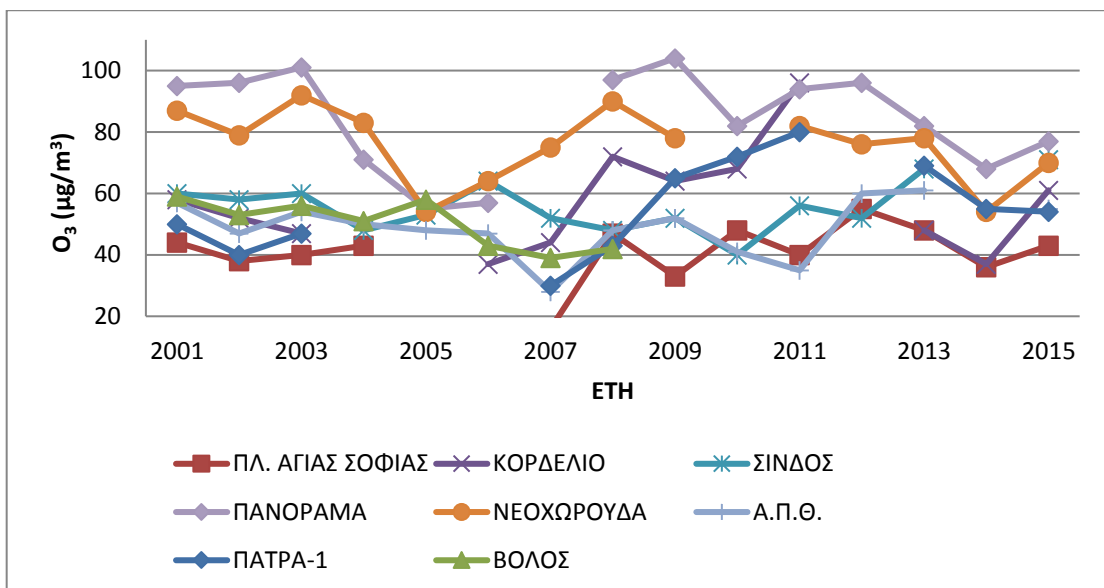
	ΠΑΤ-1	ΛΑΡ	ΒΟΛ	ΙΩΑΝ
2015	1,1	1,9	1,2	1,3

Διαγράμματα χρονικών διακυμάνσεων των τιμών συγκεντρώσεων των μετρούμενων ρύπων

Παρακάτω παρουσιάζονται σχήματα με τις διαχρονικές μεταβολές των μέσων ετήσιων τιμών των συγκεντρώσεων των μετρούμενων ρύπων, για αντιπροσωπευτικούς σταθμούς. Η διαχρονική εξέλιξη των τιμών δείχνει ότι γενικά υπάρχει μια πτωτική τάση ή τάση σταθεροποίησης σε κάποιους σταθμούς ανάλογα με το ρύπο.







ΠΑΡΑΡΤΗΜΑ ΙΧ

ΧΑΡΤΟΓΡΑΦΙΚΗ ΑΠΕΙΚΟΝΙΣΗ ΠΟΙΟΤΗΤΑΣ ΤΟΥ ΑΕΡΑ

Επιπλέον της εκτίμησης της ποιότητας του αέρα που βασίζεται στο Εθνικό Δίκτυο Παρακολούθησης Ατμοσφαιρικής Ρύπανσης πραγματοποιήθηκε εκτίμηση της ποιότητας του αέρα για όλη τη χώρα στο πλαίσιο του έργου «Επικαιροποίηση της χαρτογραφικής απεικόνισης της ατμοσφαιρικής ρύπανσης μέσω της καταγραφής ατμοσφαιρικών εκπομπών των πηγών και ανάπτυξης κατάλληλου υπολογιστικού εργαλείου» ενταγμένου στο Επιχειρησιακό Πρόγραμμα Περιβάλλον & Αειφόρος Ανάπτυξη του ΕΣΠΑ. Αυτή στηρίχτηκε σε ενδεικτικές μετρήσεις σε θέσεις πέραν των σταθερών μετρήσεων του ΕΔΠΑΡ αλλά και για επιπλέον ρύπους από τους μετρούμενους σε θέσεις του ΕΔΠΑΡ. Η εκτίμηση επεκτάθηκε και στις υπόλοιπες περιοχές της χώρας με χρήση τεχνικών προσομοίωσης.

Ενδεικτικές μετρήσεις

Στον παρακάτω Πίνακα δίνονται τα μεταδεδομένα των θέσεων δειγματοληψίας όπου πραγματοποιήθηκαν 24-ωρες δειγματοληψίες αιωρούμενων σωματιδίων ΑΣ₁₀ και ΑΣ_{2,5} με δειγματολήπτες μικρού όγκου καθώς και παθητικές δειγματοληψίες, διάρκειας 7 ημερών ανά δειγματολήπτη, για το C₆H₆. Οι δειγματοληψίες καλύπτουν το 14% των ημερών του έτους και πραγματοποιήθηκαν τη χρονική περίοδο Σεπτ. 2014-Οκτ. 2015. Οι υπόλοιποι ρύποι προέκυψαν από χημική ανάλυση στο κλάσμα των ΑΣ₁₀. Ο προσδιορισμός τους πραγματοποιήθηκε από διαπιστευμένο εργαστήριο σύμφωνα με τα τεχνικά πρότυπα EN 14662-2, EN 15549, EN 14902, EN 12341, EN 14907.

Πίνακας: Θέσεις δειγματοληψίας και μετρούμενοι ρύποι

ΠΟΛΗ / ΣΗΜΕΙΟ ΜΕΤΡΗΣΗΣ	X	Y	AMSL (m)	Υψος δειγματολή πτη από το έδαφος (m)	C ₆ H ₆	ΑΣ ₁₀	ΑΣ _{2,5}	Pb	As	Ni	Cd	B[a]P
Αριστοτέλους	475933.62	4204234.12	95	ΕΔΠΑΡ	✓	✓	✓	✓	✓	✓	✓	✓
Λ.Κηφισίας (Δακτυλίδι)	482747.40	4210407.61	198	*	✓							
Π. Φάληρο	472679.81	4197374.42	0	*	✓							
Ν. Σμύρνη	474630.70	4198020.95	50	ΕΔΠΑΡ	✓	✓		✓	✓	✓	✓	✓
Πειραιάς I	468679.30	4199445.93	4	ΕΔΠΑΡ	✓							
Πειριστέρι	472497.21	4207882.04	80	ΕΔΠΑΡ	✓							
Κηφισός	473247.64	4205323.91	43	*	✓							

Ασπρόπυργος	463653.00	4211698.00	13	*		✓							
Ελευσίνα	459356.06	4211325.45	20	ΕΔΠΑΡ		✓							
Κορωπί	489215.40	4194584.06	140	ΕΔΠΑΡ			✓						
Αλίαρτος	422133.58	4247538.09	110	ΕΔΠΑΡ				✓					
Αγρίνιο	273484.32	4277158.41	50	10		✓	✓		✓	✓	✓	✓	✓
Λαμία	363963.89	4304709.38	14	11		✓	✓		✓	✓	✓	✓	✓
Θήβα	440114.62	4240884.28	182	10			✓		✓	✓	✓	✓	✓
Πάτρα I	301508.19	4235695.69	16	ΕΔΠΑΡ		✓	✓		✓	✓	✓	✓	✓
Πάτρα II	301462.87	4233846.07	19	ΕΔΠΑΡ		✓							
Καλαμάτα	330861.21	4099969.94	6	5		✓	✓		✓	✓	✓	✓	✓
Μεγαλόπολη	334628.13	4140594.26	424	8			✓		✓	✓	✓	✓	✓
Ηράκλειο	602851.13	3910309.94	46	8		✓	✓		✓	✓	✓	✓	✓
Χανιά	502613.99	3929270.86	32	*		✓							
Κέρκυρα	149299.76	4392898.01	3	16		✓	✓		✓	✓	✓	✓	✓
Ερμούπολη	582483.82	4143424.29	52	8		✓	✓		✓	✓	✓	✓	✓
Μυτιλήνη	720417.29	4328832.71	278	*		✓							
Ιωάννινα	229456.24	4390038.04	485	ΕΔΠΑΡ		✓	✓		✓	✓	✓	✓	✓
Λάρισα	362543.77	4387998.58	81	8		✓	✓		✓	✓	✓	✓	✓
Βόλος	408800.84	4357682.40	31	ΕΔΠΑΡ		✓	✓		✓	✓	✓	✓	✓
Αλεξανδρούπολη	657752.40	4522922.58	19	11		✓	✓		✓	✓	✓	✓	✓
Καβάλα	533525.96	4531147.92	0	4		✓	✓		✓	✓	✓	✓	✓
Φλώρινα	280405.11	4515821.95	897	2		✓	✓		✓	✓	✓	✓	✓
Πτολεμαΐδα	303541.26	4485546.95	594	2			✓		✓	✓	✓	✓	✓

Αγία Σοφία	409646.1 7	4498315.89	27	ΕΔΠΑΡ	✓	✓	✓	✓	✓	✓	✓	✓
Κορδελιό	405464.7 1	4502068.59	30	ΕΔΠΑΡ	✓							
Καλαμαριά	410967.3 9	4490898.58	60	ΕΔΠΑΡ	✓							
Θεσ/νίκη-Πλ. Δημοκρατίας	408236.6 9	4498333.12	4	*	✓							
Σίνδος	398395.5 4	4500311.27	14	ΕΔΠΑΡ		✓		✓	✓	✓	✓	✓
Θεσ/νίκη- Περιφερειακή	412443.4 0	4496432.15	32	*	✓							

* Οι παθητικοί δειγματολήπτες C₆H₆ τοποθετήθηκαν σε ύψος 2-4m.

Στους παρακάτω πίνακες παρουσιάζονται τα αποτελέσματα των μετρήσεων.
Για τα ΑΣ₁₀ δίνεται και ο αριθμός των ημερήσιων υπερβάσεων.

Η κόκκινη γραφή υποδηλώνει ένδειξη υπέρβασης οριακής τιμής ή τιμής στόχου με βάση τις ενδεικτικές μετρήσεις. Σημειώνεται ότι τα παρακάτω αποτελέσματα εμπεριέχουν συγκεντρώσεις από φυσικές πηγές (μεταφορά σκόνης, θαλάσσιο αλάτι) των οποίων η συνεισφορά είναι δυνατό να αφαιρεθεί.

Πίνακας 1: Αιωρούμενα σωματίδια ΑΣ₁₀

ΠΟΛΗ / ΣΗΜΕΙΟ ΜΕΤΡΗΣΗΣ	Αριθμός ημερήσιων υπερβάσεων	Μέση ετήσια τιμή, μg m ⁻³
Αριστοτέλους	6	43,0
Ν. Σμύρνη	2	24,1
Κορωπί	8	38,0
Αγρίνιο	9	35,8
Λαμία	7	36,2
Θήβα	1	23,5
Πάτρα	5	31,9
Καλαμάτα	2	21,5
Μεγαλόπολη	2	24,6
Ηράκλειο	2	26,6
Κέρκυρα	3	25,7
Ερμούπολη	0	19,3
Ιωάννινα	13	46,4
Λάρισα	12	36,9

ΠΟΛΗ / ΣΗΜΕΙΟ ΜΕΤΡΗΣΗΣ	Αριθμός ημερήσιων υπερβάσεων	Μέση ετήσια τιμή, $\mu\text{g m}^{-3}$
Βόλος	8	37,1
Αλεξανδρούπολη	4	29,8
Καβάλα	2	24,5
Φλώρινα	6	30,2
Πτολεμαϊδα	6	33,7
Αγία Σοφία	7	34,7
Σίνδος	5	31,8

Πίνακας 2: Αιωρούμενα σωματίδια ΑΣ_{2,5}

ΠΟΛΗ / ΣΗΜΕΙΟ ΜΕΤΡΗΣΗΣ	Μέση ετήσια τιμή, $\mu\text{g m}^{-3}$
Αριστοτέλους	23,0
Αγ. Σοφία	22,8
Πάτρα	24,5
Βόλος	28,7
Αλίαρτος	24,5

Πίνακας 3: Βαρέα μέταλλα

ΠΟΛΗ / ΣΗΜΕΙΟ ΜΕΤΡΗΣΗΣ	Μέση ετήσια τιμή, ng m^{-3}			
	Ni	As	Cd	Pb
Αριστοτέλους	4,1	0,5	0,1	4,7
Ν. Σμύρνη	2,9	0,2	0,2	3,7
Αγρίνιο	2,3	0,3	0,1	3,5
Λαμία	4,5	0,6	0,1	4,4
Θήβα	7,0	0,3	0,2	8,9
Πάτρα	2,5	0,2	0,1	3,8
Καλαμάτα	2,1	0,1	0,1	2,4
Μεγαλόπολη	1,8	0,1	0,1	2,2
Ηράκλειο	5,2	0,3	0,1	3,1
Κέρκυρα	2,5	0,2	0,1	4,6
Ερμούπολη	2,9	0,4	0,1	4,0

ΠΟΛΗ / ΣΗΜΕΙΟ ΜΕΤΡΗΣΗΣ	Μέση ετήσια τιμή, ng m ⁻³			
Ιωάννινα	1,5	0,2	0,2	2,8
Λάρισα	2,1	0,5	0,2	4,9
Βόλος	2,7	0,7	0,3	10,4
Αλεξανδρούπολη	1,4	0,7	0,2	5,0
Καβάλα	1,3	0,5	0,2	3,7
Φλώρινα	2,4	0,4	0,1	2,4
Πτολεμαΐδα	3,7	0,5	0,1	1,8
Αγία Σοφία	5,3	0,5	0,2	6,5
Σίνδος	3,8	0,9	0,2	7,3

Πίνακας 4: Βενζο-α-πυρένιο

ΠΟΛΗ / ΣΗΜΕΙΟ ΜΕΤΡΗΣΗΣ	Μέση ετήσια τιμή, ng m ⁻³
Αριστοτέλους	0,5
Ν. Σμύρνη	0,4
Αγρίνιο	0,9
Λαμία	1,0
Θήβα	0,6
Πάτρα	1,0
Καλαμάτα	0,3
Μεγαλόπολη	0,5
Ηράκλειο	0,3
Κέρκυρα	1,2
Ερμούπολη	0,2
Ιωάννινα	2,8
Λάρισα	1,8
Βόλος	2,2
Αλεξανδρούπολη	0,6
Καβάλα	0,5
Φλώρινα	1,2
Πτολεμαΐδα	0,4
Αγία Σοφία	0,9
Σίνδος	0,7

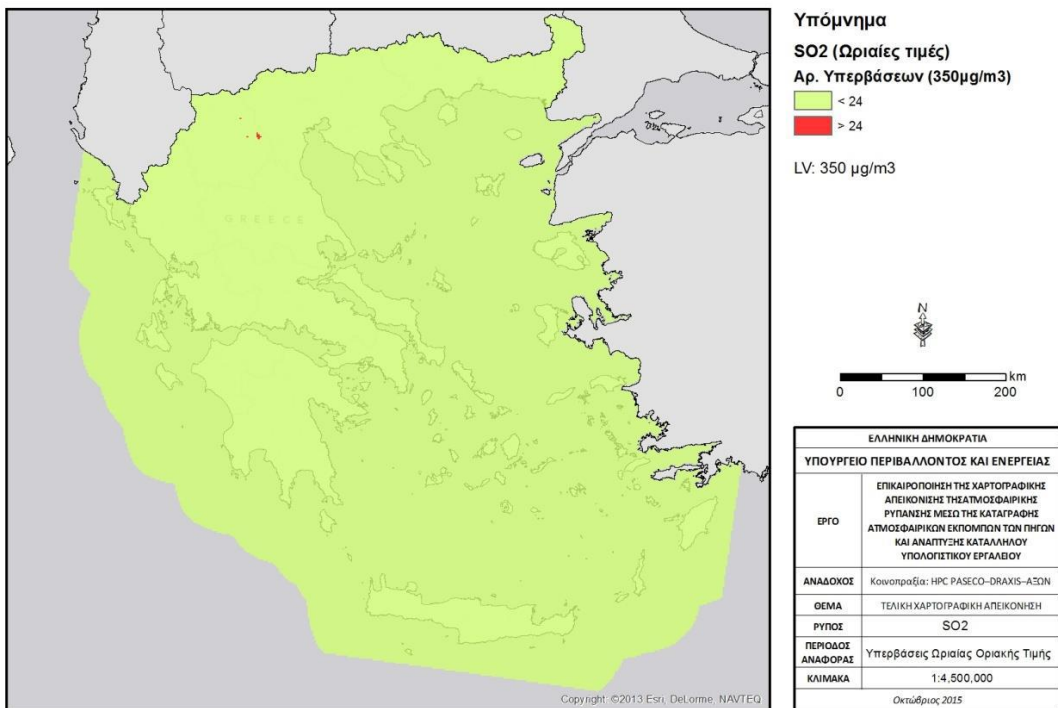
Πίνακας 5: Βενζόλιο

ΠΟΛΗ / ΣΗΜΕΙΟ ΜΕΤΡΗΣΗΣ	Μέση ετήσια τιμή, μg m ⁻³
Αριστοτέλους	2,9
Ν. Σμύρνη	2,2
Ελευσίνα	1,6
Π. Φάληρο	3,5
Λ. Κηφισίας	3,4
Κηφισός	3,2
Πειραιάς	3,4
Περιστέρι	2,5
Ασπρόπυργος	2,0
Καλαμαριά	1,3
Θεσ/νίκη-Πλ. Δημοκρατίας	2,2
Κορδελιό	2,0
Θεσ/νίκη-Περιφερειακή	1,3
Αγ. Σοφία	2,2
Αγρίνιο	3,1
Λαμία	2,1
Θήβα	1,5
Πάτρα – I	2,9
Πάτρα – II	3,4
Καλαμάτα	1,3
Μεγαλόπολη	1,4
Ηράκλειο	2,0
Κέρκυρα	2,7
Ερμούπολη	1,0
Ιωάννινα	2,8
Λάρισα	3,2
Βόλος	3,0
Αλεξανδρούπολη	2,4
Καβάλα	1,1
Φλώρινα	2,9
Πτολεμαΐδα	1,4
Χανιά	1,9
Μυτιλήνη	2,8

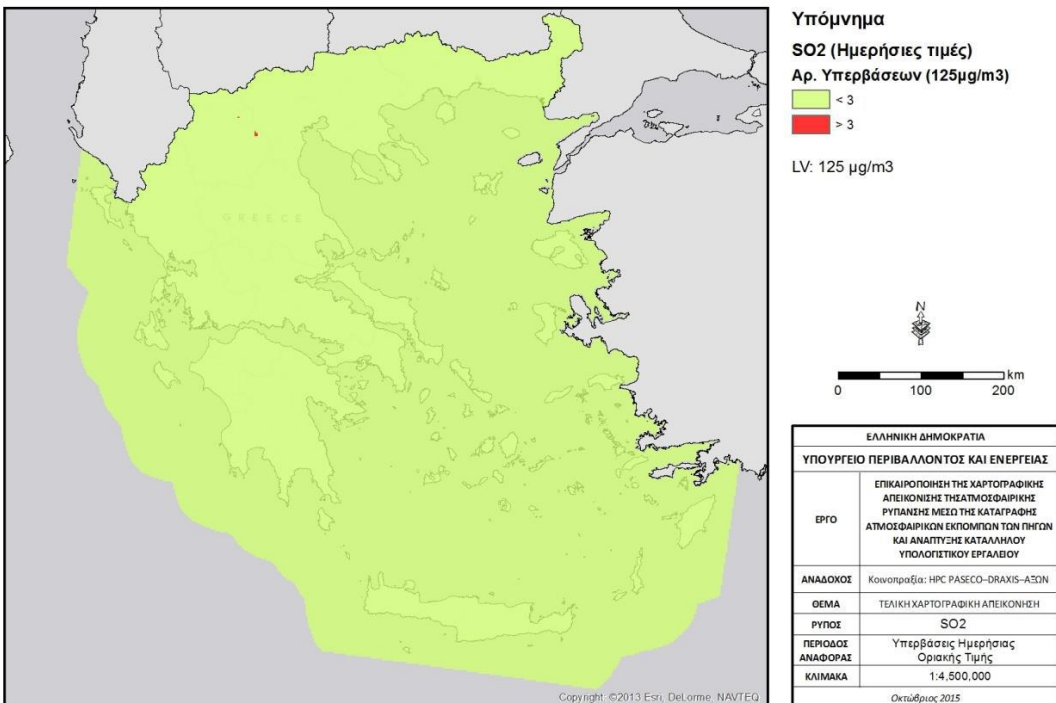
Αποτελέσματα προσομοίωσης

Παρακάτω, δίνονται χάρτες της χώρας που απεικονίζουν χρωματικά την ποιότητα του αέρα σε σχέση με τις θεσμοθετημένες από τη σχετική νομοθεσία οριακές τιμές (LV) και ανώτερα και κατώτερα όρια εκτίμησης (UAT, LAT). Όπου το LV για όζον, μέταλλα και βενζο(α)πυρένιο αντιπροσωπεύει την τιμή στόχο. Οι χάρτες παρουσιάζουν συγκεντρώσεις που είναι αποτελέσματα φωτοχημικού μοντέλου στο πλαίσιο του προαναφερθέντος έργου.

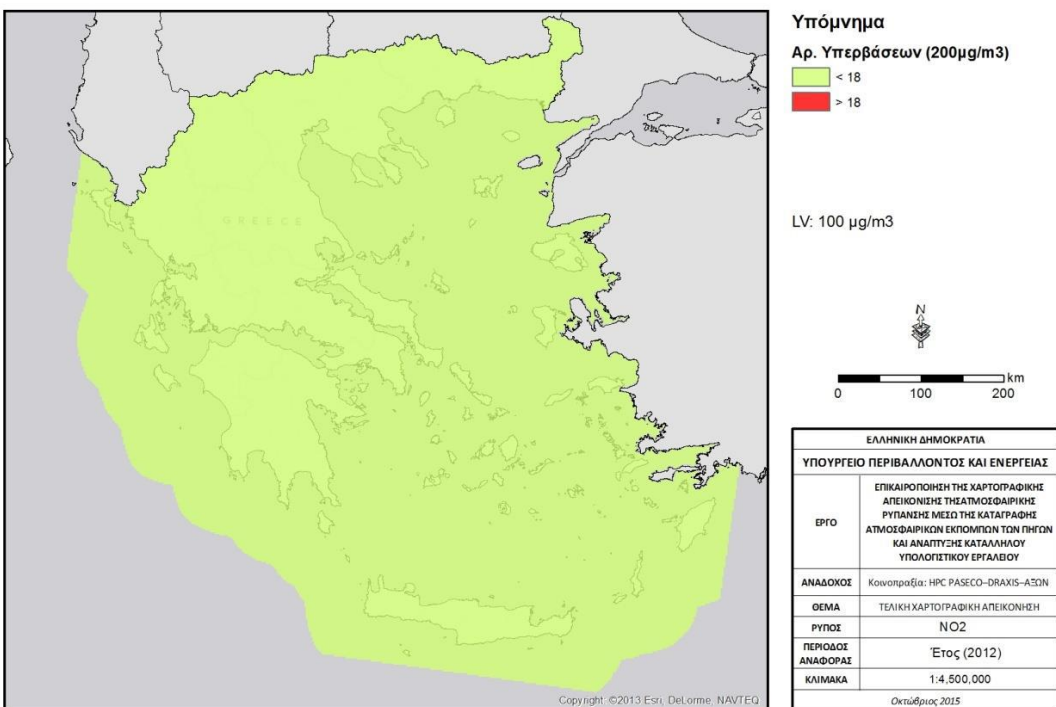
SO2: Ανθρώπινη υγεία - Υπερβάσεις Οριακής Τιμής



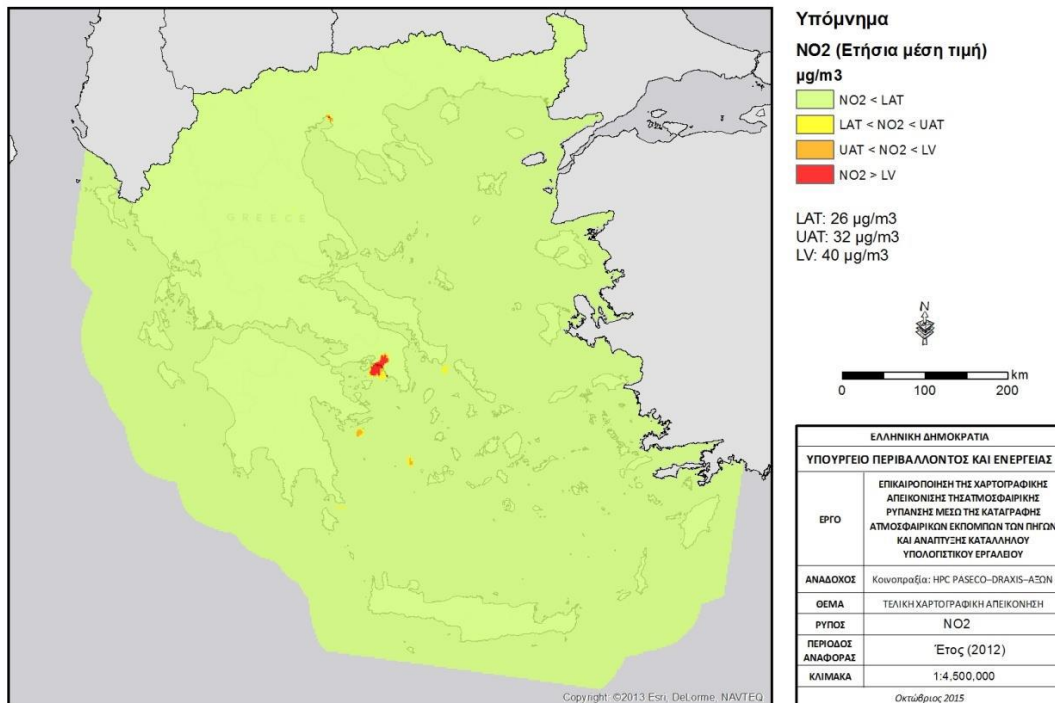
SO₂: Ανθρώπινη υγεία - Υπερβάσεις Οριακής Τιμής LV



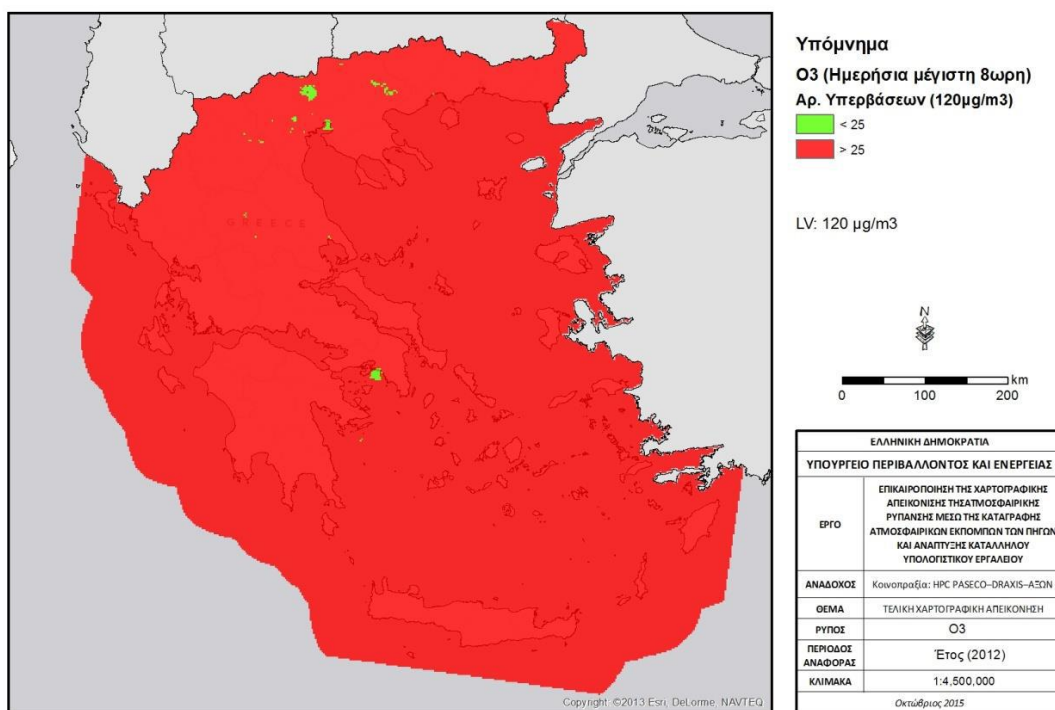
NO₂: Ανθρώπινη υγεία - Ωριαίες Υπερβάσεις LV



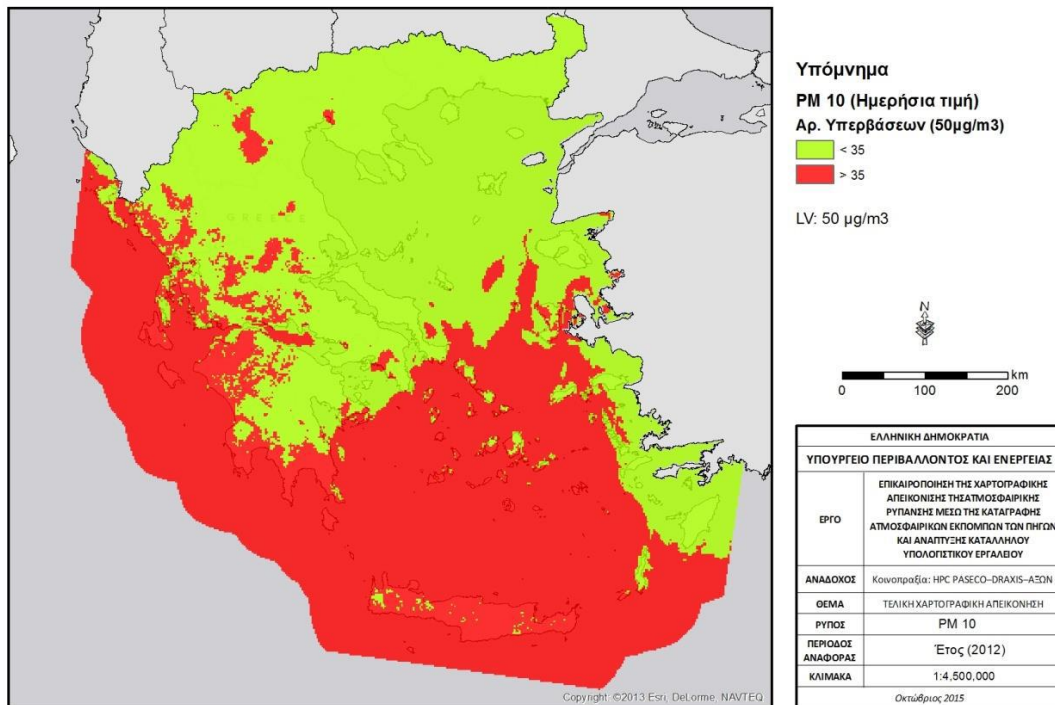
ΝΟ2: Μέση Ετήσια Τιμή



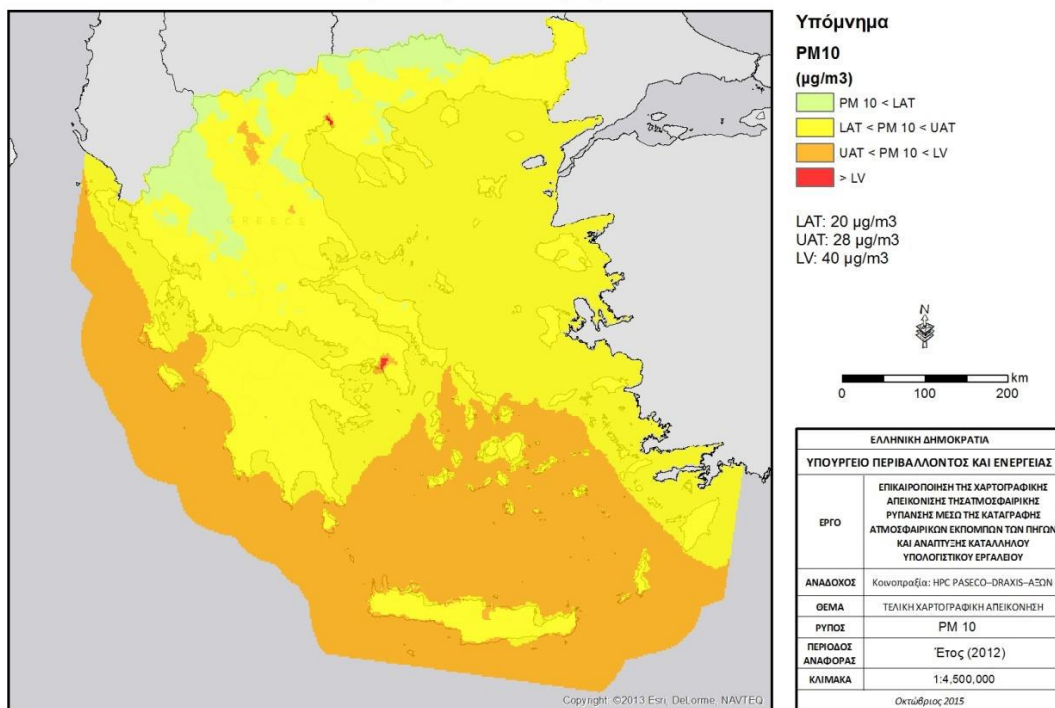
Ο3: Μέγιστη ημερήσια 8ωρη τιμή-Υπερβάσεις Οριακής Τιμής



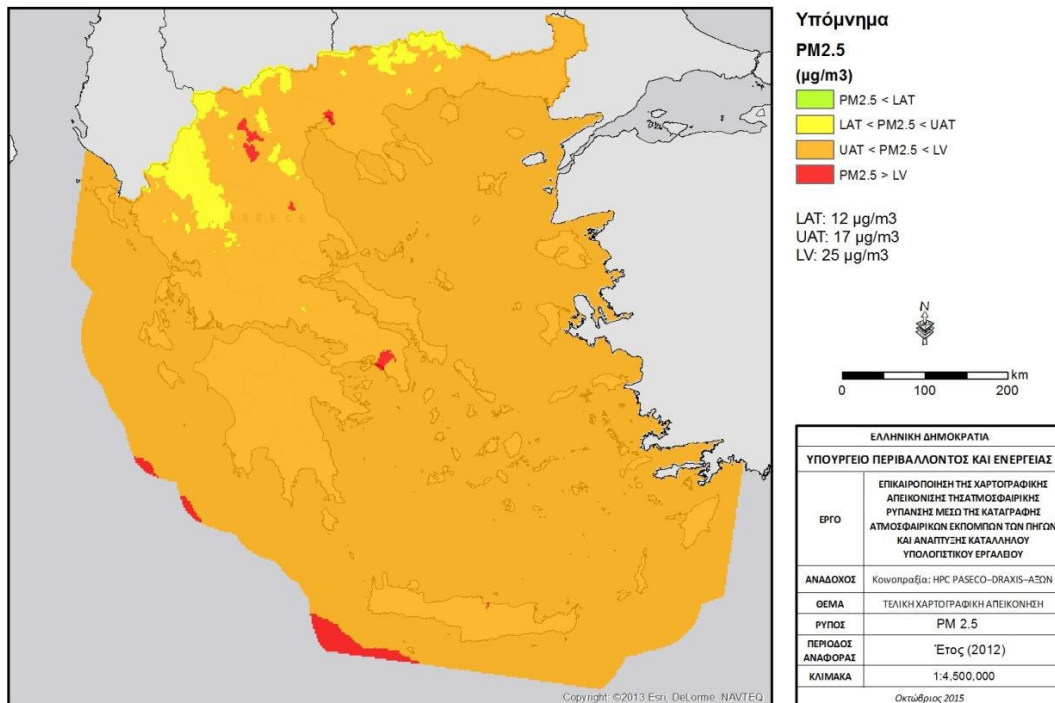
PM 10: Ημερήσιες τιμές - Υπερβάσεις Οριακής Τιμής LV



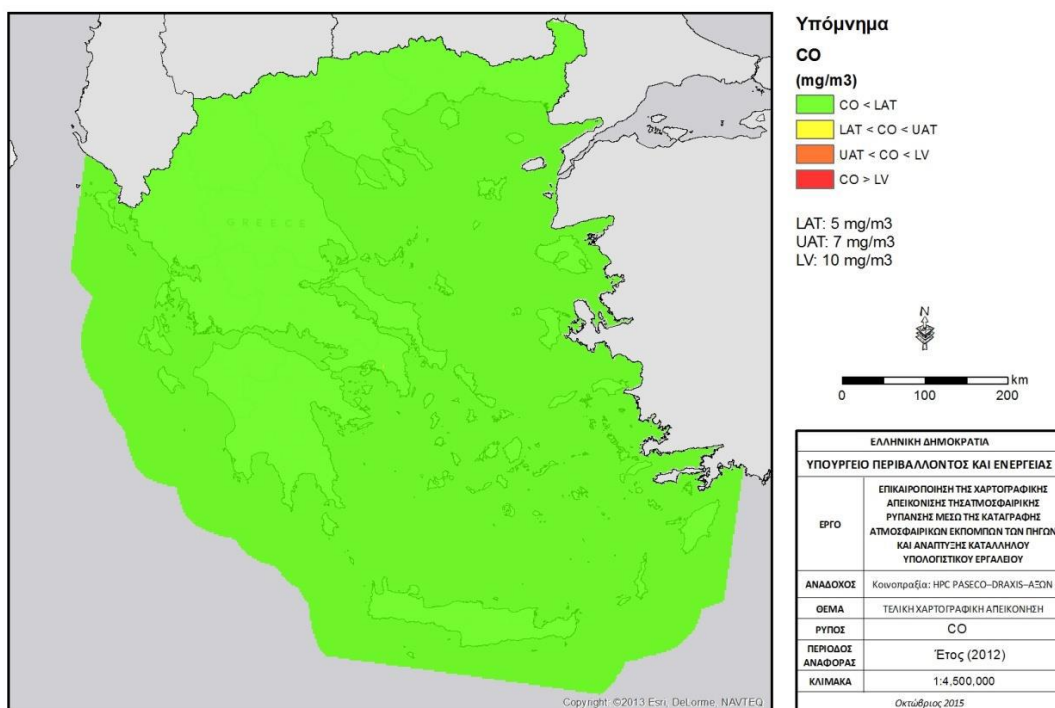
PM 10: Μέση Ετήσια Τιμή



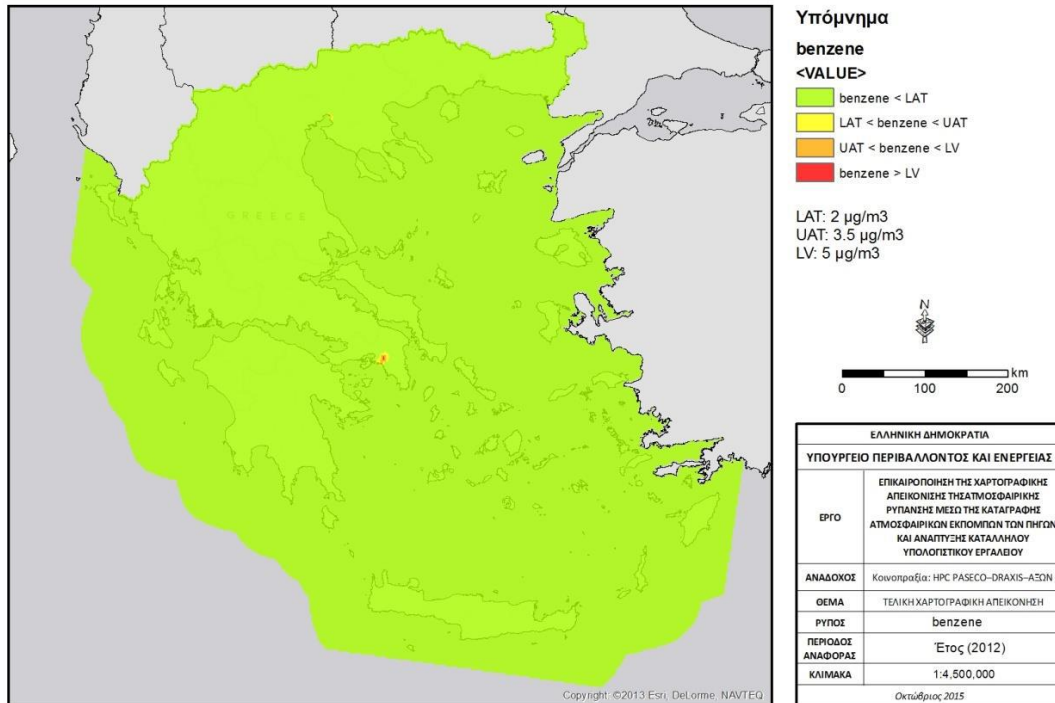
PM 2.5: Μέση Ετήσια Τιμή



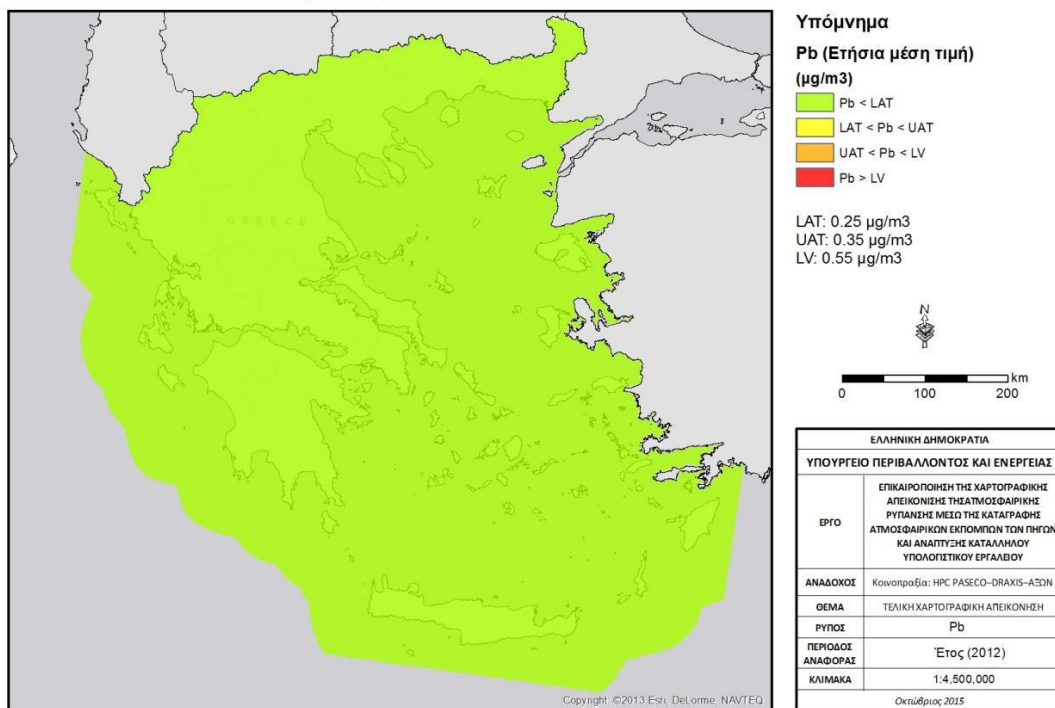
CO: Μέγιστη ετήσια τιμή των μεγίστων ημερησίων 8ωρων



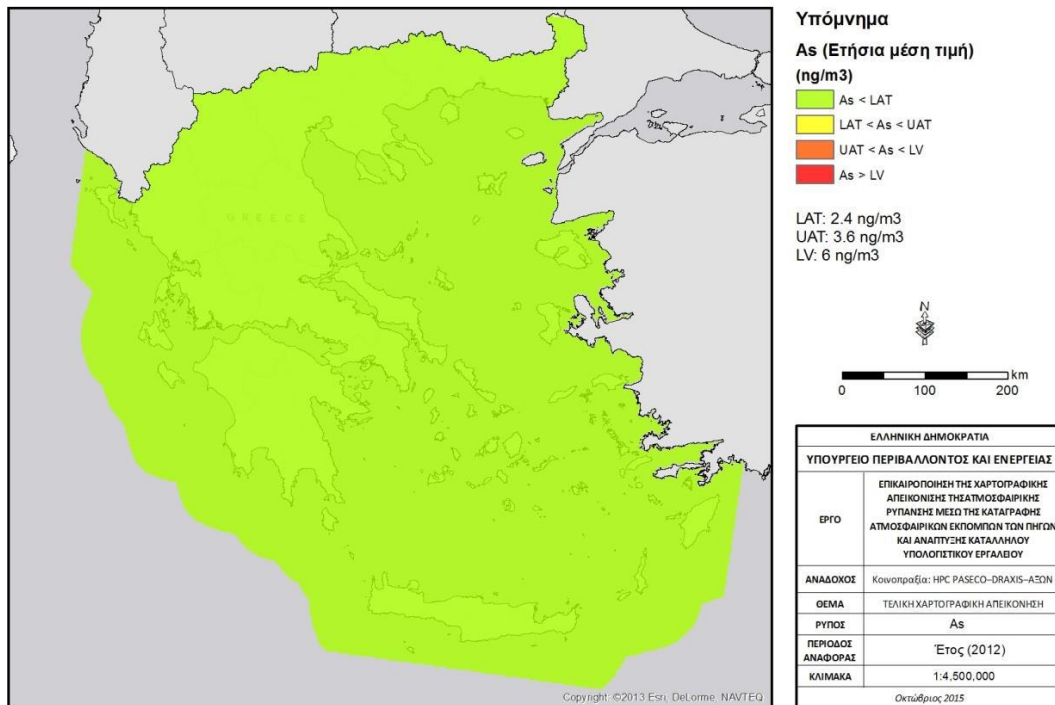
Βενζόλιο: Μέση Ετήσια Τιμή



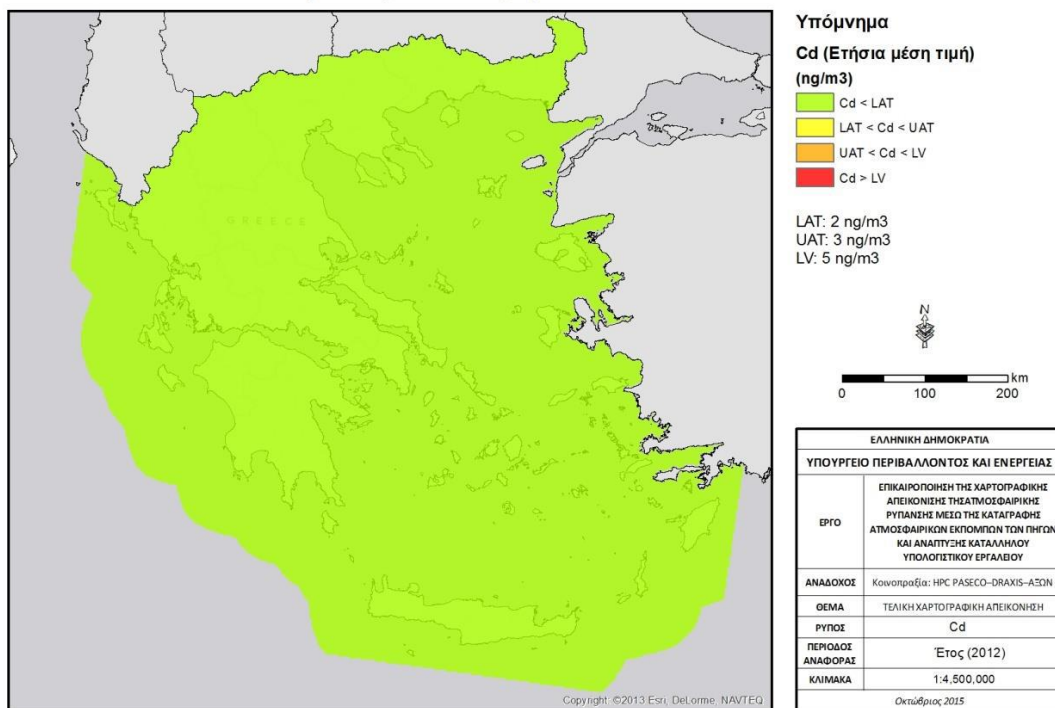
Pb: Μέση Ετήσια Τιμή



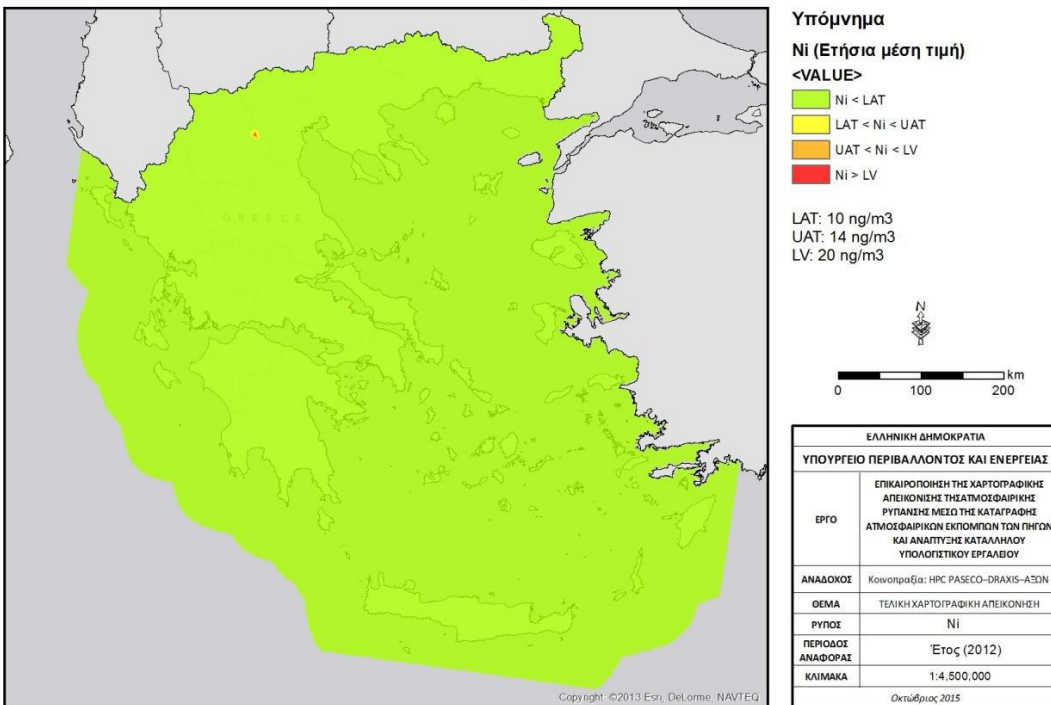
As: Μέση Ετήσια Τιμή



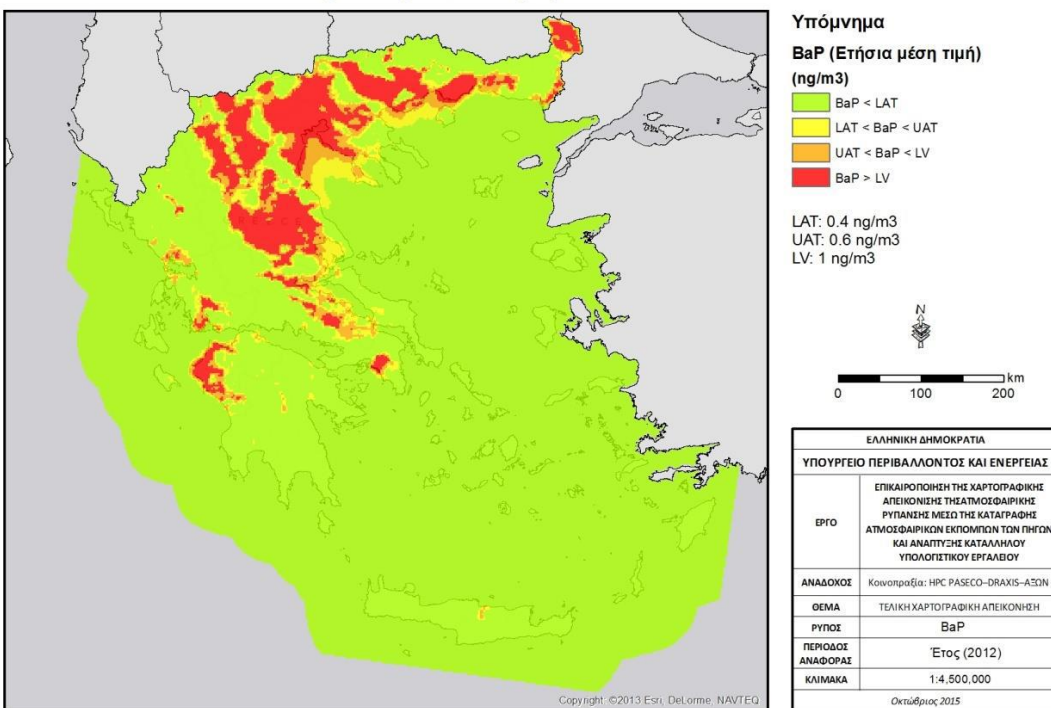
Cd: Μέση Ετήσια Τιμή



Ni: Μέση Ετήσια Τιμή



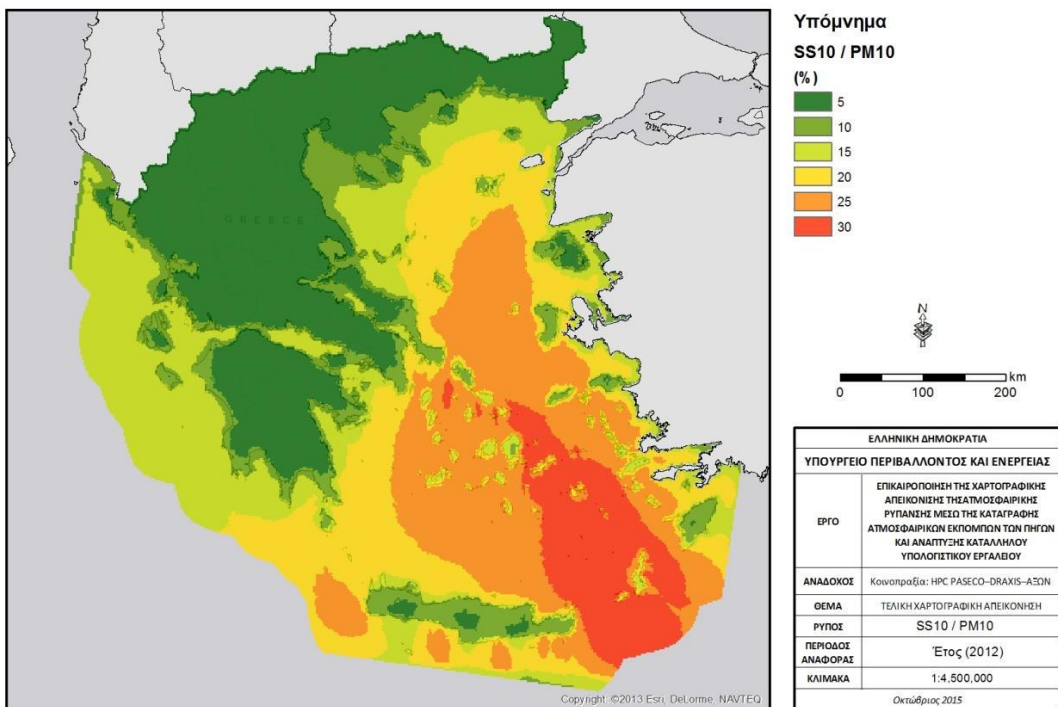
BaP: Μέση Ετήσια Τιμή



Επιπλέον, στον παρακάτω χάρτη παρουσιάζεται το ποσοστό του θαλάσσιου άλατος στη συγκέντρωση των αιωρούμενων σωματιδίων ΑΣ₁₀. Η παρουσία

του θαλάσσιου άλατος στα ΑΣ₁₀ οφείλεται στην έντονη εξάτμιση που ευνοείται από τη θερμοκρασία και τον άνεμο.

Ποσοστό Σωματιδίων θαλάσσιου άλατος στα αιωρούμενα σωματίδια



LIST OF CAPTIONS

1. TABLES

- 1.1 General characteristics of monitoring sites, operated by the Ministry of the Environment & Energy
- 1.2 Measured air pollutants and measurement methods.
- 4.1 Alert thresholds for initiation of short-term response measures
- 4.2. PM₁₀ concentration levels for short-term response measures
- 5.1 Comparison of annual mean PM₁₀ ($\mu\text{g}/\text{m}^3$) values with the respective limit value for each year
- 5.2 Comparison of annual mean NO₂ ($\mu\text{g}/\text{m}^3$) values with the respective limit value for each year
- 5.3 Dates and exceedance duration of ozone alert threshold in 2015
- 5.4 Number of days of exceedances O₃ target value for the protection of human health during 2013-2015

2. ANNEXES

- ANNEX I. Main air pollutants
- ANNEX II. Temporal variation of mean annual values of air pollutants at all monitoring sites
- ANNEX III. Variation of mean monthly values of pollutants at all stations for 2014
- ANNEX IV. Air quality limit and target values
- ANNEX V. Air pollution statistics for the year 2015 at monitoring sites
- ANNEX VI. Results of measurements at Enofyta site
- ANNEX VII. Results of measurements at Aliartos site (site used for the EMEP project)
- ANNEX VIII. Air pollution monitoring stations operated by regional authorities
- ANNEX IX Mapping air quality in the Greek territory

3. FIGURES

- 1.1 Map of the greater Athens area showing the locations of air-pollution monitoring sites.
- 2.1 Temporal variation of mean annual CO values in mg/m³
- 2.2 Temporal variation of mean annual SO₂ values in $\mu\text{g}/\text{m}^3$
- 2.3 Temporal variation of mean annual C₆H₆ values in $\mu\text{g}/\text{m}^3$
- 2.4 Temporal variation of mean annual NO values in $\mu\text{g}/\text{m}^3$
- 2.5 Temporal variation of mean annual NO₂ values in $\mu\text{g}/\text{m}^3$
- 2.6 Temporal variation of mean annual O₃ values in $\mu\text{g}/\text{m}^3$
- 2.7 Temporal variation of mean annual PM₁₀ values in $\mu\text{g}/\text{m}^3$
- 2.8 Temporal variation of mean annual PM_{2,5} values in $\mu\text{g}/\text{m}^3$
- 2.9 Monthly variation of CO values at Patission site during 2015
- 2.10 Monthly variation of SO₂ values at Patission site during 2015
- 2.11 Monthly variation of O₃ values at Ag. Paraskevi site during 2015

- 2.12 Monthly variation of NO₂ values at Patission site during 2015
 - 2.13 Monthly variation of NO values at Patission site during 2015
 - 2.14 Monthly variation of PM₁₀ values at Lykovrisi site during 2015
 - 2.15 Monthly variation of PM_{2,5} values at Lykovrisi site during 2015
 - 2.16 Daily variation of CO, NO, NO₂, SO₂, C₆H₆ at Patission site, PM₁₀ PM_{2,5} at Lykovrisi site, O₃ at Ag. Paraskevi during 2015
 - 2.17 Hourly variation of CO values at Patission site during 2015
 - 2.18 Hourly variation of SO₂ values at Patission site during 2015
 - 2.19 Hourly variation of NO values at Patission site during 2015
 - 2.20 Hourly variation of C₆H₆ values at Patission site during 2015
 - 2.21 Hourly variation of NO₂ values at Patission site during 2015
 - 2.22 Hourly variation of O₃ values at Ag. Paraskevi site during 2015
- 3.1 Frequencies (percentage) of wind directions at Patission site for 2015
 - 3.2 Rose of mean wind speed (m/sec) per direction at Patission site for 2015
 - 3.3 Pollution rose of NO₂ ($\mu\text{g}/\text{m}^3$) at Patission site for 2015
 - 3.4 Pollution rose of O₃ ($\mu\text{g}/\text{m}^3$) at Marousi site for 2015
 - 3.5 Pollution rose of CO (mg/m^3) at Patission site for 2015
 - 3.6 Pollution rose of NO ($\mu\text{g}/\text{m}^3$) at Patission site for 2015
 - 3.7 Pollution rose of SO₂ ($\mu\text{g}/\text{m}^3$) at Patission site for 2015
 - 3.8 Pollution rose of PM₁₀ ($\mu\text{g}/\text{m}^3$) at Marousi site for 2015
 - 3.9 Pollution rose of PM_{2,5} ($\mu\text{g}/\text{m}^3$) at Ag. Paraskevi site for 2015
 - 3.10 Pollution rose of benzene ($\mu\text{g}/\text{m}^3$) at Patission site for 2015
- 5.1 Number of days of daily values of PM₁₀ exceeding the value of 50 $\mu\text{g}/\text{m}^3$, for each monitoring site during 2015
 - 5.2 Number of hourly values of O₃, exceeding the value of 180 $\mu\text{g}/\text{m}^3$, for each monitoring site during 2015

SUMMARY

The greater Athens area, like most metropolitan areas in the world, has air pollution problems. These problems are the result of high population density and the accumulation of major economic activities in the region, while the intense sunshine contributes to the high levels of photochemical air pollution especially during the summer months. The air pollution problems are often exacerbated by factors that favour the accumulation of air pollutants over the city, such as, topography (basin surrounded by mountains), narrow and deep street canyons and adverse meteorological conditions such as temperature inversions, low wind speed, high temperature, extensive periods of dryness e.t.c .

The main characteristics of the air pollution in Greece for 2015 can be summarised as follows:

- The temporal variation of the measured air pollutant concentrations in the greater Athens area, since 1984, shows a general decline of the concentrations of certain air pollutants. This decrease is mainly observed in the concentrations of the primary air pollutants, such as CO and SO₂.
- The main air pollution problem in Athens is tropospheric ozone, a product of the combination of intense sunshine with considerable emissions of ozone precursors.
- Particulate matter with aerodynamic diameter less than 10µm (PM₁₀) violate limit values for some monitoring stations.
- Benzene has declined so that it does not exceed the limit values.
- Concentration values of SO₂, NO₂, and CO are higher at the downtown monitoring sites, while for O₃, typically higher values are observed at the suburban sites. Topography and low mixing - layer height combined with southwestern local winds of low speed (sea breeze) in Athens often result in ozone accumulation in the northern and north-eastern suburbs, especially during the summertime afternoon hours .
- NO₂ exceedances of the annual limit value were observed mainly at kerb sites.
- SO₂ and CO concentrations during the winter period are higher than those during summer period. The maximum CO values coincide with traffic peaks.